Forschungsheft 356

Beilage zu "Forschung auf dem Gebiete des Ingenieurwesens" Ausgabe B Band 3 September/Oktober 1932

Gesetzmäßigkeiten der turbulenten Strömung in glatten Rohren

Aus dem Kaiser Wilhelm-Institut für Strömungsforschung, Göttingen

von

J. Nikuradse aus Tiflis (Georgien)

Mit 39 Abbildungen und 9 Zahlentafeln

THE JNIVERSO F OF ILLINOIS



5=25= N=89 Up12

Inhaltverzeichnis

	Seite	S	Seite
Einleitung 1. Experimenteller Teil 1. Versuchseinrichtung	. 3	 c) Bestimmung des Rohrhalbmessers d) Statische Druckmessungen e) Geschwindigkeitsmessungen 4. Durchführung der Versuche 	1.1
 2. Meßeinrichtung a) Geschwindigkeitsmeßapparat mit Drosselung und schwenkbarem Auslauf b) Meßbottich c) Mikromanometer d) Arca-Regler e) Schnellschlußbahn 	. 4	11. Auswertung der Versuche 1. Geschwindigkeitsverteilung 2. Potenzgesetz 3. Universale Geschwindigkeitsverteilung 4. Mischungsweg und Austauschgröße 5. Ähnlichkeitsbetrachtung	14 15 18 24
3. Versuche	. 7	 Widerstandsgesetz	
b) Temperaturmessungen		Zusammenfassung	

Einleitung

Die bisherigen experimentellen Kenntnisse über die turbulenten Strömungen, welche der Gegenstand zahlreicher Untersuchungen gewesen sind, waren noch nicht ausreichend, um eine einwandfreie Grundlage für die Turbulenztheorie zu liefern. Die älteren Untersuchungen, die in erster Linie auf die Gesetze des Strömungswiderstandes in Rohren gerichtet waren, konnten weder den Theoretiker noch den Praktiker befriedigen. Die Ergebnisse dieser Versuche blieben so lange wenig übersichtlich, als man sie nicht auf den physikalisch richtigen Parameter, auf die Reynoldssche Zahl (Re) bezog. In vielen Fällen wurde nicht berücksichtigt, daß sich die Geschwindigkeitsverteilung im Rohr nur nach einer langen Strecke, der "Anlauflänge", ausbildete. *H. Blusius* 1) ist es gelungen, aus Gesichtspunkten der Ähnlichkeit das Versuchsmaterial über die Strömung in glatten Rohren zu ordnen. Er erhielt eine empirische Formel, die in einem Bereiche der Reynoldsschen Zahlen bis etwa $Re = \frac{\bar{u} \cdot d}{r} = 100 \cdot 10^3$ $(\bar{u}=\text{mittlere}$ Geschwindigkeit, $d=\text{Rohrdurchmesser},\,v=\text{kinematische}$ Zähigkeit) die Gesetzmäßigkeit des Strömungswiderstandes ziemlich genau wiedergibt. Für die Aufstellung seiner Widerstandsformel benutzte Blasius die Versuche von Saph und Schoder²), welche mit Wasser gearbeitet und den Druckverlust in 15 gezogenen Messingrohren vom Durchmesser d = 2,77 mm bis 53,1 mm im Bereiche der Reynoldsschen Zahlen zwischen $Re = 1.4 \cdot 10^3$ und 104 · 103 gemessen haben. Blasius fand für die laminare Strömung die Formel $\lambda = 64/Re$ und für die turbulente Strömung $\lambda = 0.316/Re^{\frac{1}{4}}$ ($\lambda = \text{Widerstands}$ zahl). Die Versuche von Saph und Schoder zeigen, daß der Übergang der laminaren in die turbulente Strömung etwa bei der Reynoldsschen Zahl (kritische Reynoldssche Zahl) Re = 2000 stattfindet. Der Übergangsbereich liegt zwischen den Reynoldsschen Zahlen Re = 2000 und 3000. Neben den Versuchen mit Wasser von Saph und Schoder benutzte Blasius für die Aufstellung seines Ähnlichkeitsgesetzes die Versuche von Nußelt 3), der die Druckverluste für die Strömung von Druckluft in einem Rohr vom Durchmesser d = 2,201 cm untersucht hat. Wenn man aus diesen Versuchen die Widerstandszahl berechnet und in Abhängigkeit von der Reynoldsschen Zahl aufträgt, so erhält man dieselben Resultate, die aus den Versuchen von Saple und Schoder ermittelt wurden. Die Nußeltschen Werte, die im Bereiche der Reynoldsschen Zahlen 6·10³ bis etwa 150 · 103 liegen, stehen mit der Widerstandsformel von Blasius in bester Übereinstimmung. Damit ist die Ähnlichkeit für verschiedene Flüssigkeiten, Wasser und Luft bestätigt. Ferner benutzt Blasius die Versuche von Lang, welche in einem Kupferrohr von d = 6 mm bis zur Reynoldsschen Zahl Re = 326 · 103 gemacht sind. Die Versuche haben das Ziel verfolgt, einen Vergleich aufzustellen zwischen großen Geschwindigkeiten bei kleinem Rohrdurchmesser einerseits und kleinen Geschwindigkeiten bei großem Rohrdurchmesser andererseits. Dieser Vergleich hat zu einer sehr befriedigenden Bestätigung des Ähnlichkeitsgesetzes geführt.

Nach der Aufstellung des Ähnlichkeitsgesetzes hat sich Ombeck 4) die Aufgabe gesetzt, die Abhängigkeit der Widerstandszahl von der Reynoldsschen Zahl aus den Versuchen mit Luft in einem großen Bereich Reynoldsscher Zahlen zu ermitteln und damit die Formel von Blasius nachzuprüfen. Die Versuche sind in kreisförmigen Rohren, die aus verschiedenem Material hergestellt waren und verschiedene Durchmesser hatten (d=2,004 cm bis d=10 cm), durchgeführt und reichten etwa bis zur Reynoldsschen Zahl $Re=450\cdot 10^3$. Aus diesen Versuchen erhielt Ombeck eine ähnliche Formel wie die von Blasius mit geringfügigen Abweichungen; diese liegen, wie Ombeck selbst erklärt, in der Unsicherheit der Bestimmung der kinematischen Zähigkeit. Unter Berücksichtigung dieses Umstandes fand er bis zur Reynoldsschen Zahl $Re = 100 \cdot 10^3$ eine gute Übereinstimmung mit der Formel von Blasius.

Stanton und Pannell 5) haben für die Nachprüfung des Ähnlichkeitsgesetzes umfangreiche Versuche in kreisförmigen Rohren mit verschiedenen Durchmessern (d = 0.361 cm bis d = 12.62 cm) mit Wasser und Luft bei verschiedenen Temperaturen angestellt. Die Versuche lagen im Bereiche der Reynoldsschen Zahlen $2.2\cdot 10^3$ his $430\cdot 10^5$. Die Ergebnisse dieser Versuche haben das Ähnlichkeits-

H. Blusius: Das Ähnlichkeitsgesetz bei Reibungsvorgängen in Flüssigkeiten, Forsch.-Arb. Ing.-Wes. Nr. 131, Berlin 1913.
 T. Saph and E. H. Schoder: An experimental study of the resistance to the flow of water in pipes. Trans. Amer. Soc. eiv. Engr. Pap. 944, Bd 51, 1903.

³⁾ W. Nukelt: Wärmeübergang in Rohrleitungen, Forsch.-Arb. Ing. Wes. Nr. 89 Revlin 1976

⁴⁾ H. Ombeck: Druckveriust strömender Luft in geraden zylindri-schen Rohrleitungen, Forsch. Arb. Ing. Wes. Nr. 158/159, Berlin 1914 5) T. E. Stanton and J. R. Pannell: Similarity of motion in relation to the surface friction of fluids, Proc. Roy. Soc. Lond. (A).

gesetz in bester Weise bestätigt; bis zur Reynoldsschen Zahl 100 · 103 liegen die Versuchspunkte auf der Geraden nach Blasius. Darüber hinaus beobachtet man mit steigender Reynoldsscher Zahl eine zunehmende Abweichung von der Geraden nach oben. Lees 6) hat für die Aufstellung seiner empirischen Formel des Widerstandsgesetzes die Stanton-Pannellschen Ergebnisse zugrunde gelegt und find $\lambda = 0.00714 + \frac{0.6104}{Re^{0.35}}$.

Jukob und Erk 7) führten mit Wasser Versuche aus über den Druckabfall in Abhängigkeit von der Durchfußmenge in gezogenen Messingrohren vom Durchmesser a=7 em und 10 em im Bereiche der Reynoldsschen Zahlen zwischen 86·10⁸ und 462·10³. Innerhalb der Streung der Versuchspunkte um 1 6 /₀ bestätigten die Versuche die ehen besprochenen Messungen von Stanton und Pannell. Jakob und Erk leiteten aus eigenen Versuchen eine Widerstandsformel ab, welche fast genau mit der von Lees übereinstimmt.

Von neueren Versuchen sollen die von Hermann 8) über das Widerstandsgesetz in noch größerem Bereiche der Reynoldsschen Zahlen erwähnt werden; Hermann hat die Versuche mit Wasser in einem Kupferrohr vom Durchmesser d=5 cm und einem Messingrohr von d=6.8 cm im Bereiche der Reynoldsschen Zahlen zwischen $20\cdot 10^3$ und 1900 · 103 und Anlauflängen zwischen 88 und 600 Rohrhalbmessern durchgeführt. Er untersuchte die Abhängig-Widerstandszahl von der Reynoldsschen Zahl keit der und fand für kurze Anlauflängen und kleinere Reynoldssche Zahlen eine gute Übereinstimmung mit dem Widerstandsgesetz, das früher Stanton und Pannell, Jakob und Erk und andere festgestellt hatten. Einen Anlaufeffekt (Abnahme der Widerstandszahl mit der Anlauflänge) hat Hermann bei einer Anlauflänge bis 600 Rohrhalbmesser beobachtet; außerdem erhielt er mit steigender Reynoldsscher Zahl eine Zunahme der Anlauflänge. suchsergebnisse zeigen, daß angenähert als Anlaufstrecke eine Länge von 200 r zu betrachten ist. Aus diesen Versuchen leitet Hermann eine Formel für das Widerstandsgesetz ab, welche analog zu der von Lees ist. Am Schluß gibt er eine Tabelle an, die die Umrechnung der Widerstandszahl für beliebige Anlauflängen zwischen 88 und 600 Halbmessern gestattet. L. Schiller 9), unter dessen Leitung Hermann gearbeitet hat, berichtete 1929 in Aachen auf dem Kongreß für Aerodynamik und verwandte Gebiete über die oben angeführten Ergebnisse, wobei sich herausstellte, daß die Widerstandszahlen oberhalb der von Stanton und Pannell und Jakob und Erk erreichten höchsten Reynoldsschen Zahlen wesentlich höher lagen als die in Göttingen gefundenen. Der höhere Widerstand zeigte offensichtlich, daß Hermann in seinem Versuchsrohr eine Drehung gehabt hatte, welche eine Widerstandserhöhung mit sich brachte. Diese Tatsache veranlaßte L. Prandtl 10) vorzuschlagen, vor den Rohreinlauf einen Gleichrichter zu bauen und die Messungen zu wiederholen. Die Nachmessungen ergaben, wie L. Schiller in einem Zusatz bei der Veröffentlichung seines Aachener Vortrages berichtet, daß ein Anlaufeffekt nach 250 Rohrhalbmessern nicht mehr vorhanden war und daß bei scharfem Einlauf nach einer Anlauflänge von 100 r kein Anlaufeffekt mehr zu beob-

achten ist, was mit den Göttinger Feststellungen übereinstimmt. Hier soll noch erwähnt werden, daß die noch nicht veröffentlichten umfangreichen Göttinger Messungen über die Anlauflänge ergeben, daß der Anlaufeffekt von 100 r ab auch bei abgerundetem Einlauf nicht mehr vorhanden ist.

Zu den ersten guten Versuchen über die Geschwindigkeitsverteilung von turbulenten Strömungen in kreisförmigen Rohren gehören die von Stanton 11). Messungen sind mit Luft in Rohren von 500 cm Länge und einem Durchmesser d = 4.93 cm und d = 7.4 cm gemacht und erstrecken sich über die Reynoldsschen Zahlen zwischen 14·10³ und 60·10³. Die Angaben des Druck-gefälles, bei welchem die Geschwindigkeitsverteilungen aufgenommen sind, fehlen. Eine weitere derartige Messung mit Wasser ist vom Verfasser ¹²) in einem kreisförmigen Rohr von 2,8 cm Durchmesser bei einer Reynoldsschen Zahl von etwa 180 · 1.03 durchgeführt. Ferner liegen auch Messungen der Geschwindigkeitsverteilungen in Kanälen und Rohren mit nicht kreisförmigem Querschnitt vor, die mit dieser Arbeit nicht in Verbindung stehen.

Aus den angeführten Arbeiten sieht man, daß der experimentelle Befund nicht ausreichend ist für die Klärung des Turbulenzproblems. Aus diesem Grunde hatten wir uns in Göttingen die Aufgabe gestellt, die bisherigen Untersuchungen in zwei Richtungen zu erweitern: Einerseits den Bereich der Versuche auf sehr große Reynoldssche Zahlen zu erstrecken und andererseits neben der Ermittlung des Widerstandsgesetzes auch die Geschwindigkeitsverteilungen, deren Kenntnis für die Erforschung der turbulenten Strömungen von großer Bedeutung ist, in Abhängigkeit von der Reynoldsschen Zahl zu klären. Wir haben eine große Versuchsreihe über die Geschwindigkeitsverteilungen und den Druckabfall in glatten Rohren bei höchst erreichbarer Meßgenauigkeit in einem möglichst großen Bereich Reynoldsschen Zahlen durchgeführt. Durch zweckmäßige Auswertungen ist es gelungen, zu zeigen:

1. welche gesetzmäßigen Zusammenhänge zwischen dem Widerstand und der Geschwindigkeitsverteilung bestehen;

durch welche Formeln sich das Widerstandsgesetz und das Gesetz für die Geschwindigkeitsverteilung ausdrücken lassen:

3. welche Gesetzmäßigkeiten sich für die Austauschgröße

und den Prandtlschen Mischungsweg ergeben.

Bei diesen Untersuchungen ist von den theoretischen Ergebnissen der Karmanschen Ähnlichkeitsbetrachtung 13) ausgiebig Gebrauch gemacht worden. Die Versuche haben diese Ergebnisse oberhalb der Grenze, bei welcher der Einder Zähigkeit auf die turbulenten Vorgänge ver-

schwindet, sehr gut bestätigt.
Die Versuche 14) sind im Jahre 1928/29 in dem von Prof. Dr. L. Prandtl geleiteten Kaiser Wilhelm-Institut für Strömungsforschung durchgeführt worden. Die theoretische Verarbeitung der Versuchsergebnisse konnte erst im Sommer 1931 zum Abschluß gebracht werden. Die Versuchsanlage und die Versuchsapparate sind in den Werkstätten des Kaiser Wilhelm-Instituts für Strömungsforschung gebaut.

Meinem hochverehrten Chef, Herrn Prof. Dr. L. Prandtl, der mich jederzeit mit seinen wertvollen Ratschlägen unterstützte, möchte ich auch an dieser Stelle meinen herzlichen Dank aussprechen.

¹¹⁾ T. E. Stanton: The mechanical viscosity of fluids, Proc. Roy. Soc. Lond. (A), Bd. 85 (1911) S. 366 bis 376.
12) J. Nikuradæ: Untersuchung über die Geschwindigkeitsverteilung in turbulenten Strömungen, Forsch. Arb. Ing. Wes. Nr. 281.

in turbulenten Strömungen, Forsch-Arb. Ing.-Wes. Nr. 281, Berlin 1926.

13) Th. v. Kármán: Mechanische Xhalichkeit und Turbulenz, Nachr. Ges. Wiss. Göttingen, Math. Phys. Klasse, 1930, S. 58.

14) Einen kurzen Bericht darüber hat Verf in Aachen auf dem Kongreß der Aerodynamik und verwandter Gebiete erstattet. J. Nieutratse: Über urbunente Wasserströmungen in geräden Enhuen bei sehr großen Reynoldsschen Zahlen. Vorträge aus dem Gebiete der Aerodynamik und verwandter Gebiete. Aachen 1929, heraungegeber von A. Gilles. L. Hopf und Th. t. Körmän, Berlin 1930, S. 68. In dem gleichen Band findet sich S. 69 ein Berlin von L. Schüller über gleichzeitig mit unseren Versuche in Leipzig angestelhe Versuche, auf die im folgenden mehrfach Bezug genommet, werden wird

⁶⁾ Gh. H. Lees: On the Flow of viscous Fluids through smooth circular Pipes. Proc. Roy. Soc., Lond. (A), Bd. 91 (1915) S. 46.

7) M. Jakob und S. Erk: Der Druckabfall in glatten Rohren und die Durchfußziffer von Normaldüsen, Forsch-Arb. Ing.-Wes. Nr. 267, Berlin 1924.

8) R. Hermann: Experimentelle Untersuchung zum Widerstandsgesetz des Kreisrohres bei hohen Reynoldsschen Zahlen und großen Anlauflängen. Diss. Leipzig und Akadem. Verlagsgesellschaft m. b. B. Leipzig 1930.

⁹⁾ L. Schiller: Rohrwiderstand bei hohen Reynoldsschen Zuhlen, aufunge aus dem Gebiete der Aurodynamik und verwandte: Gebiete, achten 1929, herausgegeben von ±. Gilles, L. Hopf und Th. v. Kär-nin, Berlin 1930, Seite 69.

¹⁰⁾ L. Frandtl: Diskussionsbemerkungen zum Vortrag von L. Schiller is. Fußnote 9). Vorträge aus d. Gobiete d. Aerodynamik u. verwandter Gebiete. Aachen 1929, heransgegeb. v. 2. Gilles. L. Hopf u. Fh. v. Kormán, Berhn 1986, Seite 72.

ststellungen überverden, daß die umfangreichen daß der Anlaufem Einlauf nicht

er die Geschwinmungen in kreis-Stanton 11). Die Die m 500 cm Länge d = 7,4 cm genoldsschen Zahlen gaben des Druckgkeitsverteilungen weitere derartige 2) in einem kreisei einer Reynoldsührt. Ferner liesitsverteilungen in nigem Querschnitt indung stehen. man, daß der ext für die Klärung trunde hatten wir : bisherigen Unterrn: Einerseits den ynoldssche Zahlen er Ermittlung des ndigkeitsverteilunig der turbulenten in Abhängigkeit Wir haben eine igkeitsverteilungen bei höchst erreichıst großen Bereich

zu zeigen: inge zwischen dem arteilung bestehen; Widerstandsgesetz teitsverteilung aus-

Durch zweck-

lie Austauschgröße geben.

den theoretischen reitsbetrachtung ¹³) Die Versuche haben ei welcher der Einten Vorgänge ver-

28/29 in dem von r Wilhelm-Institut worden. Die theoebnisse konnte erst racht werden. Die arate sind in den uts für Strömungs-

rof. Dr. *L. Prandtl*, Ratschlägen untere meinen herzlichen

y of fluids, Proc. Roy. 6. schwindigkeitsverteilung Ing.-Wes. Nr., 281,

und Turbulenz, Nachr. 10, S. 58.
f. in Aachen auf den ehiete erstattet. J. Niin geruden Rehren. bei aus dem Gebiete der n 1929, herausgegeben Berlin 1930, S. 62. In int von L. Schüller über nigestellte Versuche, auf verden wird.

I. Experimenteller Teil

1. Versuchseinrichtung

Zur Untersuchung der turbulenten Strömungsvorgänge in kreisförmigen Rohren wurden drei verschiedene Versuchsanlagen benutzt:

- a) Für kleine Reynoldssche Zahlen von etwa 3·10³ bis 60·10³ diente ein Kessel mit Überlauf, der von der Wasserleitung gespeist wurde;
- b) für größere Reynoldssche Zahlen bis etwa 1400 · 10³ wurde das Wasser mittels einer Zentrifugalpumpe in Umlauf versetzt;
- e) zur Erreichung noch größerer Reynoldsscher Zahlen his etwa 2500·10³ wurde das im Wasserkessel aufgespeicherte Wasser mittels Druckluft ausgetrieben;
- d) bei den beiden letzten Einrichtungen wurde die Reynoldssche Zahl noch durch eine Temperaturerhöhung des Wassers gesteigert, wodurch sich beim 3. Falle der Höchstwert von Re = 3300 · 10³ erreichen ließ.

Zu a): Da eine vollkommen gleichbleibende Wassersäule bei geringer Durchflußmenge, wie dieses bei kleineren Reynoldsschen Zahlen erforderlich ist, mit einer Kreiselpumpe allein sehr schwer zu erzielen war, wurde folgende Anordnung getroffen. Durch die Zuleitung zl (Abb. 1) fließt das Wasser aus der Wasserleitung in den offenen Wasserkessel wk. Bei offenem Abflußhahn ah steigt das Wasser im Steigrohr str ebenso hoch wie im Wasserkessel wk. Da die Zuleitung eine etwas größere Wassermenge lieferte als durch das Versuchsrohr vr abfloß, wurde das überschüssige Wasser durch das Steigrohr str an den Fangtopf ft abgegeben, von wo es durch das Fallrohr fr abgeführt wurde, so daß eine gleichbleibende Wasserhöhe erreicht wurde. Um einen gleichmäßigen Wasserstrom im Versuchsrohr zu erreichen, wurde im zylindrischen Teil des Auslaufes des Wasserkessels wk ein Gleichrichter gl eingebaut. Dieser sollte die große Wirbelung, die, im Wasserkessel durch das einströmende Wasser verursacht, sich auch in das Versuchsrohr fortsetzt, beseitigen. Durch den konischen Teil des Auslaufes erhielt das Wasser eine Beschleunigung, die weiter beruhigend wirkte. Das Wasser wurde dann durch ein Rohr zr von 25 cm Dmr. und 250 cm Länge bis vor das Versuchsrohr gebracht. Es wurden Versuchsrohre nachstehender Größe benutzt (Zahlentafel 1).

Zahlentafel 1

Abmessungen der Versuchsrohre

d mm	l _e mm	l_I mm	l_{II} mm	l _a mm	x mm	$\frac{x}{d}$	Bezeich- nungen	-
10	550	500	500	450	2000	200	vr_1	
20	1330	500	500	170	2500	125	vr_2	
30	1960	500	500	40	3000	100	$x r_3$	
50	3300	1000	1000	70	6000	120	vr_4	
100	4000	1500	1000	550	7050	70,5	vr_5	
			'					

d= Innendurchmesser des Rohres; $l_e=$ Einlauflänge; $l_I=$ Meßstrecke II; $l_{II}=$ Meßstrecke II; $l_{II}=$ Auslauflänge;

 $x = \text{Gesamtlänge}; \quad \frac{x}{d} = \text{relative Gesamtlänge}.$

Um einen gleichmäßigen Einlauf in das Versuchsrohr zu erhalten, ist bei allen Versuchen das Zuleitungsrohr zr zum Versuchsrohr hin konisch verjüngt bis zum Durchmesser des letzteren. In diesem Verjüngungsstück al (Abb. 4) befand sich bei den Versuchen mit Überlauf eine scharfkantige Einschnürung, die auch bei den kleinsten untersuchten Reynoldsschen Zahlen bis etwa 15·10° turbulente

Strömung gewährleisten sollte. Kurz vor der Verjüngung war an der höchsten Stelle des Zuleitungsrohres ein Entlüftungshahn eh angebracht. Das Versuchsrohr mit dem Geschwindigkeitsmeßapparat war auf zwei Wagen montiert, die ein bequenes Verschieben während des Umbaues gestatteten. Die Wagen liefen auf Schienen auf der Randmauer des Vorratskanales. In der Längsrichtung des Wagens lag eine optische Schiene, auf welcher die Reiter standen, die das Versuchsrohr trugen und ein Einstellen des Rohres in die waagerechte Richtung ermöglichten. Am Ende des Versuchsrohres befand sich ein Geschwindigkeitsmeßapparat, der weiter unten näher beschrieben ist. Darunter stand im Vorratskanal vk der Meßbottich mb (Abb. 4).

Zu b): Für die Versuche mit Kreislauf (Abb. 2) wurde das Wasser mit der Kreiselpumpe kp, die durch einen Antriebsmotor am (Leistung: 14 kW, Umdrehungszahl: veränderlich zwischen 1120 und 1900 U/min) angetrieben wurde, dem Vorratskanal vk entnommen und in den Wasserkessel wk gefördert. Aus diesem gelangte es durch das Versuchsrohr vr in den Vorratskanal vk zurück. Zur Grobregulierung dienten der Anlasser am des Antriebsmotors und der Schieber sb1, der zwischen der Kreiselpumpe kp und dem Wasserkessel wk eingeschaltet war. Die Feinregulierung erfolgte durch ein Drosselventil dv am Geschwindigkeitsmeßapparat (Abb. 5). Die Kreiselpumpe war imstande, auf dem Wasserspiegel im Wasserkessel uk einen Druck bis zu 2 at zu halten. Der Druck wurde so erzeugt, daß das Wasser die in dem Kessel über dem Wasser befindliche Luft zusammenpreßte. Im allgemeinen wurde eine Wassersäule von 500 cm gehalten (Maße des Kessels uk: Höhe 6500 mm; Dmr. 1500 mm). Die eben beschriebene Versuchseinrichtung gestattete, Wasserströmtungen bis zu etwa Re=1000·10³ bei gewöhnlicher Temperatur zu erzeugen. Die Versuchsstricke war im übrigen genau so wie bei der zuerst geschilderten Einrichtung.

Zu c): Die Druckluftanlage bestand aus einem Kompressor, der in dem Druckluftkessel dk (Abb. 1) einen Überdruck von etwa 10 at zu erzeugen imstande war. Der Druckluftkessel war durch einen Arca-Regler a mit dem Wasserkessel wk verbunden; der Regler, der weiter unten näher beschrieben wird, sorgte für die Unveränderlichkeit des Druckes beim Austritt des Wassers aus dem Wasserkessel. Da die Ausströmzeit beschränkt war (kürzeste Zeitdauer etwa 45 s), sorgte der Schnellschlußhahn sh, der zwischen dem Wasserkessel und dem Versuchsrohr lag, für das schnelle Öffnen und Schließen der Versuchsleitung. Gesteuert wurde der Schnellschlußhahn mittels Druckluft. Für das Öffnen bzw. Schließen wurde etwa 0,1 s benötigt. Um zu vermeiden, daß durch das Schließen des Schnell-schlußhahnes im Wasserrohr ein Unterdruck auftrat, sorgte das Schnüffelventil sr, das an der höchsten Stelle des Zuleitungsrohres zr zwischen Schnellschlußhahn und Versuchsrohr lag, für den Ausgleich mit der äußeren Luft. Da bei diesen Versuchen im freien Strahl gemessen wurde, war der Geschwindigkeitsmeßapparat gm offen und daran ein rechteckiges Steigrohr sr angebracht. Der freie Strahl wurde von dem Strahlvernichter st, der auf einem dritten Wagen gelagert war, aufgefangen und durch Umlenkung und den Beruhigungstopf br in den Vorratskanal zurückgeführt. Das Zuleitungsrohr zr hatte bei diesen Versuchen aus Platzmangel nur eine Länge von 1500 mm.

Zu d): Um noch größere Reynoldssche Zahlen zu erlaugen, wurde die kinematische Zähigkeit $r=\frac{u}{2}$ des Wassers durch eine Erhöhung der Temperatur herab-

gesetzt. Das gleiche Verfahren wurde auch zum Teil bei den Messungen mit Kreislauf angewandt, da die Durchführung der Versuehe mittels dieser Anlage bei weitem weniger Zeit und Mühe erforderte als mit der letzten Versuchseinrichtung. Das Wasser wurde in einem Kessel mit Dampf erwärmt. Der Kessel lieferte etwa 1,1 1/s Wasser bei 40°C. Durch Verminderung der Mengelieferung konnte man die Wassertemperatur bis zu etwa 95°C steigern, was wegen der Abkühlung in der Versuchseinrichtung einer Temperatur von etwa 40°C im Versuchseinrichtung einer Temperatur von etwa 40°C im Versuchserohr entsprach. Der Kessel befand sich an der Wand des Wasserlaboratoriums und mündete durch einen Schlauch zf in den Vorratskannal vk. Die Reynoldsschen Zahlen betrugen infolge der Temperaturerhöhung des Wassers bei der zweiten Anlage bis zu Re=1400·10³, bei der dritten Anlage bis zu Re=3240·10³. Die Gesamtansicht der Anlage für e) und d) ist aus Abb. 3 ersichtlich.

2. Meßeinrichtung

a) Geschwindigkeitsmeßapparat mit Drosselung und schwenkbarem Auslauf

Der Geschwindigkeitsmeßapparat (Abb. 4) besteht aus dem Gehäuse m, dem Deckel d, den Spindeln sp und su, dem Schlitten schl und dem beweglichen Pitotrohr pt. Das Gehäuse hat an beiden Seiten Fenster f für Beobachtungszwecke. In der Mitte befindet sich eine Wand w, die das Rückströmen von Flüssigkeit in den Meßraum verhindern soll. Der Deckel d ist fest mit dem Gehäuse verschraubt, so daß ein leichtes Abdichten möglich ist. Für die Entlüftung ist auf dem Deckel ein Hahn e angebracht.

Für die Bewegungen des Pitotrohres sind die Spindeln sp und su vorgesehen, die gleichzeitig den Schlitten schl tragen. Die Spindel sp hat ein Gewinde von 1 mm Steigung und schiebt den Schlitten in waagerechter Richtung; sie wird von außen gedreht und ist mit einer Stopfbüchse abgedichtet. Die Umdrehungen der Spindel sp werden auf ein Zählwerk zw1 übertragen; dieses ist so angeordnet, daß die Rolle der letzten Zahlenstelle (Einerstelle) fest mit der Zählerachse verbunden ist, so daß der Zähler bei einer Umdrehung austatt um eine Zahl zehn Zahlen weiterrückt und somit die zweite Stelle der Zahlen die Einerstelle ist. Man kann hierdurch bequem 0,1 mm Verschiebung ablesen. Mit der Vor- und Rückbewegung des Schlittens wird gleichzeitig das Pitotrohr in der gleichen Richtung bewegt.

Die senkrechten Bewegungen des Pitotrohrhalters ph erfolgen durch die Spindel su, welche kein Gewinde, sondern eine Nute hat. Durch die Umdrehungen der Spindel werden die Schraubenräder gedreht. Das Schraubenrad ε hat ein Innengewinde mit 1 mm Steigung und schraubt den Pitotrohrhalter ph auf und ab, der gegen Drehen durch die Führungsflanken fl gesichert ist. Das Zählen geschieht durch den Zähler εw_2 in gleicher Weise wie bei der Spindel sp.

Der zu messende Gesamtdruck wird durch den Pitotrohrhalter ph, an dem Pitotrohre pt verschiedener Durchmesser parallel zur Strömungsrichtung angebracht werden können, und den Schlauch s nach außen geführt. Da die Geschwindigkeitsverteilung 0,1 bis 0,2 mm hinter dem Austrittsende des Versuchsrohres aufgenommen wird, muß in dieser Querschnittsebene auch der statische Druck gemessen werden; deshalb war in dem Flansch des Versuchsrohres eine Anbohrung scht von etwa 0,8 mm Dmr. angebracht. Diese Anbohrung lag etwa 2 mm vom Strahlrand entfernt. Lier hier herrschende Druck war gleich dem Druck an dem Strahlrand.

Um die verschiedenen Durchflußmengen fein regulieren zu können ist an dem Geschwindigkeitsmeßapparat ein Drosselventil der (Abb. 4) angebracht. Durch die Schraub-

spindel srsp (Abb. 5) mit Meßskala msk läßt sieh die Stellung des Drosselkegels dk einstellen.

Der schwenkbare Auslauf selt dient dazu, die Flüssigkeit zur Mengenmessung schnell in einen McBhottich zu leiten und wieder wegzuleiten. Eine Kugellagerung kl ermöglichte sehr rasche Schwenkung.

Der Geschwindigkeitsmeßapparat, die Drosseleinrichtung und der schwenkbare Anslauf sind zusammenmontiert und liegen auf einem Wagen wy (Abb. 4), der ebenfalls auf den erwähnten Schienen in der Längsrichtung des Vorratskanales beweglich ist.

b) Meßbottich

Für die Mengenmessungen diente ein zylindrischer Meßbottich mb (Abb. 5) mit einem Fassungsvermögen von etwa 700 l bei 1000 mm Dmr. und 900 mm Höhe; er konnte unter den schwenkbaren Auslauf sch gefahren werden. Im Boden des Meßbottichs war ein Ablauf mit Halm ab angebracht. Vor dem Hahn war ein mit Millimeterteilung versehenes Wasserstandsglas ws zur Ablesung der Wasserhöhe in Bottich angeordnet. Der McBbottich stand auf vier Schraubfüßen sf, um ihn waagerecht einstellen zu können Auf dem Wasser im Meßbottich sehwamm ein durchlöcher tes rundes Holzbrett, das die Schwingungen der Wasser oberfläche dämpfte, wodurch die Ablesezeit verkürz wurde. Für die Messung kleinerer Mengen wurde ein ähnlicher Meßbottich von 178 mm Dmr. und 700 mm Höhbenutzt. Zur genaueren Ermittlung des Meßbottichdurch messers wurde die Steighöhe des Wasserstandes in Ab hängigkeit von der vorher durch Wägung bestimmte: Wassermenge (etwa 10 kg) festgestellt.

c) Mikromanometer

Für die auftretenden kleinen Druckdifferenzen war di Ablesegenauigkeit der normalen Wassermanometer niel mehr ausreichend. Es mußte eine Einrichtung geschaffe werden, deren Ablesegenauigkeit unseren Forderungen en sprach, die aber auch gleichzeitig bei größeren Drucke verwendbar war. Diese Aufgabe wurde für die Messunge der Drucke von 0,02 bis etwa 500 mm W.-S. wie folgt ge löst. An ein waagerechtes Glasrohr mit drei Hähmen h h_2 , h_3 . (Abb. 6) sind zwei Glasrohre zwischen je zw Hähne eingeschmolzen. Zwischen die beiden freien obere Schenkel dieser Rohre wurde ein T-Stück mit 120° Sche kelwinkel so eingeschmolzen, daß ein Schenkel senkrec. nach oben stand. Dieses Ende des T-Stückes war mit eine Hahn h5 verschließbar. Der Hahn h4 in einem anderen Sche kel des T-Stückes gestattete die Unterbrechung der Verbi dung zwischen den beiden Glasrohren. Die freien Enden und a4 der Glasrohre waren durch Quetschhähne verschlie bar. Wenn man diese Einrichtung als Wassermanometer h nutzen will, schließt man die beiden Druckleitungen a_1 und a_2 an und öffnet die Hähne h_1 , h_2 und h_4 . Quecksilberfüllung schließt man die Druckleitungen bei und a4 an und öffnet h3. Zur Kontrolle des Nullpunkt während des Betriebes öffnet man h3 bei dem Wasse manometer und h4 bei dem Quecksilbermanometer. I Ablesebereich hat eine Länge von etwa 500 mm. Die St gerung der Meßgenauigkeit wurde durch Ablesemik: skope mi erreicht. Auf einer massiven Grundplatte e skope mi erreicht. Auf einer massing ist ein Vierkant-Präzisionsrohr fest aufmontie auf welchem die beiden Schlitten sl verschiebbar geordnet sind. Jeder Schlitten trägt ein Ablesemikrosk mi mit Fadenkreuz. Die Verschiebung erfolgt du Ritzel und Zahnstange. Der ein- und ausrückbi Schneckenantrieb sn (Abb. 7) ermöglicht eine genaue Fe einstellung. Der untere Schlitten trägt den Maßstal mit Millimeterteilung, der obere den Nonius n mit Fü zigstel-Teilung. Vor dem Xonius ist eine schwenkh. Lupe lu angebracht. Die Beleuchtung erfolgt durch

The state of the s

läßt sich die Stel-

zu, die Flüssigkeit Bbottich zu leiten gerung kl ermög-

ie Drosseleinrichzusammenmontiert 4), der ebenfalls srichtung des Vor-

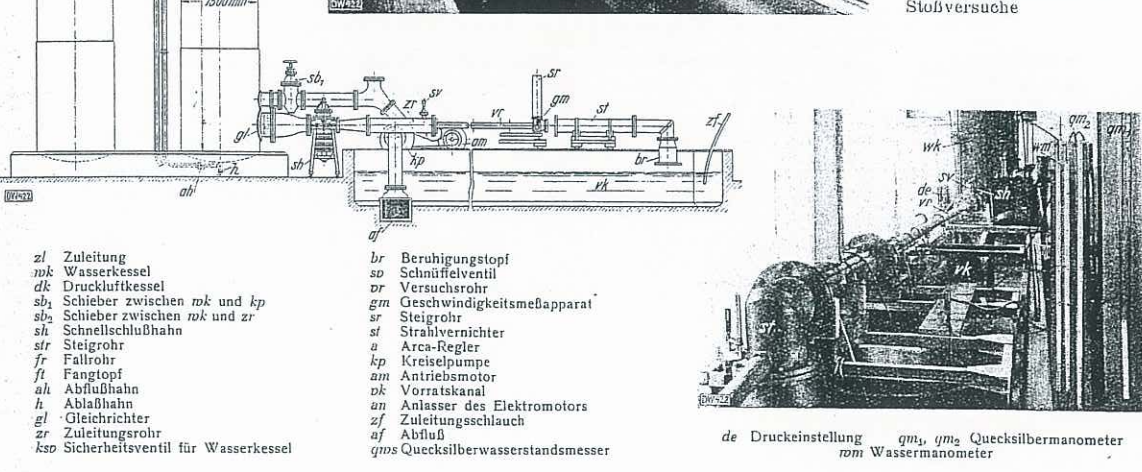
cylindrischer Meßermögen von etwa e: er konnte unter werden. Im Boden hn ab angebracht. teilung versehenes r Wasserhöhe im stand auf vier ıstellen zu können. m ein durchlöcheringen der Wasserblesezeit verkürzt 1engen wurde ein und 700 mm Höhe Meßbottichdurchserstandes in Abägung bestimmten

ifferenzen war die rmanometer nicht ichtung geschaffen i Forderungen entgrößeren Drucken für die Messungen V.-S. wie folgt ge-t drei Hälmen h_1 , zwischen je zwei eiden freien oberen sk mit 120° Schen-Schenkel senkrecht skes war mit einem nem anderen Schen-echung der Verbin-)ie freien Enden as chhähne verschließassermanometer be-Druckleitungen bei 1, h2 und h4. uckleitungen bei a3 e des Nullpunktes bei dem Wasserermanometer. Der 500 mm. Die Steiurch Ablesemikro-1 Grundplatte aus r fest aufmontiert, verschiebbar ann Ablesemikroskop ing erfolgt durch und ausrückbare t eine genane Feint den Maßstab m onius n mit Fünfeine schwenkbare · erfolgt durch die Abb. 1. Versuchsanlage dk 55001

Abb 9 Ansicht der Versuchsanlage mit Kreislauf des Wassers

Abb. 3 (unten) Ansicht der Anlage für Stoßversuche

de Druckeinstellung qm₁, qm₂ Quecksilbermanometer nom Wassermanometer



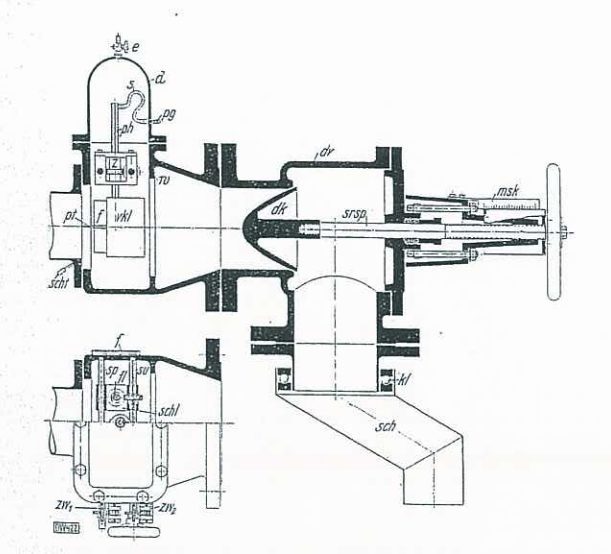


Abb. 4. Der große Geschwindigkeitsmeßapparat mit Drosselung und schwenkbarem Auslauf

	Deckel			
	su Spindel			
chi	Schlitten			
ri	Pitotroitr			
oh	Pitotrohrhalter			
f	Pitotrohrhalter Fenster			
20	Leitungsansatz	für	Gesamtdruck	
,	Schrauhenrad			
1	Schraubenrad Führungsflanker	7		
,	Schlauch			

Gehäuse

srsp Schraubenspindel
dk Drosselkegel
msk Meßskala
kl Kugellager
ab Drosselventi
m Wand
e Entlüftungshahn
bkl Verkleidung des Pitotrohrhalters
sch Schwenkbarer Auslauf
scht Schlauchtölle

Zuleitungsrohr Entlüftungshahn Verjüngungsstück Versuchsrohr Entlüftungshahn des Ge-schwindigkeitsmeßepparates Fenster des Geschwindigkeits-meßungargen. meßapparates vorratskanal

vk

[DW1122]

Abb. 5. Ein Teil der Versuchsanlage do Drosselventil
msk Meßskala des Drosselventils
sch Schwenkbarer Auslauf
mg Wagen
mb MeBoottich
nos Wasserstandsgins
ab Abfülfhahn
sf Schraubfüße

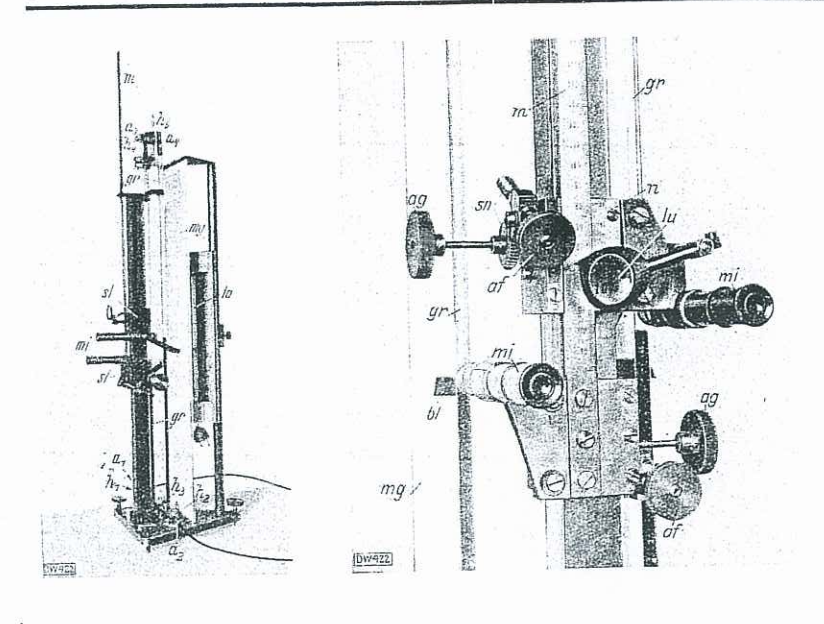


Abb. 6 und 7 Ansicht und Nahaufnahme o Mikromanometers

h₃, h₂, h₃, h₄, h₄ Hähne
n₁, n₂, n₃, n₄ Druckleitungsanschli
nii Ablesemikroskope
bli Blende
gr Glasrohre
ng Mikolglasscheibe
lii Sofititenlampe
gr Schlitten

Schlitten

Maßstab Schneckenantrieb

Lupe Antriebsrädchen für Grobein-stellung Antriebsrädchen für Feinein-stellung

Soffittenlampe la (Abb. 6), die hinter einer Milchglasscheibe mg verschiebbar angebracht ist. Durch verstellbare Bleuden bl (Abb. 7) wird die zu betrachtende Zone des Meniskus verdunkelt, so daß sich derselbe schwarz von dem erleuchteten Milchglas abhebt. Durch Stellschrauben und Libelle (Abb. 6) läßt sich das Manometer genau senkrecht stellen.

d) Arca-Regier

Der Arca-Regler (Abb. 8), ein Geschenk der Firma Area-Regler A.-G., Berlin W 9, hält den gewünschten Druck im Wasserkessel konstant. Die Wirkungsweise ist folgende: Bei wl ist die Wasserleitung angeschlossen. Ein Abzweig l₁ führt über eine Drossel dr, die die Durchfluß-menge regelt. Das Wasser wirkt auf den Kolben ko und fließt durch die Leitung l2 bis zum Tellerventil tr, welches sich bei hohem Druck im Wasserkessel schließt und bei niedrigen Drucken wieder öffnet. Die Spannfeder sf gentedrigen Drucken weder om bestimmten Druckes vor Beginn der Versuche. Der Membranbalg mb überträgt den ginn der Versuche. Druck mittels des Hebels h auf das Tellerventil tv. Läßt der Druck im Wasserkessel nach, so öffnet sich also das Tellerventil tr. Dadurch wird der Abfluß 12 freigegeben; das Wasser der Wasserleitung wird jetzt nicht mehr gestaut, der Kolben ko wird mittels der Kolbenfeder kf nach oben gedrückt und mit ihm der Steuerkolben sk. Dieser gibt nun den Wasserweg unter dem Hubkolben hk frei. Der Wasserdruck hebt nun den Hubkolben und dadurch hebt sich das Regulierventil rr, womit die Verbindung zwischen Druckluftkessel dk und Wasserkessel wk hergestellt ist. Ist im Wasserkessel wk der eingestellte Druck wieder erreicht, so wirkt dieser durch die Druckleitung dl auf den Membranbalg, und das Tellerventil tr schließt sich. Dadurch wird der Druck auf den Kolben ko erhöht und drückt diesen nach unten. Dann ist der Wasserzufiuß wi unter dem Hubkolben hk wieder versperrt und der Abfluß wa freigegeben. Die Hubfeder hf drückt das Regulierventil rr wieder zu. Dadurch, daß der Membranhalg mb nicht an den Luftraum im Kessel, sondern unten an den Wasserraum angeschlossen ist, wird wührend des Ausströmens der Wasserdruck an der Ausflußstelle unabhängig von der darüberstehenden Wassersäulenhöhe konstant gehalten.

e) Schnellschlußhahn 15)

Der Schnellschlußhahn (Abb. 9) wird mit Druckluft rd. 3 at betrieben und kann in einer Zeit von etwa 0,J 0.2 Sek. geöffnet oder geschlossen werden. Der Vorg beim Öffnen und Schließen des Schnellschlußhahmes folgender:

Durch Drehen des Steuerrades sr wird zuerst d einen Nocken ein kleiner Hahn ha geöffnet, der Druel durch die Leitung I unter den Hubkolben hk führt. D wird angehoben und mit ihm der Konus k bis zu dem schlag schr, welcher einstellbar ist. Nun sind die flächen des Konus k frei, und dieser wird durch den I kolben drk gedreht. Die Druckluft tritt in den St kolben sk durch die Zuführung le und füllt die Kamme (siehe Schnitt A—A). Wird das Steuerrad sr und gl falls der Steuerkolben sk elektrisch oder durch E betrieb gedreht, so öffnen sich die Schlitze bei c und Druckluft strömt durch die Schlitze c in die Kammer und drückt den Drehkolben drk herum und somit auch Konus k des Hahnes. Die in den Kammern ko befine Luft entweicht über die Schlitze d ins Freie. Ist Konus k und der Drehkolben drk um 90° gedrel schließt sich der kleine Hahn ha und läßt gleichzeiti Luft unter dem Hubkolben hle ab. Dieser samt dem I wird dann durch eine einstellbare Feder f wieder her gedrückt. Das Schließen vollzicht sich beim Rücky drehen des Steuerrades sr durch dieselben Schaltei tungen in umgekehrter Reihenfolge.

Damit der Konus k nicht ins Pendeln gerät, ist ei: dämpfung vorgesehen (Schnitt B—B). Der Dämp: kolben dmk ist fest mit dem Drehkolben drk verb Die Kammern kd sind mit Öl gefüllt und die Zufülu mit der Rohrleitung r und den Schiebern sch verb Beim Drehen des Dämpfungskolbens wird das Öl dur Rohrleitung auf dessen Rückseite gedrückt und durc stellen der Schieber sch mehr oder weniger gedrosse dem Augenblick, wo der Dämpfungskolben dmk di führungsbohrungen e abschließt, ist das Öl bis auf d dichtigkeiten vollständig abgeschlossen. Durch dies polster wird ein hartes Anschlagen verhingert.

BEAR COMPANY OF THE PARTY OF TH

i. Der Sennelsemmknunn von 15e mm Purchmesser, der allgemeinen für die Veranche mit Überschaltgesenwindigkeit wird, ist von Prof. F. Achtert konstruiert.

ıahme des

ıngsanschlüsse

r Grobein-

r Feinein-

ackluft von twa 0,1 bis er Vorgang 3halmes ist

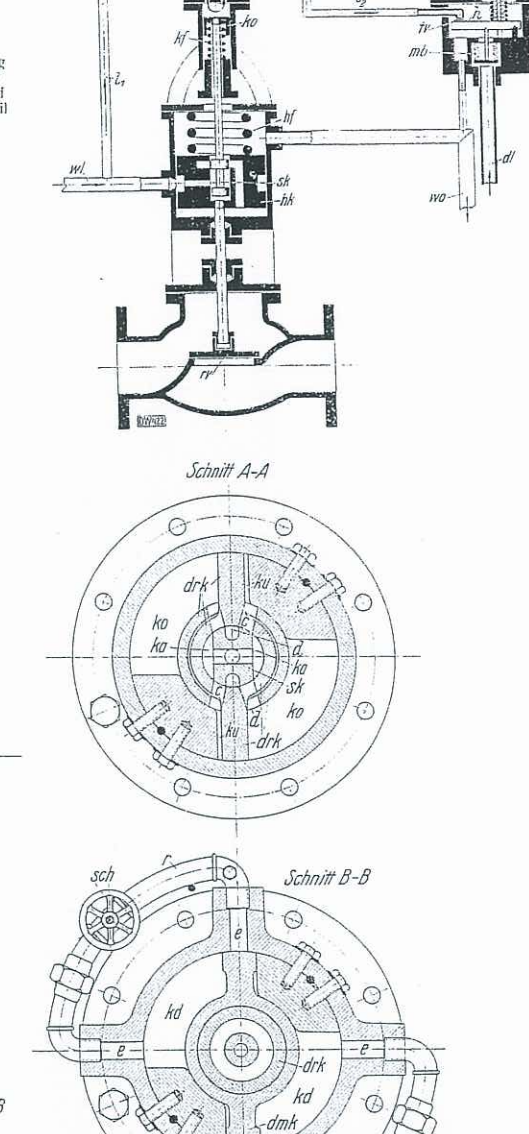
erst durch r Druckluft hrt. Dieser zu dem An-1 die Sitza den Drehlen Steuer-Kammern ka und gleichirch Handc und d, die lammern ku iit auch den) befindliche e. Ist der gedreht, so chzeitig die dem Konus er herunter-Rückwärtschalteinrich-

ist eine Öl-Dämpfungsverbunden. Zuführung e verbunden. Öl durch die l durch Eindrosselt. In mk die Zuauf die Unth dieses Öl-

Abb. 8 (rechts). Der Arca-Regier

Wasserleitung
Abzweigleitung
Abfluß
Drossel
Kolhen
Kolbenfeder
Hubleder
Steuerkolben

hk Hubkolben sf Spannfeder h Hebel tw Tellerventil mb Membranbalg dl Diuckleitung wa Wasserablad ro Regulierventil



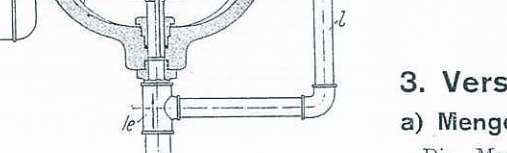


Abb. 9. Der Schnellschlußhahn

sr Steuerrad
ha Hahn
l: Konus
sch Anschlag
drk Drehkolben
sk Steuerkolben
ka Kammer des Steuerkolbens

DW122

c, d Schlitze ku, ko Druckluftkammer

Druckluftleitung
Hubkolben
Feder
k Dämpfungskolben
olkammer
Druckluftzuführung
Rohrleitung kd sch Schieber Olzuführung

3. Versuche

a) Mengenmessungen

Die Mengenmessungen bis zur Reynoldsschen Zahl $Re = 300 \cdot 10^3$ sind im Meßbottich vorgenommen. Da die Gewähr, daß der Meßbottich genau zylindrisch war, nicht gegeben war, mußte derselbe geeicht werden. Eine abgegeben war, minate derseine geeieht werden. Eine abgewogene Wassermenge wurde in den Bottich getan und die Wassershöhe im Wasserstand abgelesen. Die Eiehung ergab überall einen gleichen Durchmesser. Der Quersehmitt des großen Meßhottlehs verrag F = 7.56 em², der des kleinen F = 24° em². Bei jeder Messtag wurde vorhalb des großen Weisens gewahlte Geschen wie nach des Finland her der niedrigste Stand abgelesen und nach dem Einfauf

der höhere. Die Ablesungen geschahen bei vollkominen ruhigem Wasser mit einem Spiegel, um Parallaxe zu vermeiden. Diese Art der Ablesung ermöglichte eine Genauigkeit von 0,1 bis 0,2 mm. Mittels des schwenkbaren Auslaufes konnte das Wasser in etwa 0,1 bis 0,2 s zum Meßbottich geführt werden. Die Dauer des Einlaufens in den McBbottich wurde mit einer Handstoppuhr festgestellt. Die Stoppuhr ist auf ihren Gang geprüft worden und hatte 1/10 s Einteilung. Der schwenkbare Auslauf konnte dann mit gleicher Geschwindigkeit zurückgedreht werden. Die Dauer des Einlaufens lag zwischen 100 und 600 s. Nehmen wir an, daß bei einer Meßdauer von 100 s auf 0,2 s genau gemessen ist, ferner, daß die Wasserhöhe im Wasserstand auf 0,2 mm genau abgelesen ist, so betrug im ungünstigsten Falle der Fehler in der Mengemessung 0,3 %. Dieser Fehler ging bei einer Meßdauer von 600 s auf 0,05 % zurück. Der größte Fehler der Mengemessung bringt für die mittlere Geschwindigkeit u einen Fehler von 0,13 %. Die Menge wurde als Mittel von mehreren Beobachtungen (4 bis 6) und zeitweise von zwei Beobachtern festgestellt.

b) Temperaturmessungen

Im allgemeinen wurde die Temperatur mit einem Thermometer am Auslauf gemessen. Um die Gewähr zu haben, daß das Wasser im Rohr dieselbe Temperatur wie am Auslauf hatte, wurde auch das durch den Entlüftungshahn eh (Abb. 4) ausfließende Wasser gemessen. Es zeigte sich immer Übereinstimmung. Das Thermometer war geeicht und in Zehntel Grade geteilt. Somit konnte etwa ½0 bis 1/30° abgeschätzt werden, wodurch ein Fehler der kinematischen Zähigkeit von 0.05 bis $0.08\,\%_0$ bedingt war. Bei den höheren Temperaturen ist der Fehler in der kinematischen Zähigkeit noch geringer. Die Messungen wurden vorgenommen bei Temperaturen von 9° bis 38°C. Bei ge-wöhnlicher Wassertemperatur ist die Unveränderlichkeit der Temperatur leicht zu erzielen; bei höherer dagegen bestand eine gewisse Schwierigkeit. Wie erwähnt, wurden die höheren Temperaturen dadurch erreicht, daß aus einem Kessel das Wasser von 80 bis 90°C in den Vorratskanal vkfloß (500 bis 800 cm3/s). Durch Vorversuche wurde gefunden, welche Menge und Temperatur dieses Wassers nötig war, um eine bestimmte Temperatur des Versuchswassers während der Versuche dauernd zu erhalten. Entsprechend dem Zulauf floß durch den Ablauf af (Abb. 1) von der tiefsten Stelle des Vorratskanales vk abgekühltes Wasser ab.

c) Bestimmung des Rohrhalbmessers

Bezieht man das Druckgefälle $\frac{dp}{dx}$ auf den Staudruck der mittleren Geschwindigkeit $\overline{q} = \varrho \frac{\overline{u^2}}{2}$, so erhält man die dimensionslose Zahl A, die als Widerstandszahl bezeichnet wird.

$$\lambda = \frac{d}{d} \frac{p}{x} \cdot \frac{2}{q} = \frac{d}{d} \frac{p}{x} \cdot \frac{4}{\varrho} \frac{\pi^2}{\varrho^2} \cdot r^5,$$
 wobei ϱ die Dichte des Wassers,

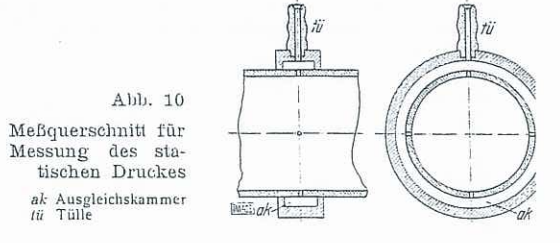
Q die Durchflußmenge in der Zeiteinheit, r der Rohrhalbmesser ist.

Aus dieser Formel ergibt sich, daß die Widerstandszahl λ , die aus unseren Versuchen bestimmt werden soll, proportional der fünften Potenz des Kohrhalbmessers ist. Deshalb war eine möglichst genaue Bestimmung desselben nötig. Aus dem Gewicht des Wassers, welches das Versuchsrohr ganz ausfüllte, und der Länge des Rohres wurde der Kohrhalbmesser bestimmt. Die Gewichtsbestimmung erfolgte mit einer Genauigkeit von = 0.01 %. Die Länge konnte bis auf $0.2~\mathrm{mm}$ genau gemessen werden, was einem Fehler von $\simeq 0.007~\mathrm{^{\circ}}_{-0}$ entspricht. Wenn man die Fehler des Gewichtes und der Rohrlänge im ungünstigsten Falle

rechnet, so wird der Rohrhalbmesser r um 0,01 % fals Dieser Fehler ist für die Bestimmung der Widerstan zahl \(\) belanglos.

d) Statische Druckmessungen

Die Messung des statischen Druckes ist unter der V aussetzung gemacht, daß der statische Druck im gan McBquerschnitt gleich ist. Da der statische Druck du sauber ausgeführte Wandanbohrungen ziemlich genau messen werden kann, wenn die Wand parallel zur S mungsrichtung ist, sind die Messungen des Druckabfalls vorgenommen worden. In jedem Meßquerschnitt waren Versuchsrohr vier Anbohrungen angebracht, die durch ringförmige Ausgleichskammer ak (Abb. 10) in Ver dung standen. Mittels Tülle tü und Schlauch konnte Verbindung mit dem Manometer hergestellt werden. freie Schenkel des Manometers wurde mit dem näch: Meßquerschnitt ebenso verbunden. Auf diese Weise wi



der Druckabfall über eine Meßstrecke I gemessen. oft tritt durch Anbohrungen, die nicht einwandfrei : eine Saug- oder Druckwirkung auf. (Die Erhebu liefern eine Saugwirkung und die Vertiefungen eine Di wirkung). Um eine fehlerfreie Ablesung des Druckab zu bekommen, wurde die günstigste Form der Anboh gesucht und als solche die scharfkantige Form festges Um auch den Einfluß der Größe der Anbohrungen zustellen, wurden zunächst Anbohrungen von 0,5 mm angebracht und allmählich bis 1,2 mm Dmr. erweiter wurde gefunden, daß jedenfalls im untersuchten Be die Größe der Anbohrungen ohne Einfluß auf die D anzeige ist.

Bei der Herstellung der scharfkantigen Aubohru wurde ein genau passender Messingbolzen im Rohr a Bohrstelle geschoben. Dadurch wurde starke Gratbil und Einbeulung verhindert. Durch Nachpolieren mit o mit feinem Schmirgelpapier versehenen Holzbolzen v der letzte Grat leicht entfernt. Probeweise wurde Bohrstelle aufgeschnitten und mit einem Mikroskoj 50facher Vergrößerung nachgemessen. Ein Grat k nicht festgestellt werden.

Vor Anbringung der Ausgleichskammern wurder Bohrungen einzeln auf ihre Güte untersucht. Es w je zwei Anbohrungen über ein Mikromanometer verbu Die Prüfung wurde nun bei größten erreichbaren D flußmengen vorgenommen, um etwaige Fehler mög groß zu bekommen. Falls solche auftraten, wurde das nachpoliert.

Ferner wurden die Druckdifferenzen über zwei strecken l1 und l2 gemessen. Die Druckabfallangaben den nur dann als richtig angesehen, wenn Länge der beiden Meßstrecken gleiche Druckdifferenz messen wurden. Um einen Fehler bei Gleichheit der I differenzen auszugleichen, wurde das Rohr bezüglie Strömungsrichtung umgedreht. Denn mußte bei gl Reynoldssener Zahl dieselbe Druckdifterenz ang Werviel.

Um größere Gemungkeit des zur Auswertung norgen Druckgefälles zu erreichen, wurden stets längere

9

Forschungs Heft 356

% falsch. iderstands-

ı der Vorim ganzen ruck durch genau ge-1 zur Strö-:kabfalls so t waren im durch eine in Verbinkonnte die erden. Der n nächsten Veise wurde



ssen. Sehr ndfrei sind, Erhebungen eine Druck-Druckabfalls Anbohrung festgestellt. ungen fest-,5 mm Dmr. rweitert. Es iten Bereich die Druck-

unbohrungen Rohr an die Gratbildung m mit einem olzen wurde wurde eine kroskop mit Grat konnte

wurden die Es wurden r verbunden. oaren Durcher möglichst rde das Rohr

zwei Meßıngaben wurbei gleicher merenzen geit der Druckeziiglich der bei gleicher angezeigt

ng notwendilängere Meßstrecken genommen, wie aus Zahlentafel 1 ersichtlich ist. Die Länge der Meßstrecken wurde auf 0,2 mm genau bestimmt. Die Druckdifferenzen wurden bis zu 50 cm W.-S. bzw. Qu.-S. mit einem Mikromanometer der beschriebenen Art gemessen. Größere Druckdifferenzen wurden mit einem normalen Quecksilber-U-Manometer von 250 cm Höhe ermittelt.

e) Geschwindigkeitsmessungen

Die Messungen der Geschwindigkeit sind so durchgeführt, daß der Staudruck des Pitotrohres gegen den statischen Druck der Druckanbohrung, welche im Meß-querselmitt lag und 2 mm vom Strahlrand entfernt war, geschaltet wurde, so daß das Manometer direkt den dynamischen Druck anzeigte. Die Geschwindigkeit wurde mit der Formel

$$u = 44.3 \, \text{V} \overline{h} \, \text{cm/s}$$
 (1)

gerechnet, wohei h die gemessene dynamische Druckhöhe in cm W.-S. und u die Geschwindigkeit in cm/s bedeuten.

Diese Formel ist aus der Bernoullischen Gleichung, die man aus der Eulerschen Bewegungsgleichung für reibungslose, nur der Schwere unterworfene Flüssigkeiten durch Integration längs einer Stromlinie erhält, gewonnen. Die Bernoullische Gleichung nimmt dann folgende Form an

triung nimmt dann loigende Form an
$$\frac{p}{\varrho} + \frac{u^2}{2} + H = \text{const}, \tag{2}$$

wo H die Höhe des betrachteten Punktes über einer beliebig gewählten waagerechten Ebene bedeutet.

Durch Multiplikation der Bernoullischen Gleichung mit der Dichte ϱ erhält man die Druckgleichung

$$p + \varrho \frac{u^2}{2} + \varrho H = p_0.$$
 (3)

 $p+\varrho\,\frac{u^2}{2}+\varrho\,H=p_0. \tag{3}$ Sieht man von äußeren Kräften (Schwere) ab (da H in unserem Falle an beiden Sondenöffnungen denselben Wert besitzt), so wird die Druckgleichung

$$p + \varrho \frac{u^2}{2} = p_0. \tag{4}$$

po ist der Wert des größten Druckes, der sich in der Mündung des Pitotrohres einstellt. Er entspricht der Geschwindigkeit Null und heißt Gesamtdruck; p ist der statische Druck. Bezeichnet man $p_0 - p = h\gamma$ (mit $\gamma = \text{Raum}$ gewicht und h = Höhe der Manometersäule), so erhält man aus Gl. (4)

$$\varrho \, \frac{u^2}{2} = h \, \gamma \tag{5}$$

oder mit

$$\varrho = \frac{\gamma}{g}$$

$$u = \sqrt{2 g h} = 44.3 \sqrt{h} \text{ cm/s.}$$

Die Geschwindigkeitsverteilung wurde mit einem Pitotrohr 0,1 bis 0,2 mm hinter dem Austrittsquerschnitt des Versuchsrohres gemessen. Die Zuverlässigkeit der Messung in diesem Abstand hinter dem Austrittsquerselmitt ergibt sich aus Vergleichen mit den Geschwindigkeitsverteilungen, die 2 und 5 mm vor dem Austrittsquerschnitt gemessen wurden (Abb. 11). Eine nachträgliche Messung der Geschwindigkeiten bei verschiedenen Reynoldsschen Zahlen in der Rohrachse beim Austritt und gleichzeitig 20 d vor dem Austritt ergab gleiche Werte. Die Messungen sind deshalb hinter dem Austrittsquerschnitt vorgenommen, um Druckfeldstörungen im Rohr zu vermeiden, vor allem aber auch, weil man nur auf diese Weise die Geschwindigkeiten bis unmittelbar an die Rohrwand heran messen kann.

Da die Kenntnis des statischen Druckes im Meßquerschnitt für die Messung der Geschwindigkeitsverteilung schr wichtig war, wurde diese Vergleichsmessung mit einer Sonde ausgeführt, die an Stelle des Pitotrohres eingebaut war. Um den Einfluß des Pitotrohrhalters auf den statischen Druck tunlichst auszuscheiden, wurde eine Verkleidung ck? (Abb. 5) mit symmetrischem Profil so angebracht. daß die Sonde in der Symmetrieachse des Profiles lag. Die

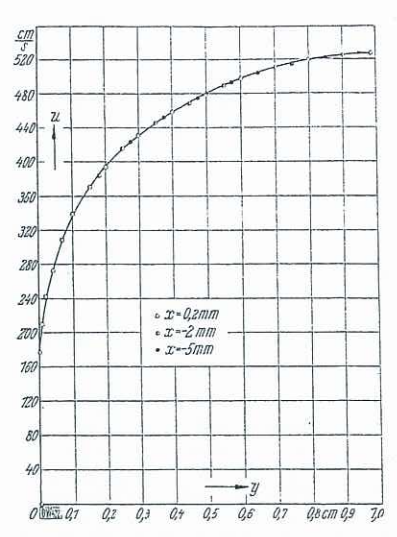


Abb. 11. Die Geschwindigkeitsverteilungen bei x = 0 mm, x = -2 mm und x = -5 mm

seitlichen Anbohrungen der Sonde lagen im Meßquerschnitt. Die Sonde war mit einer Anbohrung der Wand, die ebenfalls im Meßquerschnitt lag, über ein Mikromanometer verbunden. Da ein Druckunterschied im Manometer nicht festzustellen war, kann man den Schluß ziehen, daß der statische Druck auch außerhalb des Strahles gleich groß war. Deshalb ist es berechtigt, den statischen Druck bei Geschwindigkeitsmessungen durch Anbohrungen im Flansch zu messen. Ferner wurde durch Geschwindigkeitsmessungen im Rohr von 5 cm Dmr. und 500 cm ursprünglicher Länge ein solcher Wert $\frac{x}{d}$ (wobei x die Rohrlänge, d der Rohrdurchmesser ist) gesucht, bei dem Unabhängigkeit der Geschwindigkeitsverteilung von der Rohrlänge eintrat. Zu diesem Zwecke wurden die Geschwindigkeitsverteilungen bei der Reynoldsschen Zahl $Re = 900 \cdot 10^3$ und bei

 $\frac{\omega}{d}$ =100, 65 und 40 aufgenommen, was durch Abschneiden des Rohres auf diese Längen geschah. Bei allen diesen Werten wird die Geschwindigkeitsverteilung unabhängig von der Rohrlänge. Da bei den Hauptversuchen die kürzeste Anlaufstrecke $\frac{x}{d} = 50$ war, konnte von weiteren

Untersuchungen Abstand genommen werden. Dieses Ergebnis ist in dimensionsloser Darstellung in Abb. 12 wiedergegeben.

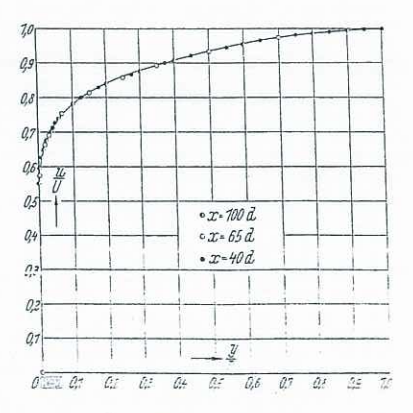


Abb. 12. Die Geschwindigkeitsverteilungen bei x = 100 d, x = 65 d und x = 40 d

Für die Messungen der Geschwindigkeitsverteilung sind Pitotrohre von 0,21 mm und 0,30 mm Innendurchmesser und 30 mm Länge, die aus strömungstechnischen Gründen konisch waren, benutzt. In Abb. 13 ist die Stellung der Pitotrohre am Rande des Versuchsrohres gezeigt. In dieser Stellung entspricht die Angabe des Pitotrohres nicht dem dort herrschenden dynamischen Druck. Das erklärt sich dadurch, daß nur ein Teil der Pitotrohröffnung im Wasserstrahl und der andere außerhalb desselben liegt, so daß das eingeströmte Wasser seitlich wieder ausströmt. Da aber die genaue Kenntnis des dynamischen Druckes auch in der Nähe der Wand von Bedeutung ist, wurde ein Verfahren ungewandt, das die Berechtigung der Geschwindigkeitsmessung in diesem Gebiet möglich macht. Zu diesem

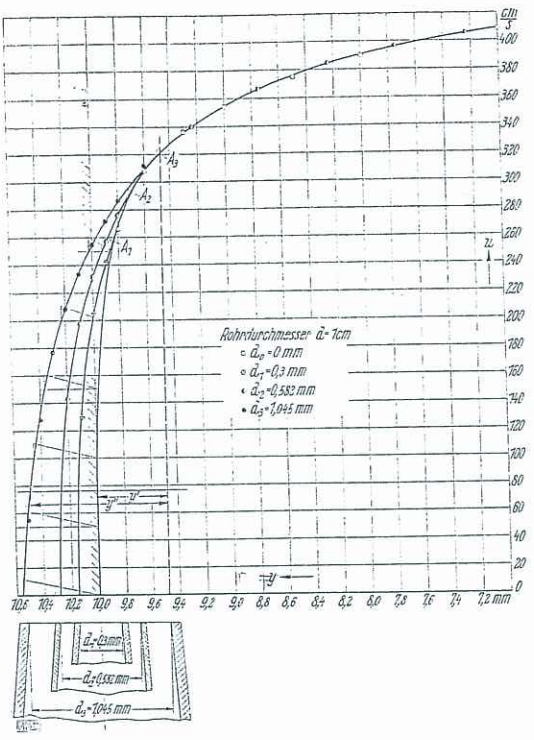


Abb. 13. Reduzierung der Pitotrohröffnung auf Null

Zwecke ist mit drei Pitotrohren verschiedener Innendurchmesser, nämlich 0,3, 0,582 und 1,045 mm bei ein und derselben Reynoldsschen Zahl die Geschwindigkeitsverteilung gemessen. Diese Messungen dienten dazu, durch Extrapolation die Geschwindigkeitsverteilung zu bestimmen, die man mit dem Pitotrohre vom Durchmesser Null gemessen hätte. In Abb. 13 ist der Abstand von der Wand als Abszisse und die Geschwindigkeit als Ordinate aufgetragen. Legt man eine Gerade durch Punkte gleicher Geschwindigkeit (parallel der Abszissenachse) und trägt in den einzelnen Punkten die zugehörigen Innendurchmesser der Pitotrohre als senkrechte Strecken auf, so läßt sich durch die Endpunkte dieser Strecken eine Kurve legen, die durch Extrapolation einen Schnittpunkt mit der Geraden liefert. Dieser ist em Punkt einer neuen Kurve, die der Geschwindigkeitsverreilung entspricht, welche man mit dem Pitotrohr vom Innendurehmesser Null erhalten würde. Liegt die Pitotrohröffnung ganz im Wasserstrahl, so erübrigt sich, wie Abb. 15 zeigt, eine Berichtigung.

Für diese Stellung trifft die geniessene Geschwindigheitskurve mit der theoretischen Eure in Funkt 31 (i=1,2,3) zusammen. Die Entfernung des Punktes 24von der Wand ist also gleich dem Innenhalbmesser re

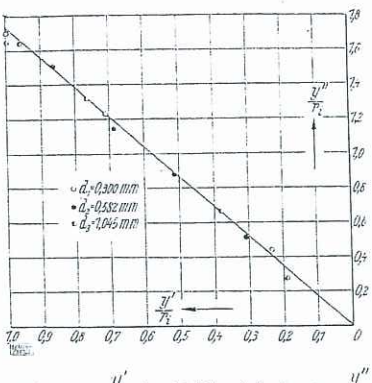


Abb. 14. $\frac{y'}{r_4}$ in Abhängigkeit von $\frac{y'}{r_4}$

(i=1,2,3) der zur Messung benutzten Öffnung des Pitotrohres. Um die Korrektur für beliebige Pitotrohr-Öffnungen zu ermitteln, zieht man durch einen solchen Punkt 44 eine Senkrechte zur Abszissenachse (in der Abb. gestrichelt) und bestimmt die Abstände y' und y'' dieser Geraden von zwei Punkten der theoretischen und der gemessenen Kurve, die gleicher Geschwindigkeit entsprechen.

Auf diese Weise sind für verschiedene Reynoldssche Zahlen Wertepaare ermittelt, die in dimensionsloser Darstellung in Abb. 14 wiedergegeben sind. Hat man eine Geschwindigkeitsverteilung gemessen, und will man dieselbt in der Kähe der Wand auf die Geschwindigkeitsverteilung bringen, die man erhalten würde, wenn man die Pitotrohröffnung Null hätte, so benutzt man diese Abbildung in der Weise, daß man die Geschwindigkeiten, die in dem Abstand y'' liegen, auf den entsprechenden Abstand y' ver schiebt.

Um den prozentualen Fehler der Durchflußmenge fest zustellen, welcher durch Integration der niehtkorrigierter Geschwindigkeitsverteilungen gewonnen wird, wurden in Abb. 15 die gemessenen Geschwindigkeiten, die durch di Messungen mit verschiedenen Pitotrohröffnungen erhalte sind, in Abhängigkeit vom Quadrat des Abstandes von de Rohrachse aufgetragen und durch graphische Integratio die Durchflußmenge berechnet. Die korrigierte Geschwindigkeitsverteilung ist durch die Kurve 1 dieser Abbildum dargestellt. Die Kurven 2, 3 und 4 entsprechen der Geschwindigkeitsverteilung, welche für die Messungen m Pitotrohren von der öffnung d=0.3 mm, 0.582 mm ur

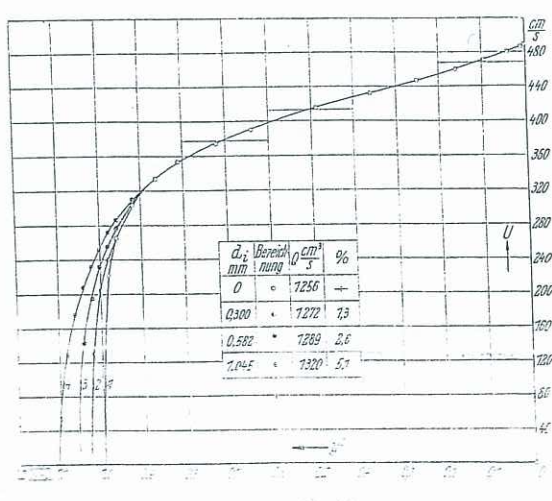
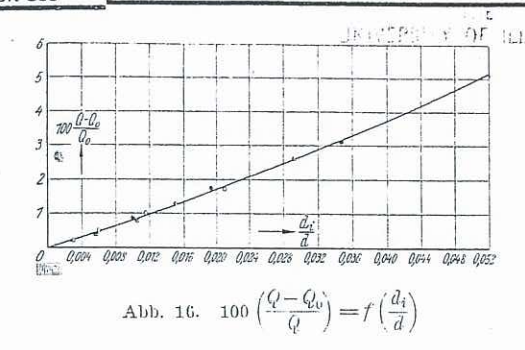


Abb. 15. 100 $(\frac{Q'-Q_0}{Q'}) = 7.65$



1,054 mm ermittelt ist. Die Zahlenzusammenstellung der Abb. 15 zeigt, daß die Durchflußmenge der korrigierten Geschwindigkeitsverteilung $Q_0=1250~{\rm cm}^3/{\rm s}$ beträgt. Außerdem sieht man, daß mit zunehmender Pitotrohröffnung die graphisch ermittelte Durchflußmenge gegenüber der gemessenen Durchflußmenge (die mit der graphisch ermittelten der korrigierten Kurve übereinstimmt) zunimmt. Die in Abb. 15 dargestellten Geschwindigkeitsverteilungen sind in einem Rohr mit dem Durchmesser d=2 cm gemessen. Älmliche Versuche sind in Rohren mit den Durchmessern d=3 cm, d=5 cm und d=10 cm gemacht und die Ergebnisse in Abb. 16 dargestellt. Hier ist als Abszisse die dimensionslose Pitotrohröffnung $\frac{d_i}{d}$, welche durch Division des Durchmessers der Pitotrohrspitze mit dem Rohrdurchmesser gebildet ist, und als Ordinate der prozentuale Fehler der Durchflußmenge 100 $\left(\frac{Q-Q_0}{Q_0}\right)$ aufgetragen. Dieses Diagramm gestattet, bei einem bestimmten Verhältnis $\frac{d_i}{d}$ die auftretenden Feliler anzugeben.

4. Durchführung der Versuche

Die Durchführung der Versuche mit Überlauf war sehr einfach, da für die Unveränderlichkeit der Durchfluß-menge gesorgt war. Wollte man die Messungen der Geschwindigkeitsverteilung vornehmen, so stellte man den Drosselkegel dk (Abb. 5) des Geschwindigkeitsmeßapparates auf eine bestimmte Stellung ein, die der gewünschten Durchflußmenge entsprach (die Abhängigkeit der Durchflüßmenge von der Drosselstellung des Geschwindigkeitsmeßapparates war durch Vorversuche bekannt). Dann ließ man durch die Wasserleitung soviel Wasser in den Wasserkessel, daß durch den Überlauf nur ganz wenig

Wasser abfloß. War das Mikromanometer I, welches für die Druckabfallmessungen, und das Mikromano-meter 11, das für die Geschwindigkeitsmessungen diente, auf die Richtigkeit ihrer Anzeige geprüft, so stellte man durch die Geschwindigkeitsmessungen die Rohrachse fest, die bei den eigentlichen Messungen als Bezugspunkt galt. Dann wurden die Messungen begonnen, die darin bestanden, daß man neben den Geschwindigkeitsmessungen die Messungen des Druckabfalls, der Temperatur und der Durchflußmenge vornahm.

Die Versuche bei Kreislauf des Wassers waren insofern schwieriger, als Stromschwankungen im elektrischen Netz Änderung der Drehzahl des Antriebsmotors und damit Änderungen der Durchflußmenge im Versuchsrohr verursachten. Deshalb war es erforderlich, den Druckabfall durch die Feinregulierung des Drosselkegels dk auf gleichem Stand zu halten.

Die Durchführung der Messungen bei den Stoßversuchen erfolgte so, daß man zunächst die Verbindung zwischen Wasserkessel wk (Abb. 1) und dem Druckluftkessel dk unterbrach und dann die Druckluft, welche sich vom vorhergehenden Versuch im Wasserkessel befand, durch das Sicherheitsventil ksv des Wasserkessels entweichen ließ. Während man mittels eines Kompressors die Druckluft im Druckluftkessel alt bei allen Messungen auf etwa 10 at brachte, wurde die Verbindung zwischen der Kreiselpumpe kp und dem Wasserkessel wk hergestellt und dieser dann bis zu einer bestimmten Höhe mit Wasser gefüllt. Inzwischen wurde der Austrittsquerschnitt des Versuchsrohres mit Ölpapier abgedichtet, welches sich zwischen dem Flansch des Versuchsrohres und einem zum Rohrquerschnitt passenden Ringflansch befand, und nun mit Hilfe einer Umleitung am Schnellschlußhalm sh das Zuleitungsrohr zr und das Versuchsrohr vr mit Wasser gefüllt. Die im Zuleitungsrohr befindliche Luft konnte durch das geöffnete Schnüffelventil sv entweichen. wurde noch die Verbindung zwischen dem Druckluftkessel dk und dem Wasserkessel wk über den Arca-Regler hergestellt, der vorher auf einen bestimmten Druck eingestellt war. Damit war die Vorbereitung beendet und der eigentliche Versuch konnte beginnen. Auf ein Zeichen des Manometerbeobachters wurde der Schnellschlußhahn sh geöffnet; das Ölpapier wurde vom Wasserdruck zerrissen. Nach eingetretenem Beharrungszustand der Strömung stellte der Beobachter die Grenze der Manometerausschläge mittels der Läufer fest, die am Schenkel des Manometers leicht verschiebbar waren (Abb. 3). Der Schnellschlußhahn blieb geöffnet, bis der Wasserspiegel im Wasserkessel auf etwa 40 bis 50 cm über den Austrittsquerschnitt gesunken war. Dann wurden die Manometer ab-Nun konnte mit den Vorbereitungen für den nächsten Versuch begonnen werden.

II. Auswertung der Versuche

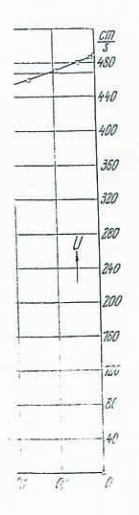
1. Geschwindigkeitsverteilung

Die Geschwindigkeitsverteilungen sind in Rohren von d=1 cm, 2 cm, 3 cm, 5 cm und 10 cm Dmr. von kleinen Reynoldsschen Zahlen $Re=4\cdot 10^3$ his zur größten von uns untersuchten Reynoldsschen Zahl $Re=3240\cdot 10^8$ gemessen. Wie aus den weiteren Auswertungen der Geschwindigkeitsverteilung zu erschen sem wird, ist die genauere Kenntnis der Geschwindigkeitsverteilung wichtig nicht nur in der Nähe der Wand, wo ein starkes Geschwindigkeitsgefälle vorhanden ist, sondern auch in der Nähe der Rohrmitte, wo ein geringes Geschwindigkeitsgefälle herrscht. Deshalb sind die Meßpunkte in der Nähe der Wand und in der Nähe der Rohrmitte besonderdicht gewählt worden (die Geschwindigkeitsverreilung

Rohrhalbmesser enthält im allgemeinen den 18 McBpunkte). Die Geschwindigkeitsverteilung symmetrisch und zeigte für einen bestimmten Abstand von beiden Seiten der Rohrachse entweder keine oder nur geringe Unterschiede. Es sind etwa 150 Geschwindigkeitsprofile gemessen worden, von denen aber für die vollständigen Auswertungen nur 16 Profile benutzt worden sind. Wegen der völligen Symmetrie der Gesehwindigkeitsprofile ist für die Auswertung immer nur eine Hälfte des Profils benutzt worden. Die Zahlenwerte dieser 16 Geschwindigkeitsverteilungen über den Rohrhalbmesser sind in Zahlentatel 2 zusummengestellt. die Geschwindigkeitsverteinungen bei möglichst kleinen Reynoldssehen Zahlen au ermittein, ist der Einlauf de-Rohres von 10 mm Dmr. mit einer Platte, die eine Öffnung

ig des Pitotrolır-Öffnunm Punkt At er Abb. geid y" dieser ind der geentsprechen. Reynoldssche nsloser Darnan eine Genan dieselbe itsverteilung ie Pitotrohrldung in der in dem Abstand y' ver-

Bmenge festıtkorrigierten wurden in lie durch die igen erhalten ndes von der 3 Integration te Geschwiner Abbildung chen der Geessungen mit .582 mm und



Zahlentafel 2

u in Abhängigkeit von y

-				74 11 T	Annangig	gken von	y I				
$\frac{d_p}{d_x} \frac{\mathrm{dyn}}{\mathrm{cm}^2}$	0,0595	0,1210	0,245	0,723	1,255	_	0,365	_	0,495		0,247
ū cm/s	54,5	81,8	123,5	225,5	315	-	258,2	-	400	_	394
n cm²/s	0,0135	0,0135	0,0135	0,0135	0,0135	-	0,0119	- 1	0,0114		0,0096
10-5 Re	4,0	6,1	9,2	16,7	23,3	-	43,4	_	105		205
y cm	u cm/s	u cm/s	u cm/s	u cm/s	u cm/s	y cm	u cm/s	y em	u cm:s	y em	u cm/s
0,000	20,2	35,0	47,0	112,0	117,0	0,00	102,0	0,00	204,0	0,00	178,0
0,005	28,0	46,0	72,0	140,0	174,0	0,01	155,0	0,015	258,0	0,025	258,0
0,010	35,0	53,0	81,5	163,0	214,0	0,02	183,0	0,030	280,0	0,050	284,0
0,020	39,8	60,2	92,0	179,0	242,0	0,04	203,0	0,060	113,0	0,100	312,0
0,035	44.4	67,2	102,0	193,0	263,0	0,07	220,0	0,105	339,0	0,175	335,0
0,050	47,0	71,2	108,0	202,5	277,0	0,10	230,0	0,150	356,0	0,250	352,0
0,075	50,2	76,1	116,0	214,5	294,0	0,15	242,5	0,225	375,0	0,375	371,0
0,10	52,7	79,7	121,0	223,0	306,0	0,20	252,0	0,30	390,0	0,500	387,0
0,15	56,6	85,2	128,5	236,5	326,0	0,30	267,0	0,45	415,0	0,750	407,0
0,20	59,5	89,2	134,5	247,0	341,0	0,40	278,5	0,60	433,0	1,00	422,0
0,25	61,7	92,5	139,0	255,0	353,0	0,50	287,0	0,75	446,0	1,25	434,0
0,30	63,5	95,0	142,5	261,5	362,0	0,60	294,5	0,90	458,0	1,50	444,0
0,35	65,0	97,3	1:6,0	267,0	370,0	0,70	300,0	1,05	466,0	1,75	453,0
0,40	66,4	99,2	148,5	271,6	376,0	0,80	304,5	1,20	473,0	2,00	459,0
0,45	67,4	100,7	151,0	275,5	381,0	0,90	308,7	1,35	479,0	2,25	464,5
0,48	67.9	101,4	152,0	277,2	382,7	0,96	309,6	1,44	481,0	2,40	467,0
0,49	68,0	101,7	152,3	277,5	383,1	0,98	310,0	1,47	481,5	2,45	467,5
0,50	68,1	101,8	152,5	278,0	383.5	1.00	310,5	1,50	482,0	2,50	468,0
$\frac{d_p}{d_x} \frac{\text{dyn}}{\text{cm}^3}$	0,755	_	0,48	0,91	1,59	2,45	1,90	2,262	2,82		
ū cm/s	732	_	875	1245	1690	2150	1928	2145	2430		
η cm²/s	0,00925		0,0121	0,01125	0,011	0,011	0,0082	0,0077	0,0075		
10-3 Re	396		725	1110	1536	1959	2350	2790	3240		
y cm	u cm/s	y cm	u cm/s	u cm/s	u cm/s	u cm/s	u cm/s	u em/s	u cm/s		
0,00	360	0.000	505	705	950	1310	1310	1423	1510		
0,025	490	0,05	617	847	1160	1598	1426	1578	1794		
0,05	546	0,10	654	918	1260	1685	1496	1666	1890	u = ie	weilige G
0,10	597	0,20	717	1026	1380	1805	1604	1758	2026		hwindigke
0,175	632	0,35	765	1084	1480	1896	1700	1890	2142	y = A	stand vo
0,250	660	0,50	794	1133	1549	1966	1772	1967	2230	1	r Wand;
0,375	690	0,75	833	1190	1613	2050	1845	2060	2326		ynoldsscl
0,500	714	1,00	859	1229	1668	2110	1900	2122	2396	1	ihl;
0,75	751	1,5	899	1284	174.4	2204	1980	2212	2492		ittlere Ge hwindigk
1,00	778	2,0	929	1325	1799	2270	2040	2272	2566	and the	ohrdurch-
1,25	799	2,5	954	1359	1840	2325	2088	2322	2622	20 40.50	esser;
1,50	816	3,0	973	1386	1876	2370	2128	2362	2670	1332	inematiscl
1,75	831	3,5	988	1407	1902	2410	2156	2392	2706		ähigkeit.
2,00	842	4,00	1000	1424	1925	2437	2181	2418	2736		
2,25	85.1	4,5	1010	1436	1940	2456	2198	2436	2755	T.	
2,40	854	4,8	1014	1441	1946	2463	2202	24:45	2762		
2,45	855	4,9	1015	1442	1948	2465	2203	2448	2764		
							2204	2449	2766		

von 6 mm Dmr. besaß, zentrisch abgedeckt. Die Platte bewirkte im Einlauf starke Wirbelung, so daß bei einer Reynoldsschen Zahl $Re=4\cdot 10^8$ die turbulente Strömung bereits voll ausgebildet war. Mit dieser Anordnung sind nur die drei kleinsten Reynoldsschen Zahlen gemessen worden.

Um die Änderung der Form der Geschwindigkeitsverteilungen in Abhängigkeit von der Reynoldsschen Zunl zu verfolgen, sind die Geschwindigkeitsverteilungen in der

Weise dimensionslos gemacht, daß man die jeweiligen sehwindigkeiten auf die maximalen Geschwindigkeiten die entsprechenden Wandabstünde auf den Rohrhalbme bezogen hat. So erhielten wir die Beziehung

$$\frac{n}{T} = f\left(\frac{p}{r}\right)$$

die in Abb. 17 für seens Profile dargestellt ist, und z von den Reynoldsschen Zahlen $Re=4\cdot 10^3$ bis 3240 ·

	30			
0,247	0,9			
394	qs			
0,0096	9/1/			
205	Q7			
u em/s				
178,0	95			
258,0	¥ ₩/		c Re= 4-103	
284,0	W		• 4 = 233-103	
312,0	Q5 <u>U</u>		c = 705 · 103	
335,0	\$ U		e - 1710 - 103	
352,0	94		The second second second	
371,0	4		6 = 2350 - 103	
387,0	Q3		6 = 3240 · 10 ³	
407,0	Q38			
422,0	Î			
434,0	2			
444,0	9.2			
453,0				
459,0	Q1			
464,5	9'			
467,0	3			
467,5	0	20 00		
468,0	0 1000 0,7	0,2 0,3	Q4 Q5 Q6	0,7 0,8

Abb. 17. $\frac{u}{H}$ in Abhängigkeit von y/r

weilige Genwindigkeit; stand von r Wand; ynoldssche hl; ttlere Gehwindigkeit; hrdurchsser; nematische higkeit.

weiligen Gelighteiten und hrhalbmesser

(6)

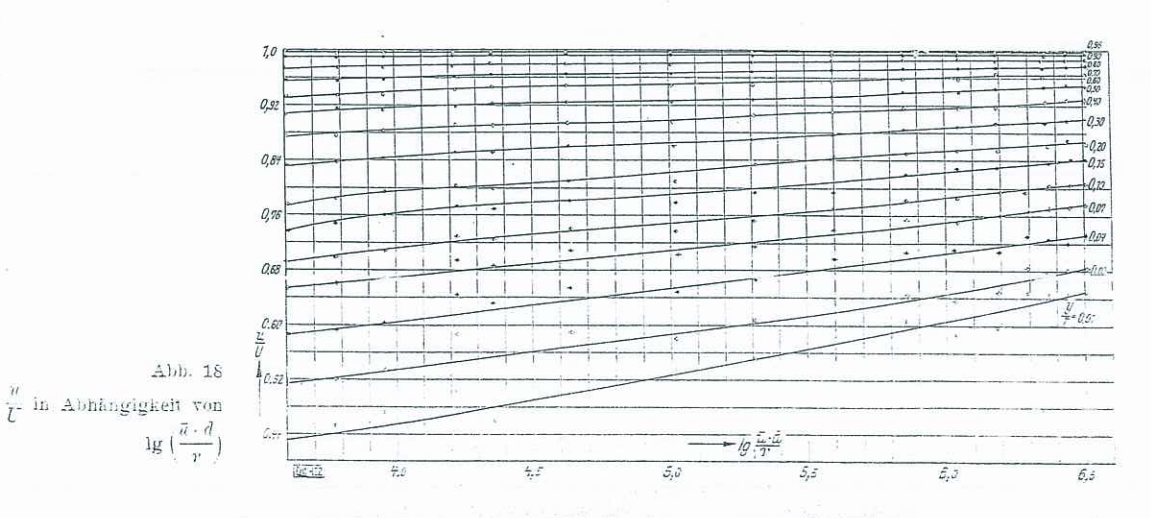
st. und zwar nis 3240 · 103. Diese Darstellung zeigt sehr deutlich, daß mit steigenden Reynoldsschen Zahlen die Form der Geschwindigkeitsverteilung immer voller wird. Diese Tatsache führt zu der Annahme, daß bei unendlich großen Reynoldsschen Zahlen die durch die Reibung beeinflußte Schicht verschwindend klein wird. In Abb. 18 sind die Geschwindigkeitsverteilungen so dargestellt, daß man als Ordinate $\frac{u}{U}$, als Abszisse lg $\left(\frac{\overline{u}}{r}\right)$ und als Parameter den dimensionslosen Wandabstand y/r gewählt hat. Die zu einem bestimmten Wandabstand y/r gehörigen Geschwindigkeiten $\frac{u}{\overline{U}}$ sind durch eine Kurve miteinander verbunden, an welche der zugehörige y/r-Wert angeschrieben ist. Dieses Diagramm zeigt, daß für die in der Nähe der Wand liegenden Geschwindigkeiten eine merkliche Streuung auftritt. Will

man eine dimensionslose Geschwindigkeitsverteilung innerhalb des gemessenen Bereiches haben, so liest man über der entsprechenden Reynoldsschen Zahl auf der Kurve für $\frac{u}{U}$ Werte in Abhängigkeit von y/r ab und erhält die gewünschte Geschwindigkeitsverteilung. Um zu prüfen, wie weit die von um gemessenen mit den von auderen Forschern ermittelten Geschwindigkeitsverteilungen übereinstimmen, sei folgender Vergleich angestellt.

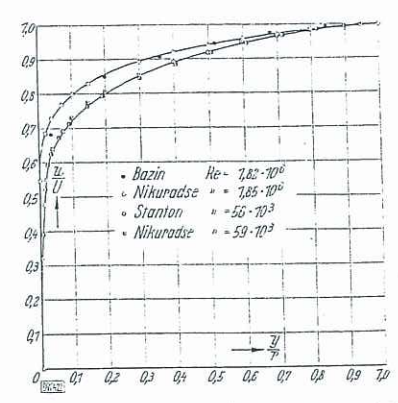
Die bisher zuverlässigste Messung der Geschwindigkeitsverteilung in einem kreisförmigen Rohr ist die von T. E. Stanton 16), weil er erstens die Messungen mit einem sehr feinen Pitotrohr von 0,33 mm Dmr. vorgenommen hat und zweitens eine genügend lange geradlinige Anlaufstrecke x = 72 d (x = Rohrlänge, d = Rohrdmr. = 7,4 cm)hatte, so daß die Messungen in dem Bereich lagen, in welchem sich die Geschwindigkeitsverteilung nicht mehr ändert. Ein Vergleich unserer Meßergebnisse mit denen von Stanton erschien um so notwendiger, da Stanton die Geschwindigkeitsverteilungen im Versuchsrohr kurz vor dem Austrittsende (2 bis 3 d) gemessen hat, während unser Meßquerschnitt 0,1 bis 0,2 mm hinter dem Austrittsende (2 bis 3 d) trittsende lag. Zu diesem Zweck sind die Geschwindigkeitsverteilungen, die annähernd zu den gleichen Reynolds-schen Zahlen gehören, in der Weise aufgetragen, daß man das Verhältnis der örtlichen Geschwindigkeiten u zur maximalen Geschwindigkeit U als Funktion des dimensionslosen Wandabstandes y/r (y = Abstand von der Wand, r = Rohrhalbmesser) genommen hat. Die Stantonschen Messungen sind vorgenommen bei den Reynoldsschen Zahlen $Re = 37,6 \cdot 10^3$, $56 \cdot 10^3$ und $89,3 \cdot 10^3$. Unsere Messungen ergeben bei ungefähr denselben Reynoldsschen Zahlen eine gute Übereinstimmung mit der Geschwindigkeitsverteilung von Stanton. Abb. 19 zeigt den Vergleich der Geschwindigkeitsverteilung von Stanton ($Re = 56 \cdot 10^3$) mit unserer ($Re = 59 \cdot 10^3$). Dazu ist noch folgendes zu bemerken: Die Angaben über die mittlere Geschwindigkeit ū und die kinematische Zähigkeit v fehlen bei Stanton. - Wir haben deshalb die mittlere Geschwindigkeit $\bar{u}=1235~\mathrm{cm/s}$ aus der Durchflußmenge, die durch Integration der Geschwindigkeitsverteilung ermittelt ist, bestimmt. Da die Messungen von Stanton mit Luft durchgeführt sind, bei der die Änderung der kinematischen Zähigkeit mit der Temperatur sehr gering ist, haben wir die kinematische Zähigkeit bei einer mittleren Laboratoriumstemperatur von 18°C angenommen.

Für sehr große Reynoldssche Zahlen erschien es uns zweckmäßig, die von Bazin $^{17})$ gemessenen Geschwindig-

¹⁷⁾ M. Bazin: Expériences nouvelles sur la distribution des vitesses dans les tuyaux. Mémoires présentés par divers savants à l'Académie des Sciences de l'Institut de France, Bd. 32 (1902) Nr. 16.



¹⁶⁾ T. E. Stanton, vgl. Fußnote 11, S. 2.



Abr. 19. Vergleich der Geschwindigkeitsverteilungen von Stanton, Bazin und Nikuradse

keitsverteilungen zum Vergleich heranzuziehen. Die Anlaufstrecke bei Bazin betrug etwa x = 75 d (d = 80 cm). Angaben über die Temperatur und die mittlere Geschwindigkeit findet man auch bei ihm nicht. Deshalb ist von uns die mittlere Geschwindigkeit $\bar{u}=164.9~\mathrm{cm/s}$ durch Integration der Geschwindigkeitsverteilung ermittelt worden. Bazins Messungen sind im Freien mit Wasser durchgeführt, wo Temperaturschwankungen von 10° bis 20° auftraten. In diesem Temperaturbereich ist zwar die kinematische Zähigkeit von der Temperatur sehr stark abhängig, andererseits aber ist die Änderung der Geschwindigkeitsverteilung mit der Reynoldsschen Zahl bei so großen Reynoldsschen Zahlen, wie sie hier vorliegen, sehr gering. Aus diesen Gründen haben wir die kinematische Zähigkeit bei 15°C zugrunde gelegt ($v = 0.0113 \text{ cm}^2/\text{s}$).

Den Vergleich der Geschwindigkeitsverteilung von Bazin mit der von uns zeigt ebenfalls die Abb. 19. gesehen von den letzten von Bazin gemessenen, in Wandnähe liegenden Punkten, herrscht eine gute Übereinstimmung der Geschwindigkeitsverteilungen bei ungefähr denselben Reynoldsschen Zahlen.

2. Potenzgesetz

Prandtl 18) hat aus dem Blasiusschen Widerstandsgesetz geschlossen, daß sich die Geschwindigkeit u in der Nähe der Wand einer turbulenten Strömung mit der 1/7 Potenz des Abstandes von der Wand ändert, d. h.

$$u = a y^{1/\tau}, (7$$

wobei a für ein und dasselbe Geschwindigkeitsprofil eine Konstante ist. Die Rechnung kann wie folgt geführt werden. In der Formel für die Widerstandszahl

$$\lambda = \frac{d p}{d x} \cdot \frac{2 d}{\rho \bar{u}^2} \tag{8}$$

seizt man statt des Druckgefälles $\frac{d\,p}{d\,x}$ die Schubspannung an der Wand τ_0 . Die Gleichgewichtsbedingung für einen Flüssigkeitszylinder mit dem Halbmesser r und der Länge dx liefert

$$\frac{d p}{d x} = \frac{2 \tau_0}{r} \tag{9}$$

 $\frac{d\,p}{d\,x} = \frac{2\,\tau_0}{r} \qquad \qquad (9)$ nlsc $\lambda = \frac{2\,\tau_0}{r} \cdot \frac{2\,d}{\varrho\,\vec{n}^2} \cdot \qquad (8u)$ Daraus folgt $\frac{\tau_0}{\varrho} = \frac{\lambda\,\vec{n}^2}{8} \cdot \quad \text{Führt mon für die Widerstandszahl λ den $Blaslasschen Wort $\lambda_b = 0.316 $Re^{-1/4}$ ein, so$

erhält man
$$\frac{\tau_0}{\varrho} = \text{Zahl} \cdot \bar{u}^2 \left(\frac{\bar{u} \cdot 2 \, r}{r} \right)^{-1_{is}} \tag{10}$$

 $\frac{\tau_0}{\varrho} = \operatorname{Zahl} \cdot \bar{u}^{7/4} \, r^{-1/4} \, r^{1/4}$ (10)oder

Die Auflösung dieser Gleichung nach ü ergibt

$$\tilde{u} = \text{Zahl}\left(\frac{\tau_0}{u}\right)^{\epsilon_{17}} \left(\frac{r}{r}\right)^{1/\epsilon},$$
 (1)

Nach der Prandtlschen Hypothese soll weder der Roh radius noch die Geschwindigkeit in der Mitte in eine umnittelbaren Verhältnis zur Wandreibung stehen, so dern diese soll in erster Linie durch die Geschwindigkeit verteilung in der Nähe der Wand bestimmt sein.

Wenn das Verhältnis $\frac{\bar{u}}{U}$ von mittlerer Geschwindigke maximaler als fest angenommen wird, so folgt a Gl. (11) auch

 $U = Z \operatorname{ahl} \left(\frac{\tau_0}{\rho} \right)^{4/\tau} \left(\frac{r}{r} \right)^{1/\tau}.$

Diese Beziehung kann in eine von der verlangten Art un geschrieben werden, wenn man y für r und entspreche: die y zugeordnete Geschwindigkeit u für U setzt

$$u = Z \operatorname{ahl} \left(\frac{\tau_0}{\varrho} \right)^{4/\tau} \left(\frac{y}{r} \right)^{4/\tau}$$

Da die Geschwindigkeitsverteilung bei einem festen We von $\frac{\tau_0}{\varrho}$ und $r = \frac{\mu}{\varrho}$ gemessen ist, erhält man aus Gl. (1

$$u = \text{const } y^{1/\tau}$$
oder
$$u = u y^{1/\tau}.$$

Wie nachträglich leicht nachgeprüft werden kann, ist der Geschwindigkeitsverteilung nach (13) auch Gl. (1 d. h. das Blasiussche Gesetz erfüllt. Dieses Widerstan gesetz

 $\lambda_B = \frac{0,316}{\sqrt[4]{Re}},$

nach welchem also die Widerstandszahl umgekehrt portional der 4. Wurzel aus der Reynoldsschen Zahl gilt bis zur Reynoldsschen Zahl $Re = 100 \cdot 10^3$. Da der Ableitung des 1/7-Potenzgesetzes dieses Blasiuss Widerstandsgesetz zugrunde gelegt wurde, kann man ni erwarten, daß dieses Potenzgesetz auch noch für höl Reynoldssche Zahlen Gültigkeit hat. Im Gültigke bereich des Blusiusschen Widerstandsgesetzes ist die 1 gung der logarithmischen \(\lambda - \text{Kurve gleich } \frac{1}{4}.\) Für höl Reynoldssche Zahlen wird diese Neigung kleiner nimmt in dem von uns untersuchten Bereich bis auf ¹/₆ ab. Nimmt man z. B. λ proportional $Re^{-1/t}$, so er die Rechemmethode wie oben $u = u y^{1/9}$. Das bedeu and recommended when open $u=u\,y^{-r}$. Das bedet daß der Exponent $n=^1/7$ mit steigender Reynoldsse Zahl auf $^1/8$. $^1/9$ usw. abnimmt. Bei der Reynoldsse Zahl $Re=3240\cdot 10^3$ hat man etwa den Exponenten $n=^1/10$. Die Änderung des Exponenten wachsender Reynoldsseher Zahl wird dabei im schwächer Nationlich ist ein valle. schwächer. Natürlich ist ein solches Potenzgesetz mit änderlichem Exponenten nur als eine Näherungsforme betrachten. Auch im Blasiusschen Bereich erweist sich ¹/₇-Gesetz, wie die Ermittlungen erweisen werden, als eine Näherung. Schreibt man das Potenzgeset der Form u = a i/n

und trägt den lg der gemessenen Geschwindigkei Abhängigkeit vom ig des Wandabstandes auf, so hält man aus der Neigung der Kurve die n-Wette Abh. 20 ist der Exponent 1'n der Geschwindigkeit in hängigkeit vom Wandabstand für verschiedene Reyn sche Zahlen aufgetragen. Man sieht dan im Bereier kleinsten Revnoldsschen Zahlen der Exponent den '1 r = 0 er eine $Re = 4 \cdot 10^6$ hat. Von etwa Re = 10 his $100 \cdot 10^6$, wo die Biasaussene Widerstandsformer

¹⁸ January L. Char on Telephony receptable defined at Lur-Legeonisse for Accodynanischen Versnenshield certifiger til Lu-ferung 1927, S. 1. — Th. v. Karman: Vice ministre the terrorisal Relbung, Z. angew. Math. Mech., Br. 1, 1927 (S. 206).

(10)

(10a)

bt

er der Rohritte in einem stehen, son-:hwindigkeitsein.

schwindigkeit so folgt aus

(12)

gten Art umentsprechend tzt

(13)

festen Wert aus Gl. (13)

(14)

kann, ist bei ach Gl. (11), Widerstands-

igekehrt prothen Zahl ist, 103. Da bei s Blasiussche nn man nicht sh für höhere Gültigkeitss ist die Nei-Für höhere kleiner und i bis auf fast ?-1/5, so ergibt Das bedeutet, Reynoldsscher ler Reynoldsa den Expoponenten mit dabei immer esetz mit verangsformel zu weist sich das werden, nur

windigkeit in auî, so er-n-Werte. In ligkeit in Abene Reynoldsn Bereich der em den Wert $Re = 1.0 \cdot 10^{8}$ dsformel gilt,

otenzgesetz in

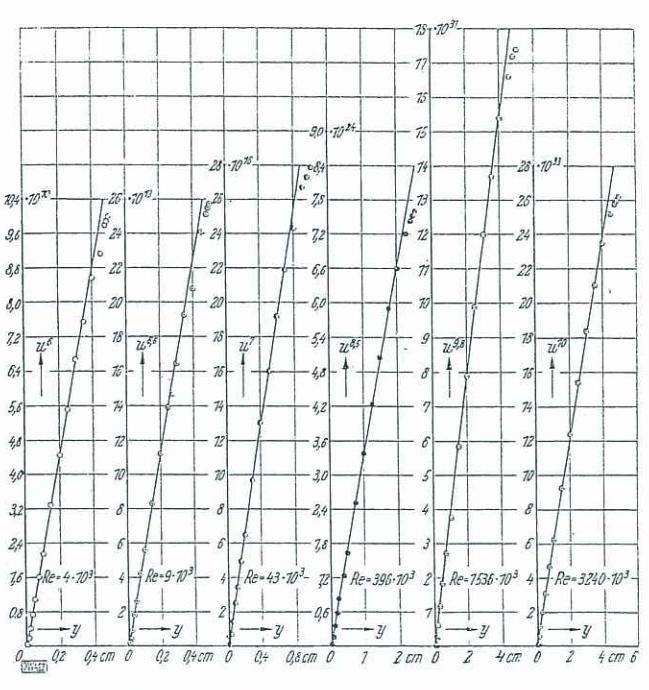


Abb. 20. 1/n-Potenz der Geschwindigkeit in Abhängigkeit vom Wandabstand

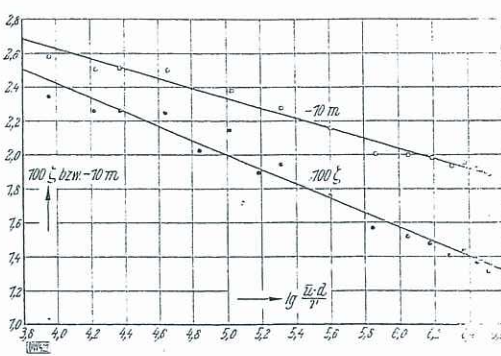


Abb. 21. 100 5 bzw. 10 m in Abhängigkeit von $\lg \left(\frac{\bar{u} \cdot d}{r} \right)$

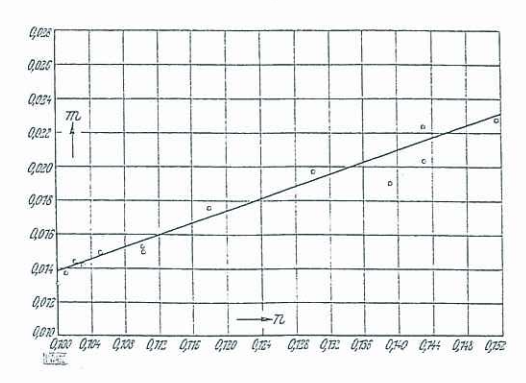


Abb. 22. m in Abhängigkeit von n

hat man 1/n = 7, und bei der Reynoldsschen Zahl $Re = 3240 \cdot 10^3$ steigt der Exponent auf 1/n = 10.

Wenn man von der Annahme ausgeht, daß zwischen Schubspannung an der Wand 70, Abstand von der Wand y und Geschwindigkeit u eine eindentige Beziehung besteht, so kann man, wie aus der Gl. (9) folgt, die Beziehung er-

$$\frac{\tau_0}{\varrho u^2} = f\left(\frac{u \cdot y}{v}\right). \tag{16}$$

Die Größe $\frac{u \cdot y}{y}$ ist eine Art Reynoldssche Zahl, die der Wandentfernung y zugeordnet ist. Drückt man die Geschwindigkeitsverteilung in der Form des Prandtlschen Potenzgesetzes aus, so erhält man die Beziehung

$$\frac{\tau_0}{\alpha u^2} = \zeta \left(\frac{u \cdot y}{v} \right)^m, \tag{17}$$

 $\frac{\tau_0}{\varrho \, u^2} = \zeta \left(\frac{u \cdot y}{r}\right)^m, \tag{17}$ wobei ζ eine dimensionslose Zahl ist, die aus der gemessenen Geschwindigkeitsverteilung im Zusammenhang mit der zugehörigen Wandschubspannung ermittelt werden kann. Dabei ist $m = \frac{2 n}{1+n}$. Wenn man Gl. (17) logarithmiert, so erhält man

$$\lg\left(\frac{\tau_0}{nu^2}\right) = \lg\zeta + m\lg\left(\frac{u \cdot y}{u}\right). \tag{18}$$

 $\lg\left(\frac{\tau_0}{\varrho n^2}\right) = \lg \zeta + m \lg\left(\frac{u \cdot y}{r}\right). \tag{18}$ Wenn man aus der gemessenen Geschwindigkeitsverteilung die Größe lg $\left(\frac{\tau_0}{\sigma u^2}\right)$ ermittelt und in Abhängigkeit von lg $\left(\frac{u \cdot y}{v}\right)$ aufträgt, so läßt sich die dimensionslose Konstante ; aus der Ordinate an der Stelle ig $\left(\frac{u \cdot p}{r}\right) = 0$ abiesen, sobald man die erhaltenen Punkte durch eine Gerade verbunden hat. Die Konstante m, die als Exponent des dimensionslosen Wandabstandes (Gl. (15) auftritt und dem Exponenten 1/4 im Blasiusschen Widerstandsgesetz entspricht, kann aus unseren Versuchen ermittelt werden. Durch Auflösung der Gl. (18) nach m erhält man

$$m = \frac{\lg\left(\frac{\tau_0}{\varrho \, n^2}\right) - \lg \, \zeta}{\lg\left(\frac{n \cdot y}{r}\right)} \,. \tag{19}$$

Die aus den Versuchen ermittelten Konstanten ζ und der Exponent m sind in Abb. 21 in Abhängigkeit von $\lg \left(\frac{\bar{u}}{r}\right)$ aufgetragen. In Abb. 22 ist m in Abhängigkeit vom Exponenten n aufgetragen.

3. Universale Geschwindigkeitsverteilung

In einer neueren Fassung seiner Ideen legt Prandtl keinerlei Potenzformel mehr zugrunde, sondern geht nur davon aus, daß die Geschwindigkeit in Wandnähe nur von den physikalischen Größen, die in der Nähe der Wand gelten ($au_0 =$ Schubspannung an der Wand, $\mu =$ Zähigkeitskonstante und ϱ = Dichte), abhängt, während sie unabhängig ist vom Abstand der gegenüberliegenden Wand und von der mittleren oder maximalen Geschwindigkeit. Nun bilden wir nach Prandtl ¹⁹) aus der Schubspannung an der Wand to und der Dichte e eine den Reibungszustand kempzeichnende Größe, die die Dimension der Ge-

schwindigkeit hat $r_0 = \int_{-\pi}^{\tau_0}$. Mit dieser Größe läßt siel

¹⁹ I. Franck. Ober der Referingswiderstand strumenter Luft Ingelin i Aeron in von austraf in erdnung 711 Lief. 1927 S. J. — Zir. ungamenten Stromung in Romen ma lang France. Ergebn. d. Aerodyn. Versuchsanstan zu Götungen. IV. Lief. 1932, S. 16

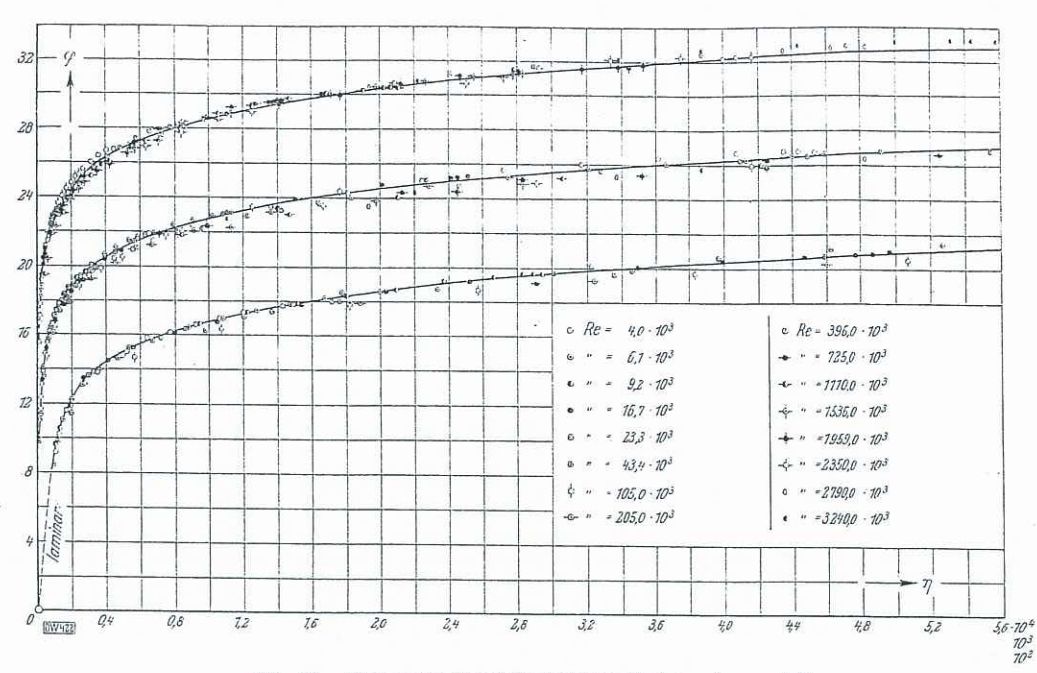


Abb. 23. Universale Geschwindigkeitsverteilung $(q = q [\eta])$

eine "dimensionslose Geschwindigkeit" bilden, indem man die jeweilige Geschwindigkeit u durch v_{*} dividiert: $\varphi=rac{u}{v_{*}}$. Gleicherweise bilden wir aus dem Abstand von der Wand y, der Geschwindigkeit v_{*} und der kinematischen Zähigkeit $v = \frac{\mu}{\varrho}$ nach Art der Reynoldsschen Zahl einen "dimensionslosen Wandabstand" $\eta = \frac{v_{ij}y}{r}$. So erhalten wir in Wandnähe eine universale Geschwindigkeitsverteilung $\varphi = \varphi\left(\eta\right)^{20}$). Diese Abhängigkeit ist in Abb. 23

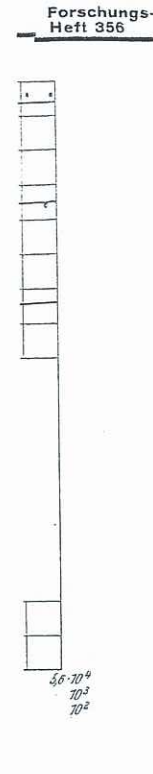
20) Über diese Beziehung hat der Verf, bereits im Sommer 1920 im Kolloquium für angewandte Mechanik in Göttingen vorgetragen.

dargestellt (Zahlentafel 3). In dieser Abbildung dimensionslose Geschwindigkeiten für eine Reihe noldsscher Zahlen nämlich von der kleinsten 4·10 zur größten 3240·10³ dargestellt. Wegen des gr Abszissenbereiches $\eta = \frac{v_* y}{r}$ sind drei verschiedene I stäbe benutzt. Die eingezeichneten Punkte sind Meße

Die universale Geschwindigkeitsverteilung tritt besser zutage, wenn statt η die Größe lg η als Absziss nutzt wird, Abb. 24. Es fällt dabei auf, daß die Vers punkte innerhalb gewisser Streuungsgrenzen auf Geraden liegen. Bei näherer Betrachtung sieht man,

 $\varphi = \frac{u}{v_{*}} = \text{dimensionslose Geschwindigkeit; } v = \text{jeweilige Geschwindigkeit; } v_{*} = \sqrt{\frac{\tau_{o}}{\varrho}} = \text{Schubspannungsgeschwindigkeit; } v_{*} = \sqrt{\frac{\tau_{o}}{\varrho}} = \sqrt{\frac$

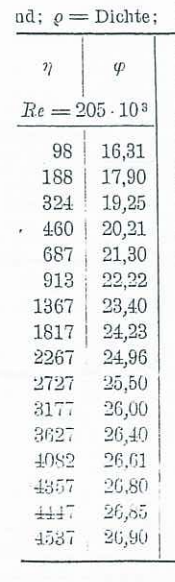
	η	φ	η	g	η	d.	η	φ	η	q	η	q	η_{j}	φ	η
205	Rc = 2	05 · 10 ⁸	Re = 1	3,4 - 103	Re = 4	3,3 · 10°	Re = 2	3,7 · 10 ⁸	Re = 1	,2 · 10 ³	Re=9	3,1 -103	Re = 0	4 · 10 ³	Re =
1	98	14,70	57	13,6	30	12,20	20	12,28	17	10,50	13	9,75	11	9,16	10
1	188	16,42	107	15,1	52	13,86	33.	13,45	27	11,85	19	11,08	15	10,41	13
1	324	17,80	1.82	16,35	86	15,00	52	14,50	41	13,15	27	12,35	21	11,60	17
2	460	18,70	257	17,10	120	15,79	72	15,20	56	13,92	36	13,08	27	12,30	21
2	687	19,70	383	18,00	176	16,75	105	1.6,11	80	14,95	50	14,00	37	13,13	28
2	913	20,50	507	18,70	233	17,40	137	16,79	105	15,60	65	14,65	47	13,80	35
2	1367	21,80	759	19.83	346	18,60	202	17,80	154	16,65	93	15,65	68	14,58	50
2	1817	22,75	1007	20,72	459	19,41	267	18,56	203	17,32	122	16,40	87	15,58	64
2	2267	23,40	1258	21.32	572	20,10	332	19,18	252	17,90	151	17,00	108	16,15	78
9	2727	21,05	1511	21,90	685	20,60	397	19,68	301	18,35	180	17,47	128	16,61	92
2	3177	24.50	1761	22,30	798	21,10	462	20.09	349	18,70	208	17,88	148	17,00	106
2	8627	24.80	2007	22,62	911	21,40	527	20,40	399	19.12	237	18,21	168	17,38	120
5	4082	25.15	2267	22.95	1024	21.70	592	20,70	44.7	19,45	266	15,49	188	17,62	134
2	4357	25.30	2412	28.00	1092	21.80	631	20,82	477	19,60	288	18.56	201	17,77	145
2	1447	25,89	2467	28.08	1120	21.93	645	20,85	±87	19,63	289	15,66	205	17.79	146
2	4587	25.86	2511	28.10	1137	41.88	65.7	11.00	467	18.65	294	18,70	209	17,80	149

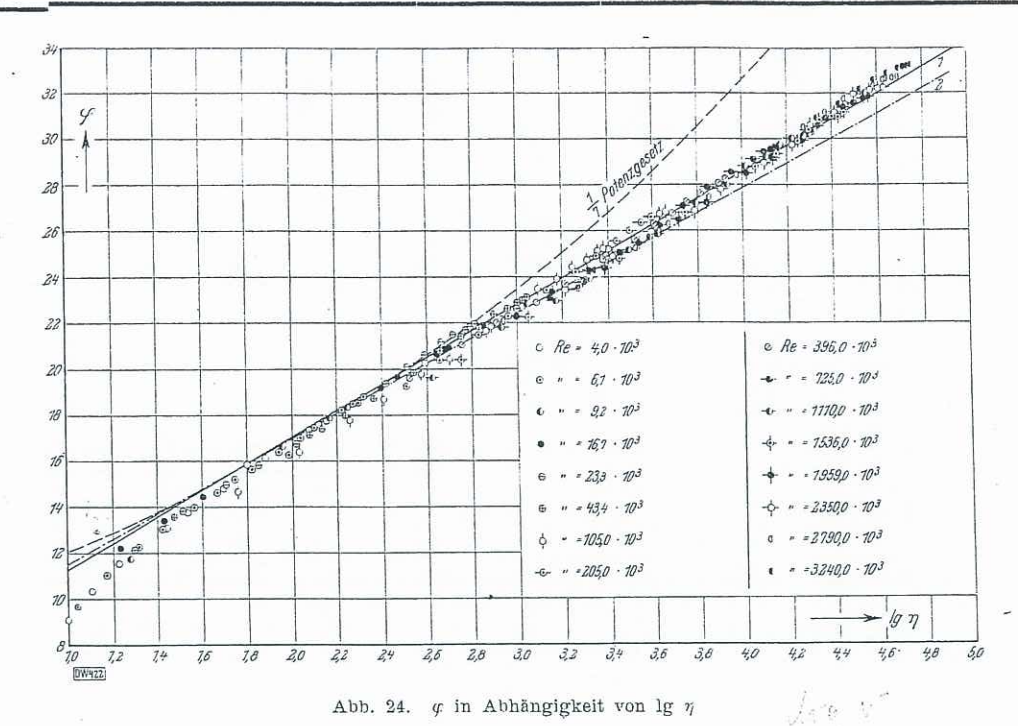


chbildung sind e Reihe Reyten 4·10³ bis a des großen chiedene Maßsind Meßergeb-

ag tritt noch ils Abszisse bedie Versuchszen auf einer sieht man, daß

Abhängig-;eschwindigkeit;





die zu einer bestimmten Reynoldssehen Zahl gehörigen Versuchspunkte nicht genau auf einer Geraden liegen, sondern einen systematischen Gang von unten nach oben zeigen. Hierbei soll erwähnt werden, daß die Versuchspunkte bis zur Rohrmitte reichen, während nach der Prandtlschen Hypothese nur die wandnahen Punkte auf einer durchlaufenden Kurve liegen sollen. Letzteres ist ziemlich gut erfüllt. Für lg $\eta < 1,0$ ist dabei eine systematische Abweichung von der Geraden feststellbar.

Aus der Abb. 24 erhält man, wenn man die nahe der Rohrachse liegenden Punkte besonders berücksichtigt, auf graphischem Wege die Gerade (1) mit der Gleichung

$$\varphi = 5.5 + 5.75 \lg \eta.$$
 (20)

Hiermit haben wir für eine Reihe von g-Werten die zugehörigen η-Werte errechnet und in der Abb. 23 danach die durch die Versuchspunkte gehende Kurve gezeichnet.

Für die weiteren Näherungsrechnungen ist es jedoch zweckmäßig, die wandnahen Punkte zu bevorzugen. Die durch diese Punkte gelegte Gerade (2) wird durch die Gleichung

 $\varphi = 5.84 + 5.52 \lg \eta \tag{20 a}$

dargestellt.

Bei laminarer Strömung hat man, wenn die Geschwindigkeit u nur von y abhängt, für die Schubspannung den Ansatz $\tau_* = u \begin{pmatrix} d & u \\ \end{pmatrix}$

· keit von η

 $\eta = \frac{v_{\$} \cdot y}{r} = \text{dimensionsloser Wandabstand}; \ y = \text{Abstand von der Wand}; \ r = \text{kinematische Zähigkeit}; \ \tau_0 = \text{Schubspannung}$ Re = Reynoldssche Zahl.

η	g	η	φ	η	φ	η	¢	η	G	77	φ	η	g	η	æ
Re = 3	396·10 ³	Re = 7	25 · 10 ³	Re=11	10.103	Re = 15	36·10 ^a	Re = 19	59 · 10 ³	Rc = 23	50 · 10 ⁸	Re=2	790 - 103	Re = 32	340 - 10
171	17,98	299	19,08	427	17,91	580	20,20	700	21,72	830	21,92	967	22,40	1 110	22,7
335	19,65	573	20,92	847	19,45	1 140	22,10	1 410	23,27	1 670	23,50	1 934	23,60	2 220	24,4
581	20,80	997	22,32	1 477	21,70	1 980	23,70	2 460	24,45	2 920	24,90	3 380	25,40	3 880	25,8
827	21,70	1426	23,16	2 107	24,00	2 830	24,80	3 520	25,35	4 160	26,00	4.835	26,38	5 550	26,8
1237	22,70	2129	24,30	3 160	25,20	4 250	25,85	5 270	26,45	6 250	27,00	7 250	27,70	8 330	28,0
1647	23,45	2842	25,06	4 210	26,00	5 660	26,70	7 040	27,22	8 340	27,80	9 670	28,50	11 100	28,8
2467	24,76	4257	26,23	6 310	27,20	8 500	27,95	10 540	28,42	12 510	29,00	14:500	29,65	16 650	30,0
3287	25,60	5667	27,10	8 410	28,05	11 300	28,80	14 080	29,28	16 680	29,90	19 340	30,50	22 200	30,9
4107	26,22	7087	27,92	10 510	28,75	14 150	29,50	17 580	30,00	20 850	30,60	24 200	31,20	27 740	31,6
4927	26,82	8507	28,35	12 600	29,35	17 000	30,07	21 120	30,60	25 020	31,20	29 000	81,74	38 300	32,1
5752	27,40	9907	28,53	14 700	29,80	19 800	30,50	24 620	31,10	29 190	31,60	33 800	32.10	38 800	32,
6567	27,70	11327	29,17	16 800	30,20	20 600	30,84	28 160	31,40	33 360	32,00	38 680	22.40	44 400	32.9
7727	28.00	12757	29,46	18 910	30,40	25 500	31,10	31 620	31.60	37 530	32,20	48 500	32.70	: 50 009	33.
7877	28,05	13610	29,58	20 210	30,53	27 200	31,18	33,750	31.79	40 000	32,28	46,420	32.80	53 300	33,
8057	28,15	13910	29,59	20.610	30,57	27 800	31,20	34,450	31.80	41.900	32.30	47.40	32.86	54400	88,
8217	28,20	14200	29,60	21 000	30,60	25 300	81,21	35 200	31,52	41.750	32,31	45400	82,0	55 500	33.

wo $\left(\frac{du}{dy}\right)_0$ den Wert von $\frac{du}{dy}$ in Wandnähe und μ die Zähigkeitskonstante bedeutet, oder

$$du = \frac{\tau_0 \, dy}{\mu}$$

 $d\,u = \frac{\tau_0\,d\,y}{\mu} \,.$ Nach der Integration dieser Gleichung erhält man

$$u = \frac{\tau_0 y}{y}$$

Setzt man $\tau_0 = \varrho \, v_{\pm}^2$ und $\mu = \varrho \, r$, so läßt sich sofort

$$\frac{u}{v_{\oplus}} = \frac{v_{\oplus} y}{r}$$
$$q = \eta.$$

oder

Nach einer Abschätzung gilt diese Beziehung infolge des Einsetzens des turbulenten Vermischungsvorganges bis etwa $\eta=10$. Dieses laminare Gebiet ist in der Abb. 21 bei der unteren Kurve gestrichelt gezeichnet. Wenn man

Gl. (13) durch $v_* = \sqrt{\frac{\tau_0}{\rho}}$ dividiert und $\frac{u}{v_*}$ durch $g, \frac{v_* y}{r}$ durch η

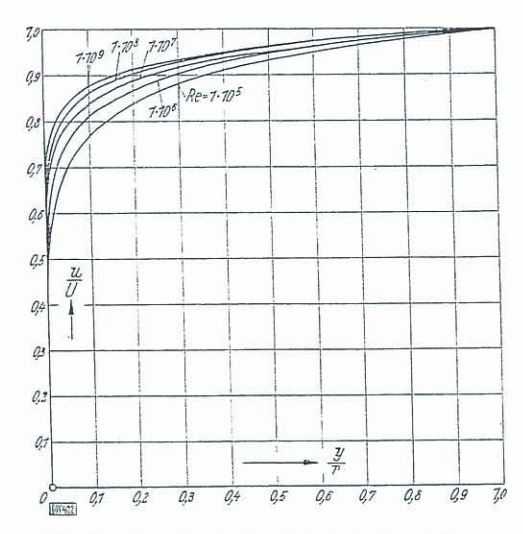


Abb. 25. Berechnete Geschwindigkeitsverteilungen für sehr große Reynoldssche Zahlen

ersetzt und den Zahlenfaktor errechnet, so erhält man

$$q = 8.74 \eta^{1/7}$$
 (13 a)

Die dieser Formel entsprechende Kurve ist in Abb. 24 gestrichelt eingezeichnet. Man sieht, daß die Gültigkeit auf den Bereich von lg $\eta = 1.6$ bis 2,6 beschränkt ist.

Durch dieses Geradliniengesetz kann man für beliebige Reynoldssche Zahlen mit sehr guter Annäherung die Geschwindigkeitsverteilung berechnen, wenn man die physi-

kalischen Größen τ_0 , $r=\frac{\mu}{\varrho}$ und den Rohrhalbmesser r vorsehreibt. Aus der Gleichung der erhaltenen Geraden kann man für verschiedene Abstände von der Wand die zugehörigen grausrechnen und durch Multiplikation mit der Geschwindigkeit v_* die jeweilige Geschwindigkeit u bestimmen, $u = \varphi v_{\oplus}$. Aus dem dimensionslosen Abstand η kann man die zugehörigen Abstände von der Wand er-

mitteln. $y = \frac{\eta \, r}{r_{\rm s}}$. So erhalten wir die Geschwindigkeitsverteilung u = f(y) für eine bestimmte Reynoldssche Zahl. In Abb. 25 sind 5 nach dieser Methode gewonnene Geschwindigkensverteilungen in dimensionsloser Darstellung eingezeichnet. Diese dimensionslosen Geschwindigkeitsverteilungen sind für die Keynoidsschen Zahlet. Re von 10^5 bis 10^9 dargestellt und zeigen die Änderung

der Geschwindigkeitsverteilungsform mit der Reynold schen Zahl.

Es erscheint natürlich etwas gewagt, die Geschwindi keit in der Rohrmitte aus einem Gesetz zu berechnen, d lediglich für die Geschwindigkeiten in der Wandnähe b stimmt ist; jedoch sind überhaupt die Geschwindigkeit unterschiede in der mittleren Partie des Rohres an sinicht mehr groß, andererseits ermutigt das in Abb. : dargestellte Ergebnis zu diesem Verfahren. Natürli wird trotzdem der Wert in der Mitte selbst ungenau; c wirklichen Geschwindigkeitsverteilungen zeigen hier ei waagerechte Tangente, die hier benutzte Formel dageg eine endliche, wenn auch kleine Neigung. Für das Dure flußvolumen macht diese Abweichung aber nur se wenig aus.

4. Mischungsweg und Austauschgröß

Bei laminarer Strömung hat man, wenn die Geschwi digkeit u nur von y abhängt, für die Schubspannung d

$$\tau = \mu \, \frac{d \, u}{d \, y} \, .$$

wobe
i μ die Zähigkeitskonstante bedeutet. Ebenso mae man nach Boussinesg ²¹) bei turbulenter Strömung i die durch den turbulenten Impulsaustausch hervorge fene "scheinbare" Schubspannung den Ansatz

$$\tau' = 4 \, \frac{d \, \bar{u}}{d \, y},$$

wobei \bar{u} den zeitlichen Mittelwert der Geschwindigkeit r A eine Austauschgröße bedeutet, die das turbulente Ans gon zur Zähigkeitskonstanten ist. Die Austauschgröße jedoch nicht konstant, sondern in der Flüssigkeit von zu Ort verschieden. Das Wesentliche ist jetzt, die A tauschgröße A in Zusammenhang zu bringen mit der schwindigkeitsverteilung. Zu diesem Zwecke denkt n sich nach Reynolds die Geschwindigkeit zerlegt in ei zeitlichen Mittelwert und die Schwankungen um dies Man setzt also

$$u = \bar{u} + u', \qquad v = \bar{u} + v',$$

wobei u' und v' die Schwankungen der x-Kompone bzw. der y-Komponente der Geschwindigkeit bedeuten. Geschwindigkeitsschwankungen rufen einen scheinba Spannungszustand hervor, der gegeben ist durch die 6

$$\sigma_x = -\varrho \, \overline{u'^2}; \quad \tau_{xy} = -\varrho \, \overline{u' \, v'}; \quad \sigma_y = -\varrho \, \overline{v'^2}.$$

 $\sigma_x = -\varrho \, \overline{u'^2}; \quad \tau_{x\,y} = -\varrho \, \overline{u'\,v'}; \quad \sigma_y = -\varrho \, \overline{v'^2}.$ Es kommt jetzt darauf an, die Geschwindigkeitssehwanl gen u' und v' durch die "Hauptströmung" $\bar{u}, \; \bar{v}$ auszud ken. Dies ist Prandtl durch folgende Überlegung gelun Wir nehmen, wie oben bei Gl. (21) und (22) der Einfach halber an, daß die Hauptströmung parallel zur x-A geht und daß quer zur Hauptströmungsrichtung ein schwindigkeitsgefälle herrscht. Für den Turbulenzzust der Strömung ist eine Länge I charakteristisch, wo Prandtl als Mischungsweg bezeichnet. Die physikali Bedeutung des Mischungsweges l ist die, daß in der tu lenten Strömung kleine Flüssigkeitsmassen eine Ei bewegung besitzen und sich infolgedessen um einen wissen Betrag, eben den Mischungsweg l, quer zur ! mungsrichtung verschieben, bevor sie sich mit der n Umgebung vermischen. Wenn jetzt eine kleine Flüssigk masse, die aus einem Ort mit der mittleren Geschwir keir $ar{u}$ stammt, sich quer zur Hauptströmung um Strecke / verschiebt, so unterscheider sich ihre Gesch digkeit von der mittleren Geschwindigkeit des neuen (in erster Nöberung um den Betrog $t \frac{\tilde{d} \, \tilde{u}}{a \, g}$. Mankann als

der Reynolds-

Geschwindigberechnen, das Wandniihe be-.chwindigkeitstohres an sich s in Abb. 24 n. Natürlich ungenau; die gen hier eine ormel dagegen ür das Durchiber nur sehr

schgröße

die Geschwinspannung den

(21)

Ebenso macht Strömung für h hervorgeru-

(22)

oder

vindigkeit und bulente Analoauschgröße ist igkeit von Ort etzt, die Ausn mit der Gete denkt man legt in einen n um diesen.

x-Komponente bedeuten. Die 1 scheinbaren lurch die Glei-

 $= \rho \, \overline{v'^{\,2}}$. (23) eitsschwankun-, v auszudrükrung gelungen. ler Einfachheit d zur x-Achse

:htung ein Gerbulenzzustand stisch, welche physikalische 3 in der turbu-

ı eine Eigenum einen gequer zur Strönit der neuen .e Flüssigkeits-Geschwindig-

mung um die hre Geschwines neuen Ortes

ın kann also für

arantes, Mémoires

den absoluten Betrag der Schwankungen der a-Komponente der Geschwindigkeit setzen:

$$|u'\rangle = l \left| \frac{d|\bar{u}|}{d|y|} \right| \tag{24}$$

Die Schwankungen der y-Komponente der Geschwindigkeit r' kommen dadurch zustande, daß Flüssigkeitsmassen, die eine verschieden große Geschwindigkeit in der a-Richtung besitzen, zusammenprallen und infolgedessen seitlich ausweichen. Man kann deshalb v' proportional u' setzen,

$$|r'| = l \left| \frac{d \, \bar{u}}{d \, y} \right|. \tag{25}$$

Damit hat man für die Schubspannung nach Gl. (23), wenn man die Proportionalitätskonstanten mit in das noch unbekannte / hineinnimmt, den Ausdruck

$$\tau = \varrho l^2 \left| \frac{d \tilde{u}}{d u} \right| \cdot \frac{d \tilde{u}}{d u}. \quad (26)$$

Dadurch, daß der eine Faktor mit, der andere ohne Betragzeichen steht, ist dafür gesorgt, daß τ mit $\frac{d\bar{u}}{dy}$ das Vorzeichen wechselt. Durch Vergleich dieses Prandtlschen Ansatzes für die Schubspannung mit Gl. (22) findet man für die Austangebröße die Formel tauschgröße die Formel

$$A=\varrho\ l^2\left|\frac{d\ \bar{u}}{d\ y}\right|\cdot \tag{27}$$
 Dieser $Prandtl$ sche Ansatz, der eine tiefgehende physika-

lische Analyse der turbulenten Strömungen liefert, hat bereits in vielen Fällen 22) zu einer recht guten Berechnung der turbulenten Strömungen geführt. Für die Strömungen in kreisförmigen Rohren lassen sich durch ihm befriedigende Gesetzmäßigkeiten finden.

Dividiert man Gl. (22) durch die Dichte, so erhält man

$$\frac{\tau}{\varrho} = \frac{A}{\varrho} \cdot \frac{d \, u}{d \, y} \, \cdot$$

Setzt man hier $\frac{4}{\varrho}=\varepsilon$ ein, wo ε ein kinematisches Maß für den turbulenten Impulsaustausch darstellt, so ergibt sich

$$\frac{\tau}{\varrho} = \varepsilon \cdot \frac{d}{d} \frac{u}{y}$$

$$\varepsilon = \frac{\tau}{\varrho} : \frac{d}{d} \frac{u}{y}.$$
(28)

Die kinematische Austauschgröße ϵ erhält man also durch

Division der "kinematischen Schubspannung" $\frac{\tau}{\varrho}$ durch den Differentialquotienten der Geschwindigkeit $\frac{du}{dy}$. Die Größe dieses Differentialquotienten über den Rohrhalbmesser wurde graphisch aus den gemessenen Geschwindigkeitsverteilungen ermittelt. Da die Größen $\frac{d\,u}{d\,y}$ und $\frac{\tau}{\varrho} = \frac{r-y}{2\,\varrho}\,\frac{d\,p}{d\,x},$

22) L. Prandtt: Bericht über Untersuchungen zur ansgebildeten Turbulenz, Z. angew. Math. Mech., Bd. 5 (1925), S. 136. — Bericht über nenere Turbulenzforschungen. Hydraulische Probleme (Berlin, VDI-Verlag, 1926, S. 1).

W. Tollmien: Berechnung turbulenter Ausbreitungsvorgänge. Z. angew. Math. Mech. Bd. 6 (1926) S. 468.

L. Prandtl: Über ausgebildete Turbulenz. Verh. d. 2. intern. Kongr. f. techn. Mech., Zürich 1927.

J. Nikuradse: Untersuchungen über die Strömungen des Wassers in konvergenten und divergenten Kanälen, Forsch. Arb. Ing. Wes. Nr. 289 (1929).

J. Nikuradse: Über turbulente Wasserströmungen in geraden Rohren bei sehr großen Reynoldsschen Zahlen. Vorträge aus dem Gebiete der Aerodynamik und verwandter Gebiete, herausgegeben von A. Gilles, L. Hoff und Th. v. Karmán. Aachen 1929, S. 63.

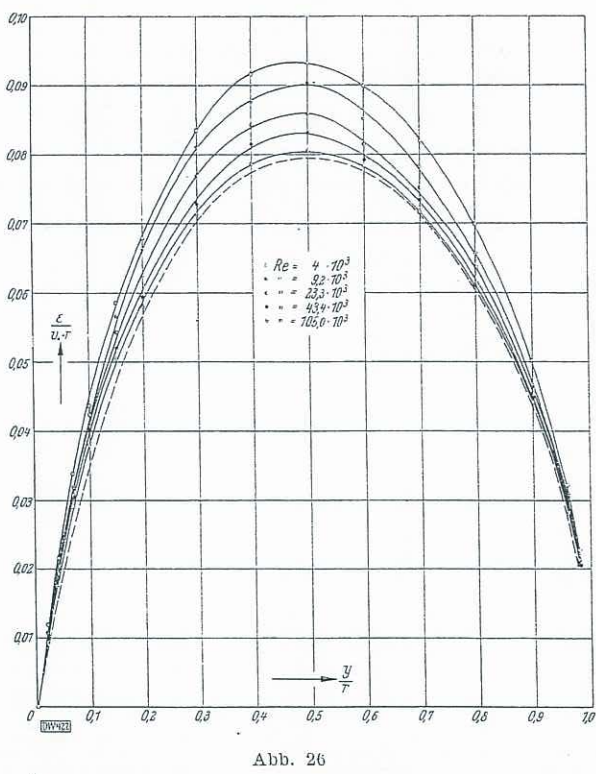
W. Fritsch: Der Einfauß der Wandrauhigkeit auf die turbulente Geschwindickeitsverteilung in Rinnen 7 angew. Math. Mech. Bd. 8 (1928), S. 215.

L. M. Svani: On the turbulente wake behind a body of revolution. Proc. Roy. Sec., Lond. Bd. 125 (1929), S. 647.

A. Betz. Ther unrbulente Reibungsschichten an, gekrünamten Wänden, Vorträge aus dem Gebiete der Aerodynamik und verwandter Gebiete, herausgegeben: von A. Gilles, L. Hoff und Th. Edward. Aachen 1929, S. 16.

J. Nikuradse: Widerstandsgesetz und Geschwindigkeitsverteilung von tertmennen. Wisserströming ein. Zeinten und ratmen Reibner, Vern. 6. 8 intern. Konger f. techn. Mechanil: Stockholm 1930, S. 214. H. Schrichting: Über das ebene Windschaften Göttinger Dissertation, Ing. Arch., Bd. 1 (1930), S. 532.

(Ableitung wie bei Gl. (9)) beide bei Annäherung an die Rohrachse gegen Null streben, wird die Ermittlung der Impulsaustauschgröße in diesem Gebiet ungenau. Deshalb wurden die Meßpunkte zur Ermittlung der Geschwindigkeitsverteilung in der Rohrachse diehter gelegt. Um durch die gemessenen Werte der Geschwindigkeiten eine Geschwindigkeitskurve so zu legen, daß diese einen glatten Verlauf $\frac{d u}{d y}$ -Werte lieferte, sind in den gemessenen Punkten die Differentialquotienten gebildet und diese durch eine glatte Kurve verbunden worden. Nun wurde rückwärts aus dieser Kurve die Kurve der Geschwindigkeitsverteilung in kleineren Abständen von der Rohrmitte bestimmt. Durch dieses Verfahren war es möglich, die &-Werte in der Nähe



 $\frac{\varepsilon}{v_{\pm}\tau}$ in Abhängigkeit von y/r für kleine Reynoldssche Zahlen

der Rohrachse genauer berechnen zu können. So wurden die Werte im gemessenen Bereiche der Reynoldsschen Zahlen (von 4 · 10° bis 3240 · 10°) für die früher erwähnten 16 Geschwindigkeitsprofile bestimmt und in Zahlentafel 4 wiedergegeben. Um die Verteilung der ε-Werte über den Robrhalbmesser für alle Bereiche der Reynoldsschen Zahlen vergleichbar zu machen, sind diese, da ϵ die Dimension von Geschwindigkeit \times Länge hat, durch v_{it} r

dividiert worden, wobei $v_{\#} = \sqrt{\frac{ au_0}{\varrho}}$ ist, also die Dimension einer

Geschwindigkeit hat. Die jeweiligen Abstände von der Wand sind auf den Rohrhalbmesser bezogen. Die Abhängigkeit

$$\frac{r}{r_* r} = f(yr) \tag{29}$$

 $\frac{\epsilon}{r_* \; r} = f \left(g r \right) \tag{29}$ ist in Abb. 26 und 27 dargestellt. Betrachtet man diese Abhängigheit in Abb. 26, so sieht man, daß die $\frac{\delta}{\epsilon}$ -Werie hat steigenden Reynoulssenen. Zahlen abnehmen bis zu einem unveränderlichen Wert, der in diese: Abbildung

Zahlentafel 4

 $\frac{\epsilon}{r_* \cdot r}$ in Abhängigkeit von $\frac{y}{r}$

				**	. 7			1 8				
11.4	7 (1)	$\frac{du}{dy}$	$\frac{\epsilon}{r_{\bullet} \cdot r}$	$\frac{\tau}{e}$	$\frac{du}{dy}$	- v. · v	$\frac{\tau}{\varrho}$	$\frac{du}{dy}$	1 7	7	du dy	$\frac{\epsilon}{r \cdot r}$
		0^3 ; $\nu_4 = 5$ = 0,5 cm			10^3 ; $v_* = i$ r = 0.5 cm	5,44 cm/s		10^{3} ; $\nu_{*} = 7$ r = 0.5 cm	7,76 cm/s	Re = 16.7		= 13,3 cm/s
0,02 0,04 0,07 0,10 0,15 0,20 0,80 0,40 0,50 0,60 0,70 0,80 0,96 0,96	14,30 14,00 18,55 18,12 12,40 11,68 10,21 8,75 7,30 5,84 4,38 2,95 1,46 0,584 7,0,292	631,0 340,0 210,0 157,0 111,0 90,0 64,0 50,0 41,0 34,0 29,0 22,0 15,2 9,5 6,7	0,0119 0,0216 0,0338 0,0487 0,0585 0,0680 0,0835 0,0916 0,0900 0,0820 0,0700 0,0502 0,0322 0,0322	29,0 28,4 27,5 26,0 25,2 23,6 20,7 17,75 14,80 11,82 8,88 5,92 2,96 1,183 0,592	945,0 501,0 318,0 231,0 163,0 129,0 93,0 73,0 59,0 50,0 41,0 32,0 22,0 13,8 9,8	0,01135 0,01042 0,0820 0,0427 0,0572 0,0678 0,0825 0,0905 0,0804 0,0685 0,0500 0,0317 0,0224	59,0 57,8 56,0 54,1 51,1 48,1 42,1 36,1 30,1 24,1 18,1 12,0 6,0 2,4 1,2	1392 738 454 331 235 187 134 106 86 73 59 47,0 3	0,0108 0,0202 0,0318 0,0422 0,0565 0,0662 0,0812 0,0904 0,0852 0,0788 0,0659 0,0469 0,0310 0,0221	178,7 170,0 164,6 159,2 150,4 141,5 124,0 106,2 88,5 70,8 53,1 35,4 17,7 7,08 8,54	2540 1822 782 588 405 830 232 184 152 129 104 83 58 85,5	0,01025 0,01935 0,03170 0,0410 0,0560 0,0645 0,0869 0,0876 0,0876 0,0876 0,0876 0,0459 0,0459 0,0301 0,0212
		r = 0.5 cm	17,55 cm/s	Re = 43,4	$n_{\rm t} = 0.5$ cm	18,44 cm/s		$v_* = 0.03; v_* = 0.03; $		Re = 205	t = 2.5 cm	= 17,4 cm/s
0,02 0,04 0,07 0,15 0,20 0,30 0,40 0,50 0,60 0,70 0,90 0,96 0,98	302,0 296,0 286,0 277,0 262,0 246,0 215,0 154,0 123,0 92,5 61,5 30,8 12,8 6,15	3410 1760 1040 778 550 448 318 250 204 172 140 110 77 47,8 33,5	0,0101 0,0192 0,0318 0,0496 0,0542 0,0625 0,0770 0,0844 0,0860 0,0815 0,0753 0,0638 0,0455 0,0293 0,0210	177,0 173,5 168,0 162,6 153,6 144,6 126,5 108,5 90,4 72,4 54,2 36,2 18,1 7,24 3,62	1348 693 411 302 220 181 129 99 81 68 55 44 30 18,5 13,0	0,0098 0,0186 0,0304 0,0401 0,0520 0,0594 0,0730 0,0816 0,0832 0,0795 0,0735 0,0612 0,0450 0,0292	356 350 338 328 310 290,5 255 218 182 145,6 109,2 72,8 36,4 14,5 7,3	1338 698 407 302 215 175 125 97 79 65 53,3 41,6 28,8 17,9 12,6	0,0098 0,0175 0,0290 0,0380 0,0504 0,0580 0,0714 0,0787 0,0805 0,0784 0,0718 0,0610 0,0443 0,0210	297,0 291,0 282,0 273,0 258,0 242,0 212,0 181,5 121,0 90,9 60,6 30,8 12,1 6,05	755 390 282 170 121 96 69 53 44 36,3 29,2 22,9 15,8 97,0	0,0091 0,0172 0,0280 0,0369 0,0490 0,0580 0,0707 0,0790 0,0791 0,0768 0,0715 0,0610 0,04±1 0,0280 0,0199
		10^3 ; $\sigma_{\pm} = r = 2.5$ cm		Re = 725	10^3 ; $v_* = r = 5.0$ cm			r = 5.0 cm			$6 \cdot 10^{3}; v_{*}$ $r = 5.0 c$	= 62,4 cm/s
0,02 0,04 0,07 0,10 0,15 0,20 0,30 0,40 0,50 0,60 0,70 0,80 0,96 0,96	906 887 860 832 785 740 647 555 462 370 277 185 92,5 37,0 18,5	1370 704 416 304 215 169 123 92,5 76 62 51,7 41,0 27,8 17,5 12,3	0,0087 0,0166 0,0272 0,0360 0,0480 0,0577 0,0692 0,0790 0,0802 0,0705 0,0595 0,0438 0,0278 0,0189	1151 1129 1092 1058 998 940 823 705 587 470 352 235 117.5 47,0 23,5	795 410 237 174 124 97 68 53,5 43,7 29,0 28,0 16,0 9,9 7,0		2185 2140 2075 2007 1898 1785 1560 1340 1115 893 670 446 223 89,3 44,6	1117 576 387 243 178 184,5 94,0 72,3 59,2 48,4 39,2 31,2 21,5 13,5 9,6	0,0083 0;0157 0,0261 0,0350 0,0465 0,0562 0,0705 0,0785 0,0796 0,0781 0,0606 0,0439 0,0280 0,0197	3830 3750 3630 3510 3320 3122 2780 2340 1950 1170 780 390 156 78	1506 770 460 333 230 179 127 97,5 80,0 64,8 53,1 41,9 28,8 18,0 12,8	0,0082 0,0156 0,0254 0,0339 0,0465 0,0561 0,0771 0,0785 0,0775 0,0709 0,0600 0,0435 0,0279 0,0196
	ļ	r = 5.0 cm	1		r = 5.0 c	m	Re = 279	r = 5.0 cm		Re = 324	r = 5.0	= 83,1 cm/s
0,02 0,04 0,07 0,10 0,15 0,20 0,30 0,40 0,50 0,60 0,70 0,90 0,96 0,96	5900 5770 -5595 5410 5110 4810 4210 3604 3005 2404 1803 1202 601 240 120	1890 977 575 414 288 223 157 118 98 81 65,6 52,0 25,6 22,3 15,9	0,0081 0,0154 0,0251 0,0338 0,0459 0,0558 0,0692 0,0790 0,0767 0,0710 0,0596 0,0425 0,0278 0,0195	4567 4474 4330 4194 3870 3730 3265 2800 2330 1865 1400 922 460 186,4 93,2	1670 872 514 370 254 198,5 138 106 86,2 70,2 57,0 45,5 13,7 19,8	0,0080 0,0151 0,0248 0,0332 0,0447 0,0551 0,0693 0,0775 0,0791 0,0780 0,0721 0,0600 0,0451 0,0276 0,0196	5±60 53±5 5172 5000 4730 4±50 3900 3360 2780 2224 1669 1112 556 222 111	1860 968 573 414 280 221 151 114,7 63,2 50,5 34,5 21,4 15,1	0,0079 0,0148 0,0242 0,0324 0,0454 0,0540 0,0787 0,0786 0,0780 0,0708 0,0708 0,0591 0,0433 0,0278 0,0197	6760 6620 6412 6210 5860 5515 4882 4140 3450 2068 1380 696 276 138	2080 1085 645 466 319 246 168 128 104 86, 69, 55, 38,	0,0714 0,0595 0,0427 0,0280

t=turbulente Austauschgröße: $r_{\nu}=\sqrt{\frac{\tau_{0}}{e}}=$ Schubspannungsgeschwindigheit: $r=\frac{d}{r}=$ Rohrhalbmesser: , =Abstand von der Wand: $t_{0}=$ Schubspannung an der Wand: $t_{0}=$ Diente: $\frac{dn}{d\rho}=$ Differentialguodent der Geschwindigheit: L:=Regnordssche Zahr: $\nu=$ mittiere Geschwindigheit: r=knematische Zähigkeit.

lu ly	$\frac{\varepsilon}{v_{\bullet} \cdot r}$
; v _* :	= 13,3 cm/s
40	0,01025
122	0,01935
182	0,03170
i83	0,0410
105	0.0560
330	0,0645
232	0,0804
.84	0,0869
.52	0,0876
.29	0,0825
104	0,0767
83	0,0641
58	0,0459
35,5	0,0301
25	0,0212

2,5 cm 0,0091 0,0172 0,0280 390 232 0,0369 170 0,0490 96 0,0580 69 0.0707 53 0.0790 0,0791 36,3 0,0768 29 2 0.0715 22.9 0.0610 15,8 0,0441 0,0280 0.0199)3; v_o = 62,4 cm/s

= 5,0 cm 506 0,0082 0,0156 460 0,0254 0.0339 230 0,0465 0,0561 0,0691 0,0771 97.5 80,0 0,0785 0,0775 64,8 53,1 0,0709 41.9 0.0600 0,0435 28.8 18,0 0,0279

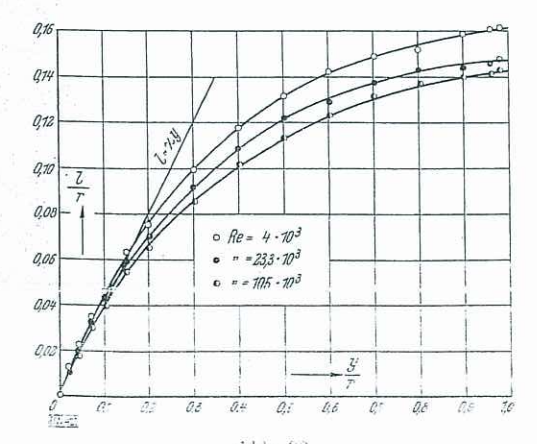
12,8 0,0196 $p_s = 83.1 \text{ cm/s}$ = 5,0 cm 085 0,0147 0,0243 0,0321 645 466 319 246 0,0540 168 0.0697 0,0775 128 104 0,0765 0,0714 69,5 55 38,8 0.0427 0,0280 16.8

=Abstand von der eynoldssche Zahl: durch eine gestrichelte Kurve angegeben ist. In Abb. 27 sind die $\frac{\epsilon}{v_s}$ Werte für Reynoldssche Zahlen Re> 100 · 103 eingetragen. Sie liefern innerhalb einer gewissen Streuung eine Kurve, die unabhängig von der Revnoldsschen Zahl ist. Diese Kurve entspricht der gestrichelten Kurve in Abb. 26. Die strichpunktierte Kurve der Abb. 27, welche die $\frac{\epsilon}{v_{\odot} r}$ -Werte in der Nähe der Rohrachse darstellt, ist durch Extrapolation gefunden. Charakteristisch für den dieser Werte ist, daß die Austauschgröße an der Wand Null ist, da hier kein Austausch stattfinden kann; mit wachsendem Wandabstand steigt $\frac{\varepsilon}{v_{t}, r}$ zunächst linear, rasch an und erreicht ein Maximum bei y = r/2. Bei Annäherung an die Rohrachse fällt $\frac{\varepsilon}{v_{\circledast}\,r}$ dann auf einen sehr kleinen Wert wieder ab. Beim Anstieg in der Nähe der Wand beobachtet man eine stärkere Streuung der $\frac{\varepsilon}{v_{::}r}$ -Werte als in der Nähe der Rohrachse. Das ist dadurch zu erklären, daß in der Nähe der Wand ein stärkerer Einfluß der

Zähigkeit vorhanden 156.

Aus $\varepsilon = \frac{A}{\varrho} = l^2 \frac{du}{dy}$ ergibt sich, daß der Mischungsweg $l = \sqrt{\varepsilon : \frac{du}{dy}}$ (30)

ist. Nach dieser Formel ist der Verlauf des Mischungsweges über den Rohrhalbmesser bei verschiedenen Reynoldsschen Zahlen berechnet und in der Zahlentafel 5 zusammengestellt worden. Die Abhängigkeit des Mischungsweges l vom Wandabstand y zeigt in dimensionsloser Darstellung l/r=f(y/r) Abb. 28 und Abb. 29. Man sieht, daß der Mischungsweg in unmittelbarer Wandnähe (bis etwa y/r=0.07) von Null an linear ansteigt. v. Kármán setzt diesen linearen Anstieg $l=\varkappa y$, wobei y den Abstand von der Wand und z eine Proportionalitätskonstante bedeutet; diese hat von der Reynoldsschen Zahl $Re=1.00\cdot 10^3$ an aufwärts den Wert $\varkappa=0.38$ (Abb. 29), unterhalb $Re=1.00\cdot 10^3$ erhält man $\varkappa=0.40$ (Abb. 28). Oberhalb des Wertes y/r=0.07 steigt der Mischungsweg schwächer



 $\frac{\text{Abb. 28}}{l/r} \text{ in Abhängigkeit von } \frac{28}{l/r} \text{ für kleine Reynolässche Zahlen}$

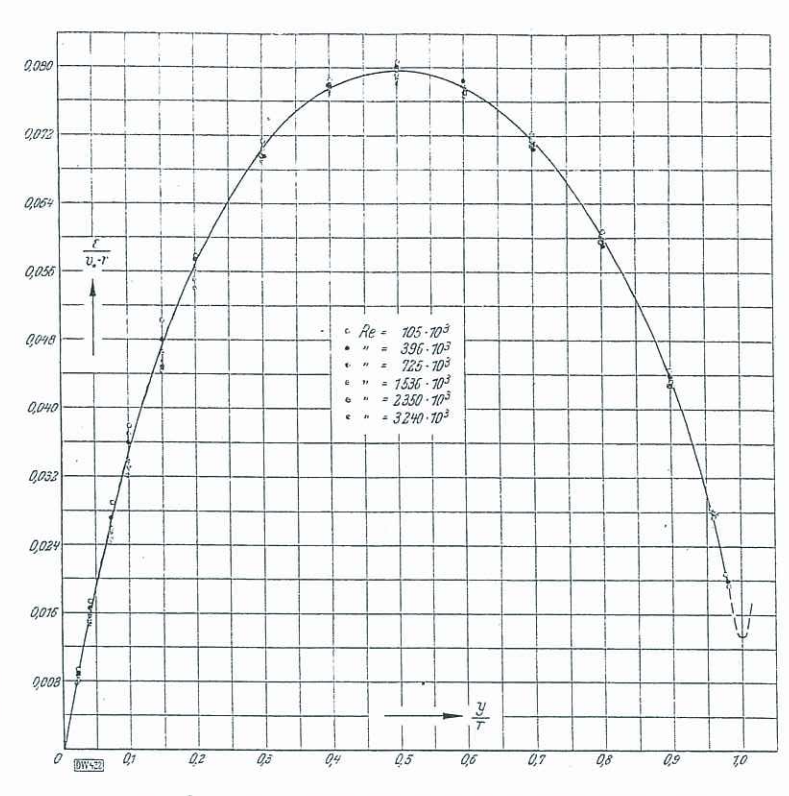
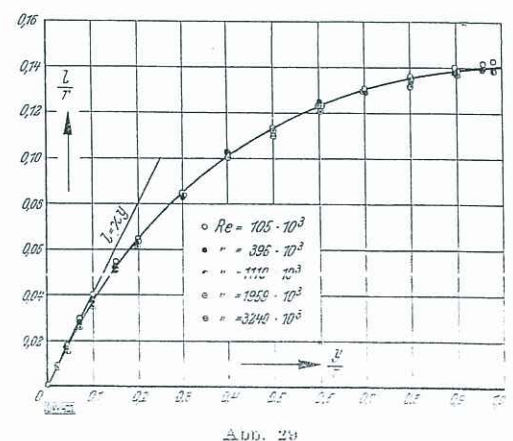


Abb. 27. $\frac{\varepsilon}{|v_{\otimes}r|}$ in Abhängigkeit von y|r für große Reynoldssche Zahlen

an und erreicht in der Rohrachse einen festen Wert etwa l/r = 0.14 (Abb. 29). In dieser Abbildung sind die Werte des dimensionslosen Mischungsweges für die fünf Reynoldsschen Zahlen $Re = 105 \cdot 10^3$ bis $3240 \cdot 10^3$ eingetragen; sie liefern innerhalb sehr geringer Streuung den gleichen Verlauf. Aus diesem Diagramm erkennt man, daß bei weitersteigenden Reynoldsschen Zahlen die Werte des dimensionslosen Mischungsweges l/r bei einem bestimmten dimensionslosen Wandabstand y/r nicht weiter abnehmen. Das kommt daher, daß bei den in Abb. 29 angegebenen Reynoldsschen Zahlen der Einfluß der Zähigkeit nicht mehr vorhanden ist. Unterhalb $Re = 100 \cdot 10^3$ beobachtet man infolge des Zähigkeitseinflusses die Änderung des dimensionslosen Mischungsweges l/r mit der Reynoldsschen Zahl, und zwar steigt 1/r mit abnehmender Reynoldsscher Zahl. Daher erhält man für verschiedene Reynoldssche Zah-



lr in Abhängigkeit von yr für große Reynoldssche Zanien

len in Abb. 28 verschiedene t/r-Kurven. Die Abhängigkeit t/r als Funktion von y/r, wie sie in Abb. 29 dargestellt ist, kann durch folgende Interpolationsformel von Prandtl wiedergegeben werden:

$$t/r = 0.14 - 0.08 (1 - y/r)^2 - 0.06 (1 - y/r)^4,$$
 (31 a)

aus welcher sieh

$$z = \left[\frac{dt}{dy}\right]_{y=0} = 0.40$$

ergibt.

Unter Mitherücksichtigung der Zähigkeit ergibt sieh ein dimensionsrichtiger Ansatz für die Abhängigkeit des Mischungsweges vom Wandabstand durch die folgende Überlegung. Die Strömungsverhältnisse in Wandnähe sind bekanntlich durch die physikalischen Größen τ_0 , ϱ , μ und μ allein bestimmt. Aus diesen Größen läßt sieh die bereits erwähnte dimensionslose Größe $\frac{\varrho y}{\mu} \sqrt{\frac{\tau_0}{\varrho}} = \frac{r_{\oplus} y}{r}$ bilden. Für den Mischungsweg ergibt sieh so der Ansatz 23)

$$l = y f\left(\frac{v_{\oplus} y}{r}\right) = y f(r_i), \qquad (32)$$

Man kann $\eta=\frac{v_{ii}\,y}{r}$ als eine (allerdings variable) Reynoldssche Zahl in Wandnähe auffassen. Die Funktion f ist

23) L. Prandtl: Turbulenz und ihre Entstehung. Tokiovortrag 1929. Rep. aeron. Res. Inst., Tokyo, No. 65, 1930.

empirisch zu ermitteln. Da

$$x_{\oplus} = \sqrt{\frac{\tau_{\theta}}{\varrho}} = l \frac{d \hat{n}}{d y} , \qquad (3)$$

St

$$\frac{d}{d}\frac{\tilde{u}}{y} = \frac{r_{\text{s}}}{\tilde{l}} = \frac{r_{\text{s}}}{y \cdot \tilde{l}(\eta)} \tag{3}$$

oder nach Integration

$$: \bar{u}_{\parallel} = \int_{y_0}^{y} \frac{v_* \, dy}{y \cdot f(\eta)}, \tag{3}$$

Diese Formel verknüpft offenbar die Geschwindigkeits verteilung mit dem Widerstandsgesetz. Die untere Grenz des Integrals, die hier mit y_0 bezeichnet ist, ist, eine ge nügend genaue Formulierung von $f(\eta)$ in Wandnähe von ausgesetzt, in einem glatten Rohr gleich Null zu setze und in einem rauhen Rohr gleich einer für die Rauhigke eharakteristischen Länge. Die Bestimmung der f-Funktio erfolgt aus der gemessenen Geschwindigkeitsverteilung indem man zuerst l berechnet und dann $l/y = f(\eta)$ aut trägt. Diese Beziehung findet sich in Abb. 36 (Zahlen tafel 6) in logarithmischem Maßstab. Jede von oben nach unten verlaufende Kurve entspricht einer bestimmte Reynoldsschen Zahl, die als Parameter angeschrieben is Die obersten Punkte der Kurve liegen in unmittelbard Nähe der Wand. Die von links nach rechts verlaufende Kurven verbinden Punkte gleicher y/r-Werte. Weiter zeig das Diagramm, daß zu einer bestimmten y/r-Kurve obe

Zahlentafel 5

 $\frac{l}{r}$ in Abhängigkeit von $\frac{y}{r}$

 $l = {\tt Mischungsweg;} \ r = {\tt Rohrhalbmesser;} \ y = {\tt Abstand} \ \ {\tt von \ der} \ \ {\tt Wand;} \ Re = {\tt Reynoldssche} \ {\tt Zahl;}$

	Ur.	lir	l/r	lir	7/2	lir	lir	7/2-
yir	$Re=4.0 \cdot 10^{3}$ r=0.5 cm	$Re = 6.1 \cdot 10^3$ r = 0.5 cm	$Re = 9.2 \cdot 10^{3}$ r = 0.5 cm	$Re = 16,7 \cdot 10^{3}$ r = 0,5 cm	$Re = 23,3 \cdot 10^8$ r = 0,5 cm	$Re = 43, 4 \cdot 10^3$ r = 1,0 cm	$Re = 105 \cdot 10^3$ r = 1.5 cm	$Re = 205 \cdot 10$ r = 2,5 cm
0,02 0,04 0,07 0,10 0,15 0,20 0,30 0,40 0,50 0,70 0,80 0,90 0,96	0,0120 0,0220 0,0351 0,0460 0,0634 0,0758 0,0996 0,1180 0,1422 0,1422 0,1492 0,1520 0,1590 0,1608 0,1614	-0,0114 0,0212 0,0340 0,0446 0,0616 0,0752 0,0978 0,1156 0,1304 0,1372 0,1454 0,1520 0,1564 0,1574	0,0110 0,0206 0,0330 0,0444 0,0614 0,0742 0,0968 0,1132 0,1276 0,1344 0,1440 0,1472 0,1486 0,1548	0,0104 0,0197 0,0328 0,0432 0,0606 0,0720 0,0960 0,1120 0,1218 0,1304 0,1400 0,1432 0,1450 0,1500 0,1540	0,0102 0,0195 0,0325 0,0428 0,0588 0,0700 0,0922 0,1088 0,1216 0,1288 0,1374 0,1428 0,1440 0,1466 0,1480	0,0099 0,0190 0,0315 0,0423 0,0564 0,0665 0,0872 0,1049 0,1173 0,1250 0,1346 0,1383 0,1417 0,1454 0,1464	0,0094 0,0179 0,0300 0,0400 0,0546 0,0652 0,0850 0,1015 0,1136 0,1236 0,1310 0,1367 0,1398 0,1418 0,1430	0,0092 0,0175 0,0290 0,0389 0,0582 0,0649 0,0845 0,1016 0,1120 0,1210 0,1305 0,1360 0,1395 0,1411 0,1400
	$Re = 396 \cdot 10^8$ r = 2.5 cm	$Rc = 725 \cdot 10^{3}$ r = 2.5 cm	$Rc = 1110 \cdot 10^{3}$ r = 5,0 cm	$Rc = 1536 \cdot 10^3$ r = 5,0 cm	$Re = 1959 \cdot 10^8$ r = 5.0 cm	$Re = 2350 \cdot 10^{\circ}$ r = 5,0 cm	$Re = 2790 \cdot 10^3$ r = 5.0 cm	Re = 3240. r = 5,0 cr
0,02 0,04 0,07 0,10 0,15 0,20 0,30 0,40 0,50 0,60 0,70 0,80 0,90 0,90	(4.1390)	0,0086 0,0164 0,0279 0,0374 0,0509 0,0631 0,0845 0,0994 0,1110 0,1218 0,1294 0,1389 0,1389	0,0084 0,0161 0,0270 0,0868 0,0505 0,0628 0,0840 0,1011 0,1130 0,1238 0,1319 0,1853 0,1400 0,1296	0,0082 0,0158 0,0262 0,0356 0,0500 0,0624 0,0820 0,0996 0,1101 0,1220 0,1290 0,1287	0,0081 0,0156 0,0260 0,0355 0,0496 0.0622 0,0827 0,1017 0,1120 0,1211 0,1294 0,1880 0,1877 0,1380	0,0081 0,0154 0,0256 0,0350 0,0490 0,0615 0,0829 0,1000 0,1120 0,1230 0,1312 0,1840	0,0080 0,0151 0,0251 0,0342 0,0492 0,0607 6,9826 0,1010 0,1110 0,1290 0,1291 0,1291 0,1395 0,1290	0,0079 0,0150 0,0248 0,0338 0,0481 0,0604 0,0533 0,1000 0,1130 0,1211 0,1332 0,1259

(33)

(34)

(35)

schwindigkeits-: untere Grenze st, ist, eine ge-Wandnähe vor-Null zu setzen die Rauhigkeit der f-Funktion keitsverteilung, $/y = f(\eta)$ aufb. 30 (Zahlenvon oben nach er bestimmten geschrieben ist. ı unmittelbarer ts verlaufenden te. Weiter zeigt 1/r-Kurve oberhalb der Reynoldssehen Zahl $Re=100\cdot 10^3$ die 1g (l/y)-Werte für alle Reynoldsschen Zahlen gleich groß sind. Die Gleichheit dieser Werte liefert einen neuen Beweis dafür, daß in diesem Bereich der Reynoldsschen Zahlen, abgesehen von unmittelbarer Wanduähe, ein Einfluß der Zähigkeit nicht vorhanden ist.

lg (10 l|y) in Abhängigkeit von lg η

Zahlentafel 6

 lly in Abhängigkeit von ylr und \lg (100 lly) in Abhängigkeit von $\lg \eta$.

l= Mischungsweg; y= Abstand von der Wand; $\eta=\frac{v_*\,y}{r}=$ dimensionsloser Wandabstand; $v_*=\sqrt{\frac{\tau_0}{\varrho}}=$ Schubspannungsgeschwindigkeit; r= Rohrhalbmesser; Re= Reynoldssche Zahl; $\tilde{u}=$ mittlere Geschwindigkeit.

	$\eta_{\tilde{I}}$	lļy	η	l/y	η	l/y	η	l y	2)	ljy	27	ljy	η	lįy	η	·liy
yh	Re = 4 $r = 0$		Rc = 6, $r = 0,$		Re = 9, $r = 0,$		Rc=16 $r=0,3$		Re = 25 $r = 0,$		Re = 43 $r = 1,0$			05·10 ⁸ ,5 cm	Re = 20 $r = 2$	
0,02 0,04 0,07 0,10 0,15 0,20 0,30 0,40 0,50 0,60 0,70 0,90 0,98	136,0	0,550 0,501 0,460 0,422 0,379 0,333 0,295 0,264 0,237 0,213	4,03 8,10 14,1 20,2 30,2 40,3 60,5 80,5 101,0 121,0 161,0 181,2 193,5 197,5	0,569 0,531 0,485 0,446 0,410 0,876 0,289 0,261 0,229 0,208 0,190 0,1735 0,164 0,1603	5,75 11.5 20,1 28,7 43,1 57,5 86,3 115,0 1143,8 172,5 201,0 230,0 258,5 276,0 282,0	0,552 0,515 0,470 0,443 0,409 0,371 0,288 0,256 0,224 0,206 0,184 0,165 0,1615 0,1595		0,518 0,493 0,468 0,433 0,404 0,360 0,280 0,248 0,217 0,200 0,179 0,161 0,1563 0,1535	13 26 46 65 98 130 195 260 325 390 455 520 585 624 636	0,510 0,488 0,464 0,429 0,392 0,350 0,272 0,243 0,215 0,1965 0,1785 0,160 0,153 0,1512	45,2 79,1 113,0 169,4 226,0	$\begin{array}{c} 0,495 \\ 0,475 \\ 0,450 \\ 0,423 \\ 0,376 \\ 0,393 \\ 0,291 \\ 0,262 \\ 0,2346 \\ 0,2083 \\ 0,1920 \\ 0,1716 \\ 0,1574 \\ 0,1515 \\ 0,1480 \end{array}$	50 100 175 2.0 376 500 752 1000 1251 1504 1754 2000 2260 2405 2460	$\begin{array}{c} 0,470 \\ 0,447 \\ 0,430 \\ 0,400 \\ 0,364 \\ 0,326 \\ 0,284 \\ 0,227 \\ 0,206 \\ 0,187 \\ 0,171 \\ 0,1555 \\ 0,1478 \\ 0,146 \end{array}$	181 317 453 680 906 1360 1810 2260 2720 3170 3620 4075	0,45 0,43 0,41 0,38 0,35 0,25 0,25 0,20 0,18 0,17 0,14
	Rc = 39 $r = 2,$		Re = 7 $r = 2$		Re = 1 $r = 5$			536 · 10 ³ ,0 cm	Rc = 1 $r = 5$			350 · 10 ³ ,0 cm		790 · 10 ² ,0 cm	$ \begin{vmatrix} Re = 35 \\ r = 5 \end{vmatrix} $	
0,02 0,04 0,07 0,10 0,15 0,20 0,30 0,40 0,50 0,60 0,70 0,80 0,90 0,96	0,164 0,328 0,574 0,820 1,230 1,64 2,46 3,28 4,10 4,92 5,745 6,56 7,72 7,87 8,65	0,439 0,423 0,404 0,380 0,380 0,322 0,277 0,255 0,227 0,207 0,184 0,166 0,154 0,145	0,284 0,566 0,990 1,419 2,122 2,835 4,250 5,00 8,50 9,90 11,32 12,75 18,60 18,90	0,427 0,410 0,399 0,375 0,389 0,316 0,282 0,249 0,222 0,203 0,185 0,166 0,151 0,145 0,145		0,281 0,203 0,226 0,206 0,188 0,169 0,154 0.146	0,566 1,13 1,98 2,83 4,25 5,66 8,50 11,30 14,15 17,00 22,60 25,50 27,26 27,26 27,50	0,411 0,394 0,875 0,356 0,384 0,312 0,274 0,248 0,221 0,208 0,184 0,167 0,152 0,141	0,704 1,41 2,46 3,52 5,27 7,04 10,54 14,08 17,58 21,12 24,62 28,16 31,62 32,75 82,45	0,406 0,889 0,372 0,355 0,381 0,311 0,276 0,224 0,202 0,185 0,166 0,143 0,141	0,834 1,668 2,92 4,16 6,25 8,34 12,51 16,68 20,85 25,02 29,19 33,36 37,53 40,00		1,93- 3,380 4,831 7,25 9,67 14,50	0,253 0,222 0,205 0,185 0,167 0,152 0,145	1,11 2,22 3,88 5,55 8,33 11,10 16,65 22,20 27,74 33,30 44,40 56,0 56,0 56,8	+0,2 -0,2 -0,2 -0,2

11;

	1./2-
	$Rc = 205 \cdot 10^3$ r = 2,5 cm
	0,0092 0,0175 0,0290 0,0389 0,0532 0,0649 0,0845 0,1016 0,1210 0,1305 0,1360 0,1395 0,1411 0,1400
)8	$Re = 3240 \cdot 10^{3}$ r = 5,0 cm
	0,0079 0,0150 0,0248 0,0338 0,0481 0,0604 0,0833 0,1000 0,1130 0,1211 0,1310 0,1359

5. Ahnlichkeitsbetrachtung

In neuerer Zeit gelang es v. Kármán ²⁴), von einem anderen Gesichtspunkt aus den Prandtlschen Mischungswegansatz zu begründen.

Über den Charakter der Abhängigkeit der turbulenten Spannungen vom Strömungsfeld kann man heutzutage noch zwei erundsätzlich verschiedene Annahmen machen. Man kann annehmen, daß die turbulenten Spannungen sich nur aus dem ganzen Strömungsfeld mit seinen Randbedingungen durch ein "Integralgesetz" erklären lassen, oder aber, daß die turbulenten Spannungen in einem herausgegriffenen Punkte schon durch das Verhalten der nächsten Umgebung stets in derselben Weise, also durch ein Differentialgesetz bestimmt sind. Für die durch die Molekularbewegung erzeugten Spannungen, also für laminare Reibung gilt bekanntlich ein Differentialgesetz; die laminaren Spannungen lassen sich durch das an dem betreffenden Orte herrschende Geschwindigkeitsgefälle und die Konstante der inneren Reibung ausdrücken:

$$\tau = \mu \frac{d u}{d u}.$$
 (36)

v. Kármán prüft die Annalune eines Differentialgesetzes für die turbulenten Spannungen. Damit ein solches bestehen kann, müssen offenbar die Nebenbewegungen, soweit sie in sich zusammenhängen, keine große räumliche Ausdehnung haben, und ferner müssen sie in den einzelnen Punkten des Strömungsfeldes älmlich verlaufen. Da die Betrachtung nur für große Reynoldssche Zahlen gilt, kann man im allgemeinen auch den Einfluß der Zähigkeit vernachlässigen.

Die mathematische Formulierung ist nun einfach. x. Kármán macht nun noch die für die folgende Ableitung nicht unbedingt erforderliche Voraussetzung, daß die Nebenbewegung in einem Koordinatensystem, das an der Hauptbewegung des zu betrachtenden Punktes teilnimmt, stationär sei. Die ganze Bewegung sei zweidimensional, die Hauptbewegung U in der x-Richtung sei nur von der Querkoordinate y abhängig. Den Anfangspunkt des oben eingeführten Koordinatensystems lassen wir mit dem ins Auge gefaßten Punkte zusammenfallen, so daß die Haupt-geschwindigkeit in der Umgebung des betrachteten Punktes

$$U = U_0' y + \frac{U_0''}{2} y^2 + \dots$$
 (37)

wird. Die gesamte Stromfunktion \varPsi wird mit ψ als Stromfunktion der Nebenbewegung

$$\Psi(x, y) = \frac{U_0' y^2}{2} + \frac{U_0'' y^3}{6} + \dots + \psi(x, y).$$
 (38)

Da ψ sich nun beim Übergang zu einem anderen Punkt ähnlich verändern soll, wird es sieh hierbei nur um einen Faktor A, der ein Maß für die Intensität der Schwankungsbewegung ist, und einen Längenmaßstab l für die räumlichen Abmessungen des Strömungsfeldes ändern, d. h. also, wenn wir

$$x = l \xi, \quad y = l \eta, \quad \psi = A f(\xi, \eta)$$
 (39)

setzen, soll $f(\xi, \eta)$ unabhängig von der Wahl der untersuchten Stelle sein.

Wenn man aus den Eulerschen Differentialgleichungen für eine ebene, stationäre, reibungslose Strömung

$$u\frac{\partial u}{\partial x} + v\frac{\partial u}{\partial y} = -\frac{1}{\alpha}\frac{\partial p}{\partial x}, \quad u\frac{\partial v}{\partial x} + v\frac{\partial v}{\partial y} = -\frac{1}{\alpha}\frac{\partial p}{\partial y}$$

 $\begin{array}{c} u\frac{\partial \, u}{\partial \, x} + v\,\frac{\partial \, u}{\partial \, y} = -\,\frac{1}{\varrho}\,\frac{\partial \, p}{\partial \, x}, \qquad u\frac{\partial \, v}{\partial \, x} + v\,\frac{\partial \, v}{\partial \, y} = -\,\frac{1}{\varrho}\,\frac{\partial \, p}{\partial \, y} \\ \text{den Druck } \, p \, \text{eliminiert, indem man die erste Gielehung nach } \, \mu \, \text{und die zweite nach } \, x \, \, \text{differentiert und dann durch} \end{array}$

$$u = U + u' = \frac{\partial \Psi}{\partial u}$$
 and $v = v' = -\frac{\partial \Psi}{\partial v}$

wo w und r' die Geschwindigkeitskomponenten der Neben-

24) Vgl. Fußnote 18, S. 2

bewegung bedeuten, die Stromfunktion einführt, so erhält

man
$$\frac{\partial y}{\partial y} \cdot \frac{\partial \mathcal{Y}}{\partial x} - \frac{\partial \mathcal{Y}}{\partial x} \cdot \frac{\partial \mathcal{Y}}{\partial y} = 0 ,$$
 (40) wo \mathcal{A} den Laplaceschen Operator

$$\mathcal{L} = \frac{\delta^2}{\delta x^2} + \frac{\delta^2}{\delta y^2}$$

bedentet.

$$\left(U_0'y + \frac{\partial \psi}{\partial y}\right)\frac{\partial \mathcal{L}\psi}{\partial x} - \frac{\partial \psi}{\partial x}U_0'' - \frac{\partial \psi}{\partial x} \cdot \frac{\partial \mathcal{L}\psi}{\partial y} = 0, \quad (41)$$

bedeutet. Nach Einführung der obigen Ansätze (38) erhält man in der nüchsten Umgebung des betrachteten Punktes
$$\left(\mathcal{U}_{0}' \, y + \frac{\delta \, \psi}{\delta \, y} \right) \frac{\delta \, \mathcal{L} \, \psi}{\delta \, x} - \frac{\delta \, \psi}{\delta \, x} \, \mathcal{U}_{0}'' - \frac{\delta \, \psi}{\delta \, x} \cdot \frac{\delta \, \mathcal{L} \, \psi}{\delta \, y} = 0 \,, \quad (41)$$
 und in den dimensionslosen Größen $f, \, \xi$ und η_{1}
$$\mathcal{U}_{0}' \, \mathcal{V}_{1} \, \frac{A}{l^{2}} \, \frac{\delta \, \mathcal{L} \, f}{\delta \, \xi} - \frac{A}{l} \, \frac{\delta \, f}{\delta \, \xi} \, \mathcal{U}_{0}'' + \frac{A^{2}}{l^{2}} \left(\frac{\delta \, f}{\delta \, \eta} \cdot \frac{\delta \, \mathcal{L} \, f}{\delta \, \xi} \right) - \frac{\delta \, f}{\delta \, \xi} - \frac{\delta \, f}{\delta \, \xi} \right) = 0 \,, \quad (42)$$

wo die Differentiation von f jetzt auf die neuen Variablen ξ und η bezogen ist. Der Strich bei U bedeutet jedoch Differentiation nach g. Damit sich f unabhängig von der betrachteten Stelle also von A I I'' und I''' erribt betrachteten Stelle, also von A, l, U_0 ' und U_0 '' ergibt müssen die Koeffizienten dieser Differentialgleichung für konstant sein. Nach Division der Gleichung (42) durch

$$\frac{U_0^{\prime\prime}}{A} l^2 \eta \frac{\hat{c} \Delta f}{\hat{c} \xi} - U_0^{\prime\prime\prime} \frac{l^2}{A} + \left(\frac{\hat{c} f}{\hat{c} y} \cdot \frac{\hat{c} \Delta f}{\hat{c} \xi} - \frac{\hat{c} f}{\hat{c} \xi} \cdot \frac{\hat{c} \Delta f}{\hat{c} \eta}\right) = 0. \quad (43)$$
Es muß also sein
$$U_0^{\prime\prime} \frac{l^2}{A} = \text{const}, \qquad U_0^{\prime\prime\prime} \frac{l^2}{A} = \text{const}$$

$$U_0''\frac{l^2}{A} = \text{const}, \qquad U_0'''\frac{l^2}{A} = \text{const}$$

$$U_{6}^{\prime}\sim rac{A}{l^{2}}, \qquad U_{6}^{\prime\prime}\sim rac{A}{l^{3}} \qquad (\sim ext{ bedeutet proportional})$$

$$l \sim \frac{U_0'}{U_0''}, \qquad A \sim \frac{{U_0'}^3}{{U_0''}^2} \sim l^2 U_0'.$$
 (44)

Für dieses Resultat läßt sich nach Betz 25) auch die folgende sehr anschauliche Ableitung geben:

Die Geschwindigkeitsschwankungen der u-Komponente einer bestimmten Schicht der Hauptströmung mit der mittleren Geschwindigkeit U_0 kommen dadurch zustande, daß infolge der turbulenten Querbewegung Teilchen aus benachbarten Schichten mit größerer bzw. kleinerer Geschwindigkeit in die Schicht U_0 eindringen und dabei ihr ursprüngliche Geschwindigkeit beibehalten. Stammen dies Teilchen aus Gebieten, die um die Strecke la von der be trachteten Schicht entfernt sind, so ist ihre Geschwindig keit $U_0 + l_1 U_0'$, die Schwankung der u-Komponente is der Schicht Ua also gleich

$$u' = \pm l_1 U_0'. \tag{}$$

Diese Überlegung kann man noch weiter ausdehnen. Auße ihrer Geschwindigkeit $U_0 + l_1 \, U_0'$ führen die Teilchen be der Querbewegung auch ihre mittlere Drehung

$$\zeta = \operatorname{rot} U = U'$$

mit sich; $\zeta_0 = \operatorname{rot} \ U_0 = U_0'$ ist die mittlere Drehung i der betrachteten Schicht U_0 , und $\zeta = \zeta_0 \pm l_1 \zeta_1 = \zeta_0 \pm l_1 U_0''$ diejenige in der um $\pm l_1$ entfernten Schichten. Die Drehung der durch die Querbewegung in di Schicht Uo gelangten Teilchen weicht also von der hier von handenen mittleren Drehung um den Betrag

$$\zeta - \zeta_0 = l_1 U_0^{"}$$

ab. Diese Teilchen bilden also ein System von rechts- un linksdrehenden Wirbeln, und die turbulenten Störung geschwindigkeiten kann man jetzt als Feld dieser Wirb auffassen. 1st 12 der mittlere Abstand der rechts- un linksdrehenden Teilchen, so ist im Durchmesser $\sim l_2$. die Strömungsgeschwindigkeit d= d zwiselien zwei Wi

² A. Lett. D. . Elements in Aminth-Reithbertegning für turf-jeite Verphine in physikalischer Auffassung. Z. angew. Math. Meel Ed. 11 (1981). S. 387.

führt, so erhält

ı erhält man in unktes

$$\frac{5 \, \Delta \, \psi}{\hat{0} \, y} = 0 \,, \quad (41)$$

$$\left(\frac{2f}{\eta}\right) = 0, \quad (42)$$

neuen Variablen oedeutet jedoch phängig von der ad U_0'' ergibt, lgleichung für f ung (42) durch

$$\left|\frac{\partial \Delta f}{\partial \eta}\right| = 0. \quad (43)$$

nst

proportional)

$$U_0'$$
. (44)

15) auch die fol-

u-Komponente ng mit der mittı zustande, daß eilchen aus be-

kleinerer Geı und dabei ihre . Stammen diese ≥ l1 von der bere Geschwindig--Komponente in

asdehnen. Außer die Teilchen bei

lere Drehung in $\zeta = \zeta_0 \pm l_1 \zeta_0'$ tfernten Schichewegung in die von der hier vor-

von rechts- und enten Störungsd dieser Wirbel ler rechts- und iesser $\sim l_2$. Für schen zwei Wir-

eriegung für turba-ngen. Math. Mech.,

beln erhält man dann

$$v' \sim l_2 (\xi - \xi_0) \sim l_2 l_1 U_0''$$
. (46)

Wegen der vorausgesetzten Ähnlichkeit der turbulenten Schwankungsbewegung muß $u' \sim v'$ und $l_1 \sim l_2$ sein, so daß man statt l1 und l2 einen gemeinsamen Längenmaßstab l einführen kann. Damit hat man aus (45) und (46) 1 U' ~ 12 U"

$$l \sim \frac{U_0'}{U_0''}$$
(47)

in Übereinstimmung mit dem v. Kármánschen Ergelmis.

Früher hatten wir für die turbulente Schubspannung τ

 $\tau = - \varrho \, \overline{u' \, v'}$

wobei u' und v' die Komponenten der Geschwindigkeitsschwankungen bedeuten. Es ist also

$$\tau = \varrho \frac{\partial \psi}{\partial x} \cdot \frac{\partial \psi}{\partial y} = \varrho \frac{A^2}{l^2} \frac{\partial f}{\partial \xi} \cdot \frac{\partial f}{\partial y}$$

$$\tau = \varrho \, l^2 \, U_0'^2 \, \frac{\partial f}{\partial \xi} \cdot \frac{\partial f}{\partial \eta}; \tag{48}$$

da f unabhängig von x und y ist, hat man den Prandtlschen Ansatz für den Mischungsweg

$$\tau = \varrho l^2 \left| \frac{d U}{d y} \right|^2 \tag{49}$$

 $\tau = \varrho \; l^2 \; \left| \frac{d \; U}{d \; y} \right|^2 \tag{49}$ bestätigt. Darüber hinaus erhält man für l eine explizite Formel

$$l = \varkappa \frac{d U}{d y} / \frac{d^2 U}{d y^2}$$
 (50)

mit einer universellen dimensionslosen Konstanten z.

Über den Gültigkeitsbereich der obigen Betrachtung kann man von vornherein sagen, daß er dort aufhört, wo U' oder U'' verschwinden, da dann Ψ in der Umgebung des betrachteten Punktes sich nicht mehr wie in der oben ange-schriebenen Störungsgleichung (41) annähern läßt. Daß der Punkt, in dem der Differentialquotient der Hauptbewegung sein Vorzeichen wechselt (in der Mitte des Kanals), daß sich auf beiden Seiten schwächer bewegte Flüssigkeit befindet, vor den anderen Punkten ausgezeichnet ist, läßt sich auch unmittelbar anschaulich einsehen. Natürlich bleibt die ganze Betrachtung unvollkommen, so lange man nicht wirklich eine Lösung der obigen Störungsgleichung von der verlangten Art her-

Ableitung der Geschwindigkeitsverteilung in Rohr und Kanal

Man kann nun mit den Formeln (49) und (50) für die Schubspannung und den Mischungsweg leicht die Geschwindigkeitsverteilung im Kanal oder im Kohr ausrechnen; denn die Schubspannung ist hier linear verteilt. so daß man mit τ_0 als Schubspannung an der Wand und yals Abstand von der Mitte des Rohres und r als Rohrradius hat

$$\tau = \tau_0 \frac{y}{r}$$
.

Andererseits ist nach Gl. (49) und (50):

$$\tau_0 \frac{y}{r} = \varrho l^2 \left(\frac{d U}{d y}\right)^2 = \varrho \varkappa^2 \frac{\left(\frac{d U}{d y}\right)^4}{\left(\frac{d^2 U}{d y^2}\right)^2}$$

$$\frac{U''}{U'^2} - \lambda \frac{\sqrt{\tau}}{v_*} \cdot \frac{1}{\sqrt{y}},$$

$$v_{\circ} = \sqrt{\frac{\tau_{0}}{\varrho}}$$
.

mit $r_0 = \sqrt{\frac{\tau_0}{\varrho}} \; .$ Diese Gleichung läßt sich sofort integrieren:

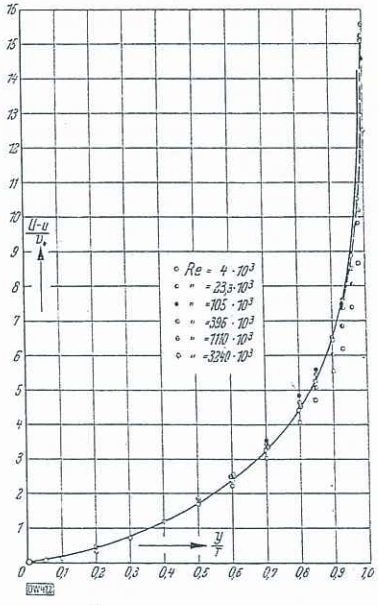
$$-\frac{1}{C'}=2\varkappa\frac{1}{r_0}(1\overline{\mu}-a).$$

wo a eine Integrationskonstante ist,

$$" = \frac{1}{2 \varkappa} \frac{v_{\oplus}}{\left| \frac{1}{r} \frac{1}{(a - \left| \frac{1}{y} \right|)} \right|}.$$

oder $U' = \frac{1}{2\,z}\,\frac{v_*}{\left| {}'\,r\,}\,\frac{1}{(a-\left| {}'\,y\right|)}\,.$ Die Integrationskonstante a wird aus der Randbedingung für U' bestimmt. Für sehr große Reynoldssche Zahlen ist $\frac{d U}{d y}$ nahe der Wand sehr groß und nähert sich dem laminaren Wert $\frac{d}{dy} \frac{U}{dy} = \frac{\tau_0}{\mu}$, der wegen der Kleinheit von μ sehr groß ist. Wir können, ohne einen großen Fehler zu begehen, die Stelle wo $\frac{d}{dy}$ mendlich wird, mit der Wand (y=r) zuter veralten wir die Integrationssammenfallen lassen. Damit erhalten wir die Integrationskonstante zu $a = \sqrt{r}$ und

$$\frac{d U}{d y} = -\frac{1}{2 \varkappa} \frac{v_*}{\sqrt{r}} \frac{1}{(\sqrt{r} - \sqrt{y})}$$



 $\frac{U_{\max} - u}{v_{::}}$ in Abhängigkeit von y/r

und durch Integration zwischen den Grenzen 0 und y

$$\frac{U_{\text{max}} - U}{v_{\text{sp}}} = -\frac{1}{\varkappa} \left[\ln \left(1 - \sqrt{\frac{y}{r}} \right) + \sqrt{\frac{y}{r}} \right]. \tag{51}$$

Der Mischungsweg steigt nach dieser Lösung von der Wand linear an, wovon man sich auch in folgender Weise einfach überzeugen kann. In dieser Gegend ist die Schubspannung noch annähernd au_0 , so daß hier die Gleichung

$$\tau_0 = \varrho \, \varkappa^2 \, \frac{U^{\prime \, 4}}{U^{\prime \prime \, 2}}$$

gilt. Folglich ist hier mit
$$y_1$$
 als Wandabstand
$$-\int_r^{r-\frac{U}{U'}} \frac{U''}{U'^2} dy = \left[\frac{1}{U'}\right]_{r-y} = \int_r^{r-y} v_* dy = \frac{\varkappa y_1}{v_*},$$

wobei die Integrationskonstante vorbehaltlich späterer Verfeinerung (s. Abschn. über Widerstandsgesetz) angenähert gleich Null gesetzt werden kann, da U' an der Wand in der Tat sehr groß wird. Danach wird

$$U'' = - \times v_* \cdot \frac{1}{y_1^2}$$

$$I = \times \left(\frac{U''}{y_2^2}\right) = \times y_2. \tag{52}$$

wie behauptet wurde. In welchem Barston fless Beziehung durch wissers Experiments bestärigt wird, geltt nus Abb. 30

Widerstandsgeset:

Unabhängig von dieser Theorie hat v. Kärmän eine recht befriedigende Erklärung des Widerstandsgesetzes in glatten und rauhen Rohren gegeben.

Für die Betrachtung nimmt er über den Mischungsweg nur an, daß dieser von der Wand aus zunüchst steigt (l = zy, wo y jetzt wieder den Wandabstand bedeutet) und im übrigen in allen Rohren unabhängig von der Wandbeschaffenheit und der Zähigkeit einen ähnlichen Verlanf hat.

$$\frac{1}{r} = z \frac{y}{r} f\left(\frac{y}{r}\right) \text{ mit } f = 1 \text{ für kleine } \frac{y}{r}$$

$$(53)$$

$$l = \varkappa \cdot y \cdot f\left(\frac{y}{r}\right); \tag{53}$$

eine Zone unmittelbar an der Wand, wo laminare Strömung herrscht, muß natürlich ausgeschlossen bleiben. Die Gleich-

gewichtsbedingung lautet:
$$\tau_0 = \varrho \, l^2 \left(\frac{d \, U}{d \, y} \right)^2 = \tau_0 \left(1 - \frac{y}{r} \right)$$
 oder wegen Gl. (53)

$$\varkappa \cdot y \cdot f\left(\frac{y}{r}\right) \cdot \left(\frac{d \ \mathcal{U}}{d \ y}\right) = v_* \sqrt{\left(1 - \frac{y}{r}\right)};$$

 $\varkappa \cdot y \cdot f\left(\frac{y}{r}\right) \cdot \left(\frac{d}{d}\frac{U}{y}\right) = v_* \sqrt{\left(1 - \frac{y}{r}\right)};$ und wenn man zwischen den Grenzen y und r integriert,

$$U_{\text{max}} - U = v_* \int_y^r \frac{1(1 - y/r)}{z \cdot y \cdot f(y/r)} \cdot dy$$

$$U_{\text{max}} - U = v_* g\left(\frac{y}{r}\right). \tag{5}$$

wo g für alle glatten Rohre dieselbe Funktion ist. Die Gleichung $\frac{U_{\text{max}} - U}{v_{+}} = f(y/r)$ ist nach unseren Versuehen

errechnet und in Zahlemafel 7 wiedergegeben. Diese Al hängigkeit ist in Abb. 31 dargestellt. Linie dieser Abbildung ist die Geschwindigkeitskurve nach Gl. (51) mit z=0,36. Die gestrichelte Kurve ist durc die Versuchspunkte gezogen. Man sieht, daß in der Näl der Wand die gerechnete Geschwindigkeitskurve von d gemessenen eine Abweichung zeigt. Das kommt daher, da die Ähnlichkeitsbetrachtung in der Nähe der Wand, wo e Einfluß der Zähigkeit vorhanden ist, nicht erfüllt ist.

Die Reibung oder Rauhigkeit hat auf das Innere der nach nur Einfluß in Form einer Randbedingung. Die findet r. Karman bei glatten Rohren in folgender Weis In einer dünnen Schicht an der Wand von der Dicke d die Geschwindigkeit nur durch die Zähigkeit bestimm daran soll sich unmittelbar die nach den obigen Forme mit Hilfe des Mischungsweges errechnete Geschwindigkei verteilung anschließen. Dies ist natürlich eine nur se vereinfachte Darstellung des Zähigkeitseinflusses. also nur bis auf den Wert zø abnehmen. Ø kann ander seits nach dem bekannten Gedankengang, der nach Pran und v. Kármán zu den Geschwindigkeitsgesetzen in War nähe (1/7-Potenzgesetz u. a.) führte, nur von physika schen Größen in Wandnähe τ₀, φ, μ abhängen. Man se

$$\delta = \frac{\alpha}{2} \cdot \frac{\gamma}{r}$$

 $\delta = \frac{\alpha}{\varkappa} \cdot \frac{r}{r_*},$ wobei α wieder eine von der Reynoldsschen Zahl un hängige, dimensionslose Konstante ist. In der Lamir schicht ist $\tau_0 = \mu \frac{d u}{d y}$; an ihrem Rande hat man demn die Geschwindigkeit

$$U_1 = \frac{\alpha}{2} v_{\oplus}$$
.

Die Geschwindigkeit außerhalb der Laminarschicht v

Zahlentafel 7

 $\frac{U-u}{}$ in Abhängigkeit von v/r

Re	4	6,1	9,2	16,7	23,3	43,4	105	205	396	725	1110	1596	1959	2350	2790	3:
yjr	<u>U-u</u>	$\frac{U-u}{v_*}$	$\frac{U-u}{v_s}$	$\frac{U-u}{v_*}$	$\frac{U-u}{v_*}$	$\frac{U-u}{v_*}$	$\frac{U-u}{r_*}$	$\frac{U-u}{v_*}$	$\frac{U-x}{v_*}$	$\frac{U-u}{v_*}$	$\frac{U-u}{v_*}$	$\frac{U-u}{v_*}$	$\frac{U-u}{v_*}$	$\frac{U-u}{v_*}$	$\frac{U-u}{v_*}$	U
1,00	** 12,52	12,92	13,48	12,50	15,20	15,50	14,60	16,65	16,30	14,90	15,60	16,00 11,05	14,90	13,09 10,36	13,80 10,50	18
0,98	8,66	8,98 7,65	9,15 7,80	8,65 7,45	9,65 8,06	9,48 8,00	10,60 8,88	10,59 8,95	10,20 8,50	10,54 8,71	11,06	9,11	8,54	8,79	9,30	
0,96 0,93	7,40 6,20	6,36	6,76	6,39	6,86	6,74	7,51	7,64 6.66	7,35 6,45	7,31 6,45	7,59 6,55	7,51 6,41	7,35 6,45	7,39 6,33	7,51	1
0,90 0,85	5,53 4,69	5,63 4,73	5,74	5,67 4,77	6,06 5,10	5,99 5,05	6,62 5,61	5,56	5,45	5,33	5,35	5,49	5,37	5,25	5,23	
0,80	4,04	4,06	4,07	4,14	4,42 3,28	4,35 3,24	4,84 3,52	4,65 3,50	4,66 3,45	4,56 3,40	4,52	4,50 3,28	4,60 3,38	4,45 3,28	4,40 3,18	
0,70 0,60	3,02 2,26	3,05 2,32	3,10	3,20 2,33	2,42	2,38	2,58	2,64	2,58	2,52	2,50	2,40	2,53	2,40 1,70	2,38 1,71	
0,50	1,68	1,71 1,23	1,74 1,29	1,73 1,24	1,74	1,75	1,89 1,26	1,95	1,87	1,80	1,77 1,20	1,75 1,17	1,82 1,24	1,11	1,17	
0,40 0,30	1,21	0,83	0,84	0,83	0,77	0,78	0,84	0,86	0,82	0,80 0,45	0,76	0,75 0,39		0,70	0,77	
0,20	0,39 0,13	0,48	0,52	0,48	0,43	0,45	0,47	0,57	0,46	1 2 2	0,15	0,14	0,13	0,09	0,17	
0,10 0,0 1	0,05	0,07	0,065	0,06	0,046	0,067	0,052	1	0,07	0,04	0,04			0,03		- 1
0,02	6,08 0,00	0,02	0,020	1	0.023					The second	1	1		and the same		

 $U = \text{maximale Geschwindigkeit: } v_* = \text{jeweilige Geschwindigkeit: } v_* = \sqrt{\frac{\tau_b}{v}} = \text{Schubspannungsgeschwindigkeit:}$ $\tau_{c}=$ Schubspannung an der Wand: $\epsilon_{c}=a\frac{T^{2}}{2}=$ Staudrock der maximaler Geschwindigkeit:

 $\varrho = \text{Dichte}: \ \varrho = \text{Abstante von der Rehrmitte}: \ = \text{Rehrmatomesser}$

eben. Diese Ab-Die ausgezogene gkeitskurve nach Zurve ist durch daß in der Nähe skurve von der ommi daher, daß er Wand, we ein it erfüllt ist.

das Innere demedingung. Diese folgender Weise. n der Dicke 6 ist igkeit bestimmt, obigen Formeln Jeschwindickeitsch eine nur sehr influsses. l soll d kann andererder nach Prandtl esetzen in Wandır von physikalingen. Man setzt

shen Zahl unab-In der Laminarat man demniach

inarschicht wird

50	2790	3240
<u>- u</u>	$\frac{U-u}{v_*}$	$\frac{U\!-\!u}{v_*}$
,09	13,80	15,10
,36	10,50	10,54
,79	9,30	8,90
,39	7,51	7,50
,33	6,47	6,45
,25	5,23	5,29
,45	4,40	4,45
,28	3,18	3,30
,40	2,38	2,40
,70	1,71	1,73
,11	1,17	1,56
,70	0,77	0,72
34	0,42	0,36
,09	0,17	0,13
,03	0,05	0,05
,02	0.01	0,02
,00	0,00	0,00

hwindigkeit;

it:

$$U = \int\limits_{0}^{y} r_{\#} \sqrt{\left(1 - \frac{y}{r}\right)} \frac{1}{z \cdot y \, f\left(y \mid r\right)} \, d\, y + U_{1} \, .$$

Da der hauptsächliche Geschwindigkeitsanstieg sehr nahe der Wand erfolgt, genügt es, die Integration mit f(y/r)= 1 durchzuführen. Damit wird mit neuen Konstanten c und β näherungsweise

Umax =
$$\frac{1}{z}v_* [c - \ln \frac{\delta}{z} + a] = \frac{1}{z}v_* [\ln \frac{r \cdot v_*}{r} + \beta]$$
. (55)
Führt man die auf die maximale Geschwindigkeit bezogene

Widerstandsziffer

$$\psi = \frac{2}{U_{\text{max}}^2} v_{\text{H}^2}$$

und dementsprechend die Reynoldssche Zahl

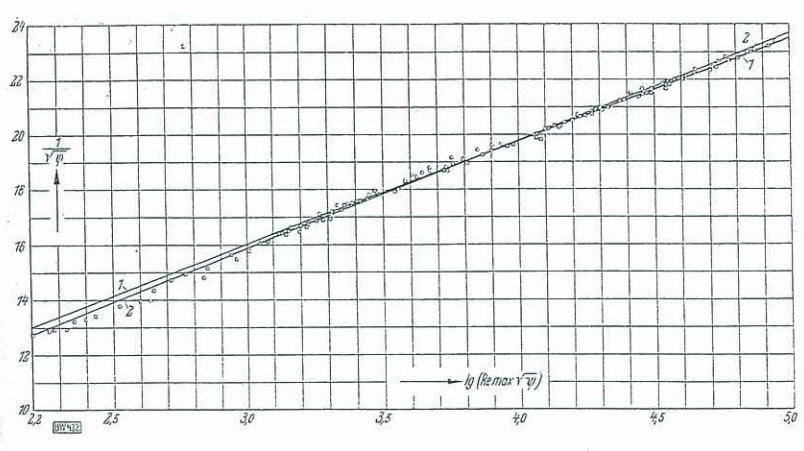
$$Re_{\max} = \frac{U_{\max} r}{r}$$

Außerdem haben wir für die folgenden Näherungsrechnungen eine zweite Gerade (2) gelegt, welche die Punkte im mittleren Bereich besonders berücksichtigt; ihre Gleichung ist

$$\frac{1}{\sqrt{\psi}} = 4.16 + 3.90 \lg \left(Re_{\max} \sqrt{\psi} \right). \tag{56b}$$

Ähnlichkeitsbetrachtung nach Prandtl

Der Grundgedanke der oben ausführlich dargestellten v. Karmanschen Ähnlichkeitsbetrachtung ist die Annahme der geometrischen und mechanischen Ähnlichkeit des turbulenten Austauschmechanismus. Durch die Hypothese, daß die turbulente Schwankungsbewegung an verschiedenen Stellen der Hauptströmung sich nur durch einen Längen- und Zeitmaßstab unterscheidet, gelangt v. Kúrmán zu seinem universalen Geschwindigkeitsverteilungsgesetz für Kanal- und Rohrströmungen.



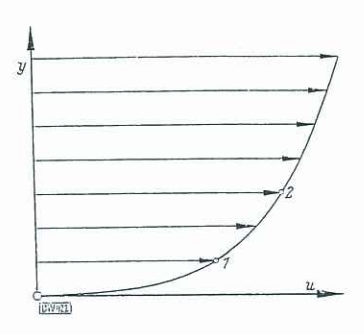


Abb. 32. $\frac{1}{\sqrt{v}}$ in Abhängigkeit von lg $(Re_{\text{max}})^{\prime}\overline{v}$

Abb. 33. Definitionsskizze

ein, so ist
$$\frac{1}{\sqrt{\psi}} = \alpha + \frac{1}{\varkappa \sqrt{2}} \ln \left(Re_{\max} \sqrt{\psi} \right). \tag{56}$$

Die durch die Versuche ermittelten Werte für diese Gleichung sind in der Zahlentafel 8 wiedergegeben und in

chung sind in der Zamenbare \sim Abb. 32 dargestellt. Als Ordinate ist $\frac{1}{\sqrt{\psi}}$ und als Abszisse

die Ähnlichkeitsbetrachtung streng genommen für reibungslose Flüssigkeiten gilt, und deshalb für den Vergleich mit dem Experiment nur solche Strömungen in Frage kommen, bei denen der Einfluß der Zähigkeit im Rohrinnern sehr gering ist, haben wir eine Gerade (1) durch diejenigen Punkte gelegt, in denen praktisch kein Einfluß der Zähigkeit mehr vorhanden ist. Die Abb. 32 zeigt, daß unterhalb $\lg (Re_{\max}/\psi) = 3.6$ eine Abweichung von der eingetragenen Geraden vorhanden ist. Diese Abweichung nimmt mit abnehmendem lg $(Re_{max}|/\psi)$ zu. Das bedeutet, daß der Einfluß der Zähigkeit bei abnehmender Reynoldsscher Zahl immer stärker wird. Diese Gerade ist durch die Gleichung

$$\frac{1}{\sqrt{v'}} = A + B \lg \left(Re_{\max} \sqrt{v'} \right) \tag{56 a}$$

wiedergegeben. Die Konstanten A und B sind aus dieser Abbildung ermittelt und ergaben A = 4.75; B = 3.77. Wie die Überlegung zeigt, gilt die Gleichung dieser Geraden für alle Strömungen, die von der Zähigkeit unbeeinfinßt sind. Deshalb sind wir berechtigt, die Abhängigkeit $\frac{1}{|v|}$ von ig $|Re_{\max}||\overline{v}|$ mach beliebig großen Re_{\max} zu Von der Hauptströmung u=u(y) werden dabei nur der erste und zweite Differentialquotient $\frac{d}{d}\frac{u}{y}$ und $\frac{d^2u}{dy^2}$ in Betracht gezogen. $Prandtl^{26}$) steht auf dem Standpunkt, daß man eine solche Ähnlichkeit der Nebenbewegung streng genommen nur erwarten kann, wenn auch die Hauptbewegung derselben Ähnlichkeit genügt. Seien (1) und (2) zwei Punkte des Profils der Hauptströmung, so hat man beim Übergang von (1) zu (2) den Längenmaßstab wie y und den Zeitmaßstab wie $\frac{y}{u}$ zu ändern (y = Abstand von der Ähnlichkeitsachse). Die allgemeinste Geschwindigkeitsverteilung u(y), welche die Ähnlichkeitsbetrachtung erfüllt, d. h. deren Kurve bei Änderung des u(y) was der Moßstehen in ich übergeht y- und u-Maßstabes in sich übergeht, wird dargestellt durch die Gleichung

 $u = a y^n + b$, wobei a und b Konstanten bedeuten. Schon früher haben wir die für eine turbulente Strömung charakteristische Größe $v_* = \sqrt{\frac{\tau_0}{\varrho}}$ eingeführt $(\tau_0 = \varrho \, v_*^2)$. Die in dieser Weise durch die turbulente Sebubspannung τ_0 definierte

Größe v., welche die Dimension einer Geschwindigkeit hat, kann als ein Maß für die turbulente Storungsbewegung angesehen werden. Wegen der Gleichwertigkeit zweier Koordinatensysteme, die sich mit konstanter Geschwindigkeit gegeneinander bewegen, kann die turbulente Schwankungsgeschwindigkeit in einem beliebigen Punkt der Strömung von der Geschwindigkeit i der Hauptströmung

^{20.} Diese Theriegung wurde von Frankl in einer Ergenzungs-vorlesung zur Hydrodynamik, Sommer-Semester 1931, vorgetragen.

Zahlentafel 8

 $\frac{1}{\sqrt{v}}$ in Abhängigkeit von lg (Re_{max}) \overline{v}

			,	ן עי							_
Nr.	U_{max} cm/s	$Re_{max} \cdot 10^{-8}$	$\tau_0 \frac{\mathrm{Dyn}}{\mathrm{cm}^2}$	$Re_{max}\sqrt{\psi}\cdot 10^{-3}$	$\frac{1}{\sqrt[4]{\psi}}$	Nr.	$U_{max} \mathrm{cm/s}$	$L_{c_{max}} \cdot 10^{-3}$		Itemax] 'w · 10 - 3	332
		d ==	1 cm			61	187,0	38,5 44,8 53,5 23,5 32,4 46,1 101,7 121,5 180,0 155,8 232,0 285,0 388,0	0,0600 0,0788 0,1075 0,0300 0,0529 0,0876 0,370 0,360 0,610 0,800 0,946 0,940 1,425 1,850	2,23	17, 17, 17, 16
1	56,2	2.01	0,00995 0,01240 0,01375 0,0169 0,0190 0,0234 6,0275	0,159	12,72	62 63	218,0	44,8	0,0788	2,55	17
1 2 3	56,2 63,4	2,35	0,01240	0,183	12,88	64	126.0	23.5	0.0300	1.43	16
	66,6	2,46	0,01375	0,192	12,82	65	172,0	32,4	0,0529	1,92	16
4 5	66,6 74,6 80,4	2,76	0,0109	0,215	13.18	65 66 67	236,0	46,1	0,0876	2,56	18
6	90,0	3,33	0,0234	0,250	13,30	-08	168.0	101,7	0.360	6.43	18 18
7	90,0 98,5	3,65	0,0275	0,272	13,42	69	671.0	130,0	0,610	7,00	19
8 9	125,7	4,65	0,0425	0,337	13,77	70	770,0	155,8	0,800	8,00	19
10	152,5	5,65	0,0612	0,405	13,95	71	856,0	232,0	0,940	11,70	19 20
11	174	6,44	0,0753	0,450	14,34	-68 69 70 71 72 73	187,0 218,0 260,0 126,0 172,0 236,0 503,0 468,0 671,0 770,0 856,0 1068,0 1256,0	285,0	1,425	2,28 2,55 2,99 1,48 1,92 5,2,56 5,44 6,43 7,00 8,00 11,70 11,60 14,10 18,70	20 20
12 13	206	7,63	0,0275 0,0425 0,0595 0,0612 0,0753 0,1000 0,1300	0,518	14,71	74	1256,0	388,0	1,850	18,70	20
14	226	2,01 2,35 2,46 2,76 2,97 3,33 3,65 4,65 6,14 5,65 6,44 7,63 8,80 10,20 14,22	0,1806	0,159 0,183 0,192 0,213 0,225 0,250 0,272 0,387 0,440 0,405 0,450 0,518 0,590 0,690 0,920	12,72 12,88 12,82 12,95 13,18 13,30 13,42 13,77 13,97 14,95 14,34 14,71 14,93 14,79 15,48			d = 0	10 cm		
15	125,7 150,8 152,5 174 206 237,8 226 311	14,22	0,1806 0,3140	0,920	15,48	75 76	405	187,0	0,217	9,52	15
			2 cm	0.505	1 15 10	76 77	405 442 458 545 562 596 622	204,5 211.5	0,250	10,25	19
16 17	143,5 184,0 218,0 263,0 294,0 265,0 290,0 317,0 317,3 337	10,62	0,0460 0,0710 0,0983 0,1370 0,1645 0,134 0,1552 0,184 0,186 0,207 0,257 0,311	0,705 0,870 1,030 1,210 1,325 1,355 1,463 1,595 1,598 1,690 1,870 2,070 2,160 2,29	15,12	77 78 79	545	552,0	0,373	12,50	20
18	218,0	16,14	0,0983	1,030	15,74	79	562	261,0	0,396	12,92	20
19	263,0	19,48	0,1370	1,210	16,10	81	622	288.0	0,480	14,20	20 20 20 20 20
20 21	265.0	21,78	0.134	1,355	16.40	82	666	309,0	0,544	15,15	20
22	290,0	24,3	0,1552	1,463	16,60	80 81 82 83 84	693 770	324,0 346,0	0,585	16,80	21
23 24	317,0	26,6	0,184	1,595	16,69	85	813	366,5	0,790	17,70	$\frac{1}{2}$
25	337	28,27	0,207	1,690	16,70	85 86 87	896	404,0	0,943	19,36	2
26	384	32,2	0,257	1,870	17,10	88	948	430,5	1,200	20,60	2
27 28	450	37.7	0.340	2,160	17,42	88 89	976	450,0	1,110	21,48	2
29	475	39,9	0,379	2,29	17,41	90	1085	500,0	0.930	23,60	12
30 31	512	43,0	0,437	2,460	17,50	91 92 93	1443	640,0	2,270	29,80	2
32	384 424 450 475 512 547 596	50;0	0,580	2,825	17,65	93	1015	660,0	1,138	8 30,70	2
33	644	54,0	0,662	3,015	17,91	94 85	1155	760,0	1,44	0 34,80	2
34 35	644 768 827	10,62 13,62 16,14 19,48 21,78 22,2 24,3 26,6 26,0 28,27 35,6 37,7 39,9 43,0 46,0 54,0 64,4 69,4 69,4 69,5 82,6 88,1 99,5	0,811 0,340 0,379 0,437 0,495 0,580 0,662 0,925 1,032 1,2025	2,460 2,6160 2,825 3,015 3,575 3,775 4,060 4,430 4,710 5,310 5,700	15,12 15,62 15,74 16,10 16,40 16,60 16,65 16,70 17,10 17,42 17,41 17,58 17,65 17,91 18,00 18,35 18,55 18,60 18,79 18,95	96	1120	780,0	1,35	0 35,70	1
36	901 975 1040 1155	75,5	1,2025	4,060	18,55	91	1045	825,0 746.0	1,24	6 34.20	1 5
37 38	1040	82,6 88.1	1 5800	4,430	18,60	99	793	555,0	0,69	5 25,80	15
39	1155	99,5	1,3915 1,5800 1,9400 2,2200	5,310	18,71	100	882	617,0	0,85	0 28,50	1.
40	1254	.1		5,700	18,95		1108	775,0	1,30	9,52 10,25 10,70 12,50 12,92 13,60 14,20 15,15 15,80 16,75 17,70 19,36 20,04 20,60 21,48 20,60 21,48 30,70 29,80 35,70 34,80 35,70 34,80 35,70 34,20 55 28,50 0 35,70 0 31,00 15 35,40	2 2 2 2 2 2 2 2 2 2 2 2 2 2 2 2 2 2 2
4.5	1 400	d =	= 3 cm	9.54	17.04	1 103	666 693 770 813 896 1015 948 976 1085 915 1143 1015 1120 1170 1045 793 882 958 1108 882 958 1108 306 336	187,0 204,5 211,5 552,0 261,0 276,0 288,0 309,0 324,0 346,0 404,0 430,5 450,0 500,0 504,0 640,0 660,0 780,0 750,0 613,0 746,0 755,0 671,0 775,0 141,0 155,0 168,0 177,0 347,0 347,0 347,0 347,0 387,5 519,0 670,0 885,0 920,0	0,217 0,250 0,273 0,396 0,440 0,480 0,710 0,720 1,055 1,110 1,344 1,35 1,24 1,17 0,69 0,85 1,00 1,30 0,12 0,15 0,15 0,17 0,15 0,15 0,15 0,15 0,15 0,15 0,15 0,15	84 7,33 30 7,98	
41	483 530	63,5 69,8 78,0 88,8 99,4 108,0 118,6 137,0	0,371 0,428 0,525 0,652 0,820 0,935 1,140 1,480	3,54 3,81 4,22 4,70 5,38 5,64 6,20 7,06 7,96	17,94 18,31 18,48 18,80 18,80 19,18	105	364	168,0	0,17	77 8,59 97 9,05 50 16,75	
43	592	78,0	0,525	4,22	18,48	100	384	347.0	0,18	9,05 50 16.75	
4.4 4.5	657	88,8	0,652	4,70 5.38	18.80	108	937	387,5	1,04	18,70	
4.6	819	108,0	0,935	5,64	19,1	108 5 109 6 110 2 11	384 846 8 937 1168 1 1528	519,0	1,50	18,70 57 24,55 40 31,00 00 40,3	
47	901	118,6	1,140	6,20	19,08	3 110	1 1949	885.0	2,54	10 31,00	
48		156,0	1,910	7,96	19,45 19,60	11:	2 2020	920,0	4,1	70 41,6	
50		169,0	2.245	8,60	19,6	2 11:		978,0 1005,0	2,6°		
			= 5 cm	to a second	1	11	5 1869	1169,0	3,5	50 52,0	
53 52			0,024		16,2 16,8			· 1183,0 1220,0			
5			0,041	6 2.340	17,4		8 2207	1318,0	4,7	80 57,6	
5-	4 247,	0 50,2	0.098	5 2,820	17,8	0 11		1345,0	4,8	50 59,2	
5			0,130 0,015		17,9 16,0			1135,0 1470,0			
5		8 23,0	0,028	8 1,405	16,3	6 12	2 2446	1650,0	5,8	00 71,5	
5	8 125,	4 25,7	0,029	96 1,562 1,680	16,4 16,6			1610,0 1701,0			i
5 6			0.051		17,1			1930.0			
4			1		1		1		1		

 $w = \frac{\tau_0}{2} = \text{Widerstandszahl bezogen auf die maximale Geschwindigkeit: } \tau_0 = \text{Schubspannung an der Wand:} \\ q = \rho \frac{T^2}{2} = \text{Standruck der maximalen Geschwindigkeit: } n = \text{Dichte: } \tilde{R}^* = \frac{V \cdot r}{r} = \text{Reynoldssche Zahl} \\ \text{der maximalen Geschwindigkeit: } r = \text{Kohrhalb Zeisser. } r = \text{Kinematische Zähigkeit.}$

1 $J' \psi \cdot 10^{-3}$ VW 2,23 2,55 17,25 17,55 17,94 2,99 1,43 16,48 16,88 18,02 1,92 2,56 5,44 18,70 6,43 7,00 8,00 11,70 18,95 19.42 19,50 19,84

11,60 20,00 20,25 14,10 20,82 9,52 10,25 10,70 12,50 12,92 19,60 19,80 20,21 20,21 20,32 20,29 13,60 20,42 20,50 15,15 15,80 20,65 16,75 20,65 19,36 20,04 20,60 20,85 20,22 20,88 21,48 20,96 23,60 27,80 29,80 21,19 21,36 21,50 30,70 21,50 21,45 21,80 21,82 28,60 34,80 35,70 37,50 21,98 21,82 21,50 21,65 34,20 25,80 28,50 31,00 21,65 21,92 35,40 7,33 7,98 19,26 19,42 8,59 19,57 19,55 20,71 20,76 9,05 16,75 18,70 24,55 21,25 21,65 22,00 22,13 31,00 40,3 41,6 22,38 44,75 45,2 22,25 22,42 22,44 52,0 52.9 22,65 54.0 22,82 59,2 51,0 64,2 22,68 22,31 22,80 71,5 23,0 23.0 23,1 23,2 73.5 83.2

der Wand:

the Zan

nicht abhängen, sondern nur von den Werten der Differentialquotienten $\frac{d\,u}{d\,y}$, $\frac{d^2\,u}{d\,y^2}$, . . . in dem betreffenden Punkt und a y a ynußerdem von dem Abstand y des Punktes von der Ähnlichkeitsachse. Prandtl macht deswegen mit zunüchst unbestimmten Exponenten p und g den einfachen Ansatz

$$r_{\#} \sim y^p \left(\frac{d \bar{u}}{d y}\right)^q$$
 (58)

Die einzig möglichen Werte, für welche diese Formel dimensionsrichtig ist, sind $p=1;\ q=1,$ so daß man hat

$$v_* = \varkappa \cdot y \, \frac{d \, u}{d \, y}$$

wo x eine universale Konstante bedeutet. Als einfachsten Fall nimmt jetzt Prandtl $\tau=$ const an und damit $v_{\rm s} = {\rm const.}$ Dann kann man die letzte Gleichung integrieren und erhält

$$u = \frac{v_*}{z} \ln y + \text{const} = \frac{v_*}{z} \ln \left(\frac{y}{y_*}\right). \tag{59}$$

 $u = \frac{v_*}{\varkappa} \ln y + \text{const} = \frac{v_*}{\varkappa} \ln \left(\frac{y}{y_0} \right).$ Über die Konstante y_0 läßt sich aussagen, daß sie die Dimension einer Länge hat. Sie ist ein Maß für die Dicke der in unmittelbarer Nähe der Wand vorhandenen Laminarschicht. Die einzig mögliche Länge, die man aus den charakteristischen Konstanten der turbulenten Strömung bilden kann, ist $\frac{r}{v_{\rm si}}$. Wir schreiben deshalb

$$y_0 = \operatorname{Zahl} \cdot \frac{r}{v_*} = m \frac{r}{v_*};$$
 (60)
damit wird aus (59)

$$u = \frac{v_{\oplus}}{\varkappa} \left\{ \ln \frac{y \cdot v_{\oplus}}{r} - \ln m \right\}$$

$$\frac{u}{v_{\oplus}} = \frac{1}{\varkappa} \left\{ \ln \frac{y \cdot v_{\oplus}}{\nu} - \ln m \right\}, \tag{61}$$

und mit

$$\frac{u}{v_{\$}} = \varphi \quad \text{ und } \quad \frac{y \cdot v_{\$}}{r} = \eta$$

hat man

$$q = A + B \ln \eta. ag{65}$$

Die Messungen ergeben

$$A = -\frac{1}{\kappa} \ln m = 5.5$$
, $B = \frac{1}{\kappa} = 2.5$,

also $\varkappa = 0,40$ und $m = \frac{1}{9}$.

Die Dicke d der Laminarschicht ist also von der Größenordnung

$$y_0 = \frac{1}{9} \frac{v}{v_*},$$

wobei über den zu y_0 hinzutretenden Zahlenfaktor noch nichts ausgesagt ist. Die Gleichung (62) ist genau der gleiche Ausdruck für die Geschwindigkeitsverteilung, auf welchen v. Kármán durch seine Ähnlichkeitsbetrachtung kommt, wie das auch erwartet werden mußte.

6. Widerstandsgesetz

Die schon definierte Widerstandszahl $\lambda = \frac{d\,p}{d\,x}\cdot\frac{d}{q}$ ist in Abhängigkeit von der Reynoldsschen Zahl in einem großen Bereich ermittelt und in Abb. 34 im logarithmischen Maßstabe aufgetragen. Die eingetragenen Punkte (Zahlentafel 9) stellen die Werte lg (1000 λ) dar, beginnend von sehr kleinen Reynoldsschen Zahlen von etwa 3 · 103 bis zur oberen Grenze. Die gemessenen Werte bis zur Reynoldsschen Zahl 100 · 10° (lg Re = 5) stimmen mit der Blasiusschen Formel $\lambda_E = \frac{0.316}{Re^{i_1}}$, die in dieser Abbildung durch die Kurve 1 dargestellt ist, gut überein. Oberhalb dieser

Grenze weichen die gemessenen \(\lambda \)-Werte mit zunehmender Reynoldsscher Zahl immer mehr von der Blasiusschen Geraden nach oben ab. $Lees^{27}$) hat eine Formel von der Bauart

$$\lambda = a + \frac{b}{Ke^n}$$

aus den Messungen von Stanton und Pannell gewonnen, die sich bis zur Reynoldsschen Zahl $Re=460\cdot 10^3$ (lg Re = 5,67) erstreckten, nämlich $\lambda = 0,0072 + \frac{6,6104}{Re^{0.35}}$ Da unsere Meßergebnisse mit denen von Stanton und Pannell übereinstimmen, werden sie in diesem Bereich auch durch die Leessche Formel wiedergegeben. Außerhalb dieses Bereiches ergeben unsere Messungen eine Abweichung der Widerstandswerte von der Leesschen Kurve, die in Abb. 34 mit 2 bezeichnet ist. Wie aus dieser Abbildung ersichtlich ist, wird diese Abweichung mit wachsender Reynoldsscher Zahl größer. Neuerdings haben Schiller und Hermann 28) auf Grund ihrer und unserer Messun-

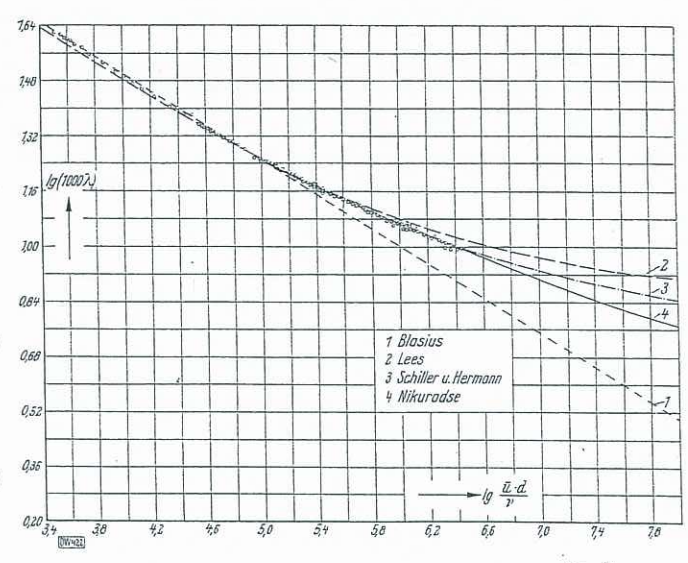


Abb. 34. lg (1000 λ) in Abhängigkeit von lg $\left(\frac{\bar{u} \cdot d}{r}\right)$

gen nach dem Leesschen Ansatz $\lambda = a + \frac{b}{Re^n}$ die Näherungsformel

$$\psi = 0,00270 + \frac{0,161}{Re^{0,3}}$$

aufgestellt, wobei $\psi = \frac{\lambda}{2}$ und $Re = \frac{\bar{u} \cdot r}{r}$ ist. Da es im allgemeinen üblich ist, Reynoldssche Zahl und Widerstandszahl auf den Rohrdurchmesser zu beziehen, rechnen wir die Schillersche 29) Formel-hierauf um. Dies ergibt die Formel

$$\lambda = 0,0054 + \frac{0,396}{Re^{0.3}},$$
(63)

die in Abb. 34 durch die strichpunktierte Kurve 3 dargestellt ist. Man sieht, daß die Schillersche Kurve mit derjenigen von Stanton und Pannell bis zur Reynoldsschen Zahl $Re = 4.6 \cdot 10^5$ (lg Re = 5.67) zusammenfällt. Von dort an stimmt die Schillersche Kurve mit den von uns

²⁷⁾ Ch. H. Lees: Proc. Roy. Soc., Lond. (A), Bc. 91 (1915) S. 46.

²⁵⁾ L. Schiller und R. Hermann: Widerstand von Plante und Rohr bei hohen Reynoldssehen Lamen, dug-Aren, 1950. Be. 1, Heft 4, S. 392.

26 L. Schiller hoursuberstein, bei höhen Reynoldsschen Zahlen Vertrage aus e. Gel der Aerodyn a. verwandter Gebinde, Jahren 1930. Beit 78.

w. $\frac{\bar{u}}{U_{\text{max}}}$ in Ab-			1	200	// 11	1		1	ũ
	Nr.	ū cm/s	7. cm ² /s	Re·10-2	$\frac{dp}{dx}$ Dyn/om ⁸	λ	$Re \mid \overline{\lambda} \cdot 10^{-3}$	1 7 λ	$\overline{U_{\max}}$
on lg Re					d = 1 cm				
ngig-	1 2 3 4 5 6 7 8	42,8 48,5 51,4 57,6	0,0140 0,0135 0,0135 0,0135	3,07 3,59 3,81 4,27	0,0398 0,0496 0,0550 0.0676	0,0426 0,0414 0,0408 0,0399	0,634 0,780 0,770 0,854	4,85 4,92 4,95 .5,00	0,760 0,765 0,770 0,771
(c \)	5 6 7	62,0 70,2 76,9	0.0195	4,60 5,20 5,70	0,0330 0,0676 0,0760 0,0936 0,1100 0,1700	0,0388 0,0372 0,0363	0,854 0,906 1,004 1,086 1,352	5,08 5,18 5,25	0,771 0,780 0.780
	9 10 11	62,0 70,2 76,9 98,5 118,8 121,0 137,5 163,3 189,0	0,0185 0,0185 0,0185 0,0185 0,0185 0,0185 0,0185	3,07 3,59 3,81 4,27 4,60 5,20 5,70 7,30 8,80 8,97 10,9		0,0399 0,0388 0,0372 0,0363 0,0343 0,0326 0,0329 0,0311 0,0294 0,0278 0,0278		5,08 5,18 5,25 5,40 5,54 5,52 5,67 5,88 5,92 6,00 6,28	0,784 0,788 0,794 0,791
	12 13 14 15	163,3 189,0 226,0 311,0	0,0135 0,0135 0,0135 0,0136	12,1 14,0 *16,7 23,0	0,245 0,3012 0,400 0,520 0,728 1,255	0,0294 0,0285 0,0278 0,0254	1,626 1,800 2,075 2,362 2,785 3,665	5,88 5,92 6,00 6,28	0,793 0,795 0,811 0,815
					d = 2 cn				
	16 17 18 19 20 21	1 114,6 148,4 175,5 212,5 240,0 214,4 233,6 258,0 259,6 275,8 315	0,0135 0,0135 0,0135 0,0135 0,0135 0,0119 0,0119	17,0 22,0 26,0 31,5 35,6 36,0 39,2 43,2 44,4 46,4 53,0 58,7 62,2 66,0 71,4 76,2 83,3 89,6 107,3 115,2 126,5 137,5 146,0 168,0	0,092 0,142 0,1966 0,274 0,329 0,364 0,3104 0,368 0,372 0,414	0,0274 0,0253 0,0250 0,0237 0,0224 0,0224 0,0223 0,02274 0,0216 0,0212 0,0196 0,0201 0,0188 0,0194	2,81 3,50 4,11 4,85 5,38 5,40	6,04 6,29 6,38 6,50 6,68 6,68 6,70 6,86 7,14 7,26 7,28 7,28 7,29 7,50 7,50 7,77 7,76 7,776 7,776 7,788 7,94	0,800 0,807 0,805 0,808 0,816 0,809 0,806
	19 20 21 22 23 24 25 26 27 28 29	233,6 258,0 259,6 275,8 315	0,0119 0,0119 0,0117 0,0119 0,0119	39,2 43,2 44,4 46,4 53,0	0,3104 0,368 0,372 0,414 0,514	0,0223 0,02274 0,0216 0,0212 0,0196	5,40 5,85 6,51 6,53 6,76 7,42	6,70 6,64 6,80 6,86 7,14	0,814
	30 31	349 370 392 425 454	0,0119 0,0119 0,0119 0,0119 0,0119 0,0119	62,2 66,0 71,4 76,2	0,514 0,622 0,680 0,758 0,874 0,990	0,0201 0,0188 0,0194 0,0190 0,01885	6,76 7,42 8,33 8,52 9,19 9,84 10,45 11,41 12,11 14,33 15,12 16,35 17,74 18,80 21,32 22,93	7,06 7,30 7,18 7,26 7,28	0,818 0,818 0,820 0,823 0,822 0,825 0,830 0,831 0,831 0,831 0,835 0,832 0,830 0,832
	32 33 34 35 36	495 533,6 638 687 752	1 1111111	83,3 89,6 107,3 115,2	0,874 0,990 1,160 1,324 1,850 2,064 2,405 2,783 3,16 3,88	0,0194 0,0190 0,0188 0,0188 0,0178 0,0172 0,0167 0,01665 0,01614 0,0157	11,41 12,11 14,33 15,12	7,29 7,40 7,50 7,62	0,831 0,829 0,831 0,831
	37 38 39 40	811 863 972 1053	0,0119 0,0119 0,0118 0,0118 0,0116	120,5 137,5 146,0 168,0 182,0	2,783 2,783 3,16 3,88 4,44	0,0167 0,01665 0,0166 0,01614 0,0157	17,74 18,80 21,32 22,93	7,76 7,77 7,88 7,94	0,832 0,830 0,842 0,840
		•		• =====================================	d = 3 c	m		•	
	41 42 43 44	402 439 488 559	0,0114 0,0114 0,0114 0,0114	14/11	0,495 0,570 0,700 0,870	0,0180 0,0174 0,0173 0,01638	14,22 15,25 16,90 18,81	7,46 7,58 7,60 7,82	0,832 0,828 0,824 0,850
	45 46 47 48 49	627 688 756 879 1010	0,0114 0,0114 0,0114 0,0114 0,0115 0,0115	165,0 181,0 199,0 231,0	0,495 0,570 0,700 0,870 1,092 1,246 1,520 1,970 2,545 2,990	0,0180 0,0174 0,0173 0,01638 0,01638 0,01549 0,01500 0,01470	14,22 15,25 16,90 8 18,81 21,11 9 22,54 0 24,86 0 28,80 0 32,30 5 34,50	7,46 7,58 7,60 7,82 7,82 8,04 8,01 8,16 8,24 8,35	0,832 0,828 0,824 0,850 0,831 0,840 0,839 0,841 0,843
	50	1106	0,0115	288,0	2,990 d = 5 d	0,0220	5 34,50	8,35	0,848

 $ar{u}=$ mittlere Geschwindigkeit; $r=rac{\mu}{\varrho}=$ kinematische Zähigkeit; $\mu=$ Zähigkeitskonstante; $\varrho=$ Dichte; Re= Reynoldssche Zahl; d= Rohrdurchmesser; $rac{d}{d}rac{p}{dx}=$ Druckgefälle; $rac{d}{r}=rac{d}{r}rac{d}{r}=rac{d}$

0,0196

0,0331

0,0588

0,0787 0,1040 0,01215 0,0230

0,0186

0,01811 0,0226

0,02104

 $\ell_{max} = \text{maximale Geschwindigkeit.}$

37,0 50,3 70,0

82,6 96,4 29,3

0,01233 0,01233

0,01230

0,01230

0,01230 0,01214

91,4 124,4 172,0

203,5

237,0 71,2

gemessenen Werten bis etwa $Re = \frac{r+d}{r} = 2.5 \cdot 10^6$ bzw. ig Re = 6.4 floerein. Von ig Re = 6.4 an weich die Schillersche Kurve von unserer Kurve ab. Diese Atwechung wird mit zunehmender Reynoldsscher Zahl immer

51 52 53

54 55

> größer. Die Abwelchungen der Fermelt von Less und Schiller-Hermann von den gemessenen Kurven kommen da durch zustande, daß die Formein direit aus den Messungen erremant sind und daher hur soweit zurreffen, als die Versuche jeweils reichten. Es ist uns nan gefungen, au

5,61 7,30 9,78 11,26 12,96 4,40 6,59 6,90 7,16 7,34 7,44 6,66 0,812 0,818 0,819

0,819 0,829 0,814

1	ũ	4 1	_		F		d v		_ ,' 0	1	\bar{u}	Zahlentafel 9
2	Umax	No.	Nr.	ũ cm/s	1' cm ² /s	Re-10-3	$\frac{1}{dx}$ Dyn/cm ⁸	l.	$Re \overline{\lambda} \cdot 10^{-3}$	17	T'max	lg λ bzw. $\frac{\bar{u}}{U_{m}}$
		4000				d =	5 cm (Forts	setzung)				hängigkeit vo
4,85 4,92 4,95 5,00 5,08 5,18 5,25 5,40 5,54 5,52 5,67 5,82 6,00 6,28	0,788 0,794 0,791 0,793 0,795 0,811 0,815	and the same of the same statement where the later is the manner of the same statement of the SO SO SO SO SO SO	57 58 59 60 61 62 63 64 65 66 67 68 69 70 71 72 73	90,8 102,5 116,5 140,0 153,5 179,5 214,4 103,0 141,0 194,5 423,5 395,0 570,0 652,0 733 740,0 912,8 1082,0	0,01214 0,0122 0,0122 0,01215 0,01215 0,01214 0,01214 0,0134 0,0128 0,0128 0,0128 0,00925 0,0097 0,00925 0,00925	37,4 42,0 47,7 57,6 63,2 73,8 88,3 53,0 76,0 171,5 213,4 294 264 396 400 493,4 670	0,0190 0,0237 0,0298 0,0409 0,0480 0,0630 0,0860 0,0240 0,0423 0,0701 0,296 0,250 0,488 0,640 0,757 0,752 1,140 1,470	0,0226 0,0220 0,02146 0,02042 0,01940 0,01915 0,01830 0,0222 0,02085 0,0182 0,01617 0,01567 0,01475 0,0138 0,01344 0,01325 0,01229	5,62 6,23 6,98 8,23 8,92 10,21 11,95 5,72 7,65 10,25 21,8 26,71 32,18 41,52 46,40 56,8 74,3	6,66 6,75 6,83 7,00 7,09 7,23 7,40 6,71 6,93 7,42 7,86 7,99 8,26 8,24 8,51 8,63 8,69 9,02	0,812 0,817 0,819 0,821 0,823 0,825 0,817 0,826 0,842 0,842 0,844 0,849 0,845 0,862	hängigkeit von und $\frac{1}{\sqrt{\lambda}}$ in keit von lg K
6,04 6,29	0,800 0,807 0,805		74	1002,0	0,0081		4-100	m	1 71,0	∂,02	0,861	
6,33 6,50 6,68 6,70 6,64 6,80 6,86 7,14 7,30 7,28 7,29 7,40 7,50 7,74 7,76 7,77 7,84	0,805 0,808 0,816 0,809 0,806 0,814 0,818 0,820 0,825 0,830 0,831 0,831 0,831 0,831 0,831 0,832 0,832 0,836 0,834 0,840	は、日本のでは、日本	75 76 77 78 80 81 82 83 84 85 86 87 88 90 91 92 93 94 95 97 98	345,9 377,1 392,7 466,3 482,8 510,0 533,2 569,1 602,0 660,3 704,0 769,8 876 810 843,4 940,0 790 1248 882 944 1005 982 1020 900	0,01083 0,01080 0,01083 0,01080 0,01079 0,01079 0,01079 0,01072 0,0110 0,0111 0,0111 0,01094 0,01086 0,0077 0,0077 0,0077 0,0077 0,0077	363,0 431,5 446,8 472,0 493,7 562,6 597,0 600,0 634 700 725 737 771 865 1025 1108 1148 1225 1320 1364 1438	0,0868 0,1008 0,1092 0,1492 0,1582 0,1760 0,1920 0,2175 0,2340 0,316 0,387 0,480 0,422 0,444 0,536 0,872 0,92	0,01421 0,01388 0,01390 0,01342 0,01328 0,01328 0,01324 0,01277 0,0125 0,0129 0,0126 0,0127 0,01150 0,01150 0,01150 0,01150 0,01150 0,01110 0,01144 0,01150 0,01144 0,01150	51,6 54,40 56,82 60,50 63,30 67,80 70,90 79,50 80,40 82,80 85,42	8,39 8,49 8,48 8,62 8,66 8,67 8,69 8,71 8,86 8,95 8,90 9,29 9,18 9,29 9,34 9,46 9,23 9,45 9,23 9,45 9,37 8,17 8,17 8,32	0,854 0,853 0,857 0,856 0,855 0,855 0,855 0,869 0,858 0,868 0,863 0,864 0,864 0,863 0,864 0,863 0,871 0,877 0,877	
7,46 7,58 7,60 7,82 7,82 8,04 8,01 8,16 8,24 8,35	0,824 0,850 0,831 0,840 0,839 0,841 0,848	SECTION OF SECURITY AND SECURITY SEC	99 100 101 102 103 104 105 106 107 108 109	685 761 830 958 259 286,8 309,5 325,4 726,0 806 1013	0,0070 0,0070 0,0070 0,0070 0,01087 0,01088 0,01088 0,01088 0,0122 0,0121 0,0121	979 1088 1185 1368 7 238,8 8 264,4 8 285,4 3 300,0 595 666 5 900	0,788 0,340 0,416 0,623	0,0114 0,01114 0,0150 0,01450 0,0144 0,0145 0,0126 0,0126 0,0125	7 36,24 5 66,90 5 74,60 98,10	8,28 8,90 8,93 9,17	0,861 0,864 0,862 0,866 0,865 0,846 0,854 0,850 0,858 0,860 0,860	
6,59 6,90 7,10 7,3- 7,4 6,6	0 0,81 6 0,81 4 0,81 4 0,82	8 9 9 9	110 111 112 113 114 115 116	1325 1691 1765 1410 1926 1630 1630	0,0112; 0,0110 0,0110 0,0083 0,0083 0,0080 0,0079	1539 1600 1700 1850 2038 2062	1,015 1,600 1,670 1,070 2,000 1,420 1,415	0,0113 0,0109 0,0105 0,0106 0,0105 0,0104 0,0104	8 161,4 164,0 0 175,1 8 190,4 3 208,0 5 210,5	9,41 9,54 9,76 9,71 9,72 9,80 9,79	0,867 0,868 0,874 0,870 0,871 0,872 0,872	
= Di	skonstante ruckgefälle rwindigkei	;	117 118 119 120 121 122 123 124 125	1758 1940 1930 2150 2010 2150 2162 2220 2425	0,0082 0,0084 0,0082 0,0110 0,0078 0,0079 0,0077 0,0074	2310 2351 1964 2580 2722 2810 3000	1,615 1,910 1,94 2,499 2,050 2,317 2,345 2,470 2,88	0,0102 0,0099 0,0102 0,0106 0,0099 0,0098 0,0098	5 280,8 287,5 202,3 5 257,2 6 269,5 5 279,2 8 298,2	9,87 10,02 9,89 9,71 10,02 10,10 10,06 10,06	0,875 0,879 0,874 0,872 0,874 0,879 0,878 0,880	

g λ bzw. $\frac{\bar{u}}{U_{\text{max}}}$ in Abnängigkeit von lg Re and $\frac{1}{\sqrt{\lambda}}$ in Abhängig-

eit von lg $Re \sqrt{\lambda}$

meln von Lees und Kurven kommen dat kurven kommen kurven kurven kommen kurven kommen kurven kommen kurven kurven kommen kurven kommen kurven ku

dergegeben. Man sieht, daß diese Kurve bei der oberen Grenze (ig Re=6.4) von der Schiller-Hermannschen Kurve nach unten abzweigt und bei der Reynoldsschen Zun) $1\cdot 10^5$ stärker von der Schillerschen Kurve abweicht als diese von der Leesschen.

Die bisherigen Methoden liefern uns nur Formeln für den experimentell untersuchten Bereich. Die r. Kärmänsche Darstellung von Seite 43 legt jedoch nahe, eine der r. Kärmänschen Formel gleich gebaute Formel anzusetzen, nämlich

$$\frac{1}{\sqrt{\lambda}} = A + B \lg (Re)^{-1} \lambda \,. \tag{64}$$

Der Unterschied besteht darin, daß r. Kärmän die Widerstands- und Reynoldssche Zahl auf die maximale Geschwindigkeit und den Rohrhalbmesser bezieht, während wir die mittlere Geschwindigkeit und den Rohrdurehmesser benutzen. Setzt man $\frac{1}{\sqrt{\lambda}} = y$ und $\lg (Re | \sqrt{\lambda}) = x$, so nimmt

diese Gleichung die Form an
$$y = A + Bx$$
.

In Abb. 35 ist nach den Messungen $y = \frac{1}{\sqrt{\lambda}}$ als Funktion von $x = \lg (Re^{\sqrt{\lambda}})$ aufgetragen (Zahlentafel 9). Es er-

Wir können nun diese Darstellung in ähnlicher Weise zur Gewinnung einer bequemeren Näherungsformel für λ heranziehen wie Lees und Schilter und Hermann dies auf Grund von Versuchen getan haben. Der Bereich der neuen Formel soll dort beginnen, wo die Blasiussche Formel aufhört. Als Ende des Bereiches setzen wir $Re=1\cdot 10^8$ fest.

Aus der Kurve 4 der Abb. 34 findet man für die Konstanten der Näherungsformel

$$\lambda = a + \frac{b}{Re^2}$$

die Werte

$$a = 0,0032$$
, $b = 0,221$, $n = 0,237$;

damit wird

$$\lambda = 0.0032 + \frac{0.221}{Re^{0.237}} \,. \tag{65}$$

Um die Gültigkeit der oben angegebenen Formeln von Blasius, Lees, Schiller und Hermann und uns zu prüfen,

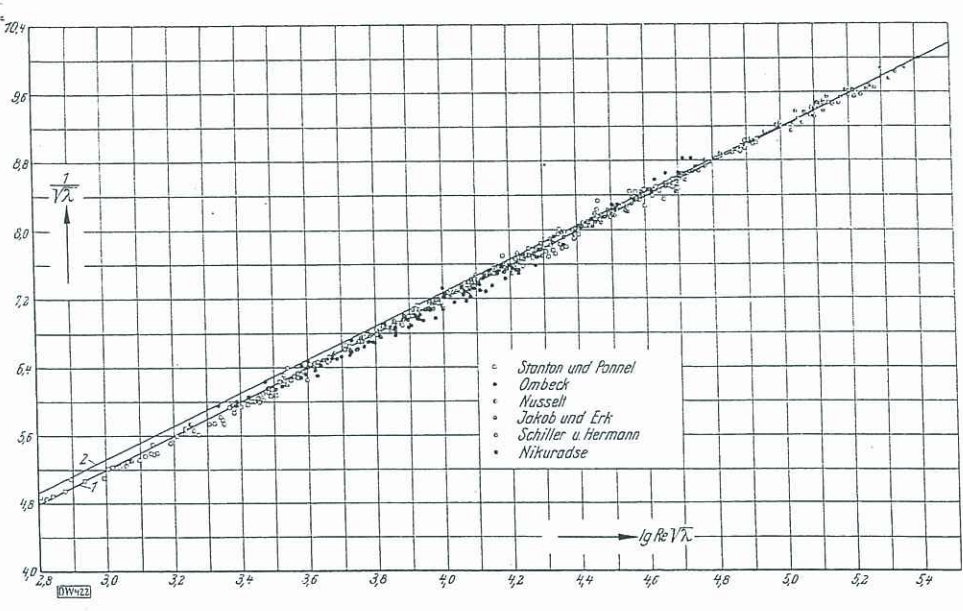


Abb. 35. $\frac{1}{\sqrt{\lambda}}$ in Abhängigkeit von lg $(Re\sqrt{\lambda})$

gibt sich die Gerade 1 und für die Konstanten A und B die Werte A=-0.8 und B=2.0. In Abb. 35 sind auch die Versuchsergebnisse verschiedener Forscher eingetragen, wobei bei Durchlegung der Geraden weniger Gewicht auf die Ombeekschen Werte gelegt wurde, weil diese mit Luft durchgeführten Versuche wegen der Volumenänderungen der Luft etwas weniger sicher sind. Aus $x=\lg{(Re)}/{\lambda}$) berechnen wir die Werte $Re\sqrt[3]{\lambda}$, dividieren durch $\frac{1}{y}=\sqrt[3]{\lambda}$ und bekommen die Reynoldssche Zahl Re. Somit haben wir aus obiger Gleichung eine Abhängigkeit der Widerstandszahl von der Reynoldsschen Zahl erhalten

$$\lambda == f(Re)$$
.

Mit einer gewissen Wahrscheinlichkeit kam man erwarten, daß wir auch diese Formel ziemlich weit extrapoheren dürfen, wenn auch nicht bis $Re = \infty$, wie die v. Kärmänsche.

In Abb. 36 ist die Beziehung $\lambda = f(Re)$ dargestellt, wie sie sich ergibt, wenn man mit den aus den Messungen bestimmter. Konstanten β und β auf große Reynoldssehe Zahlen bis $Re = 1 \cdot 10^8$ entrapoliert.

ist in Abb. 37 die Beziehung $\frac{1}{\sqrt{\lambda}} = f \left[\lg (\Re e)^{\ell} \overline{\lambda} \right]$ nach de entsprechenden Formeln berechnet und aufgetragen. Di eingetragenen Punkte sind aus den von uns gemessene Werten errechnet. Unterhalb $\lg \Re e \sqrt{\lambda} = 3,7$ liegen di Werte von $\frac{1}{\sqrt{\lambda}}$ unterhalb dieser Geraden. Dies ist dadure

zu erklären, daß der Einfluß der Zähigkeit bei diesen Reynoldsschen Zahlen wesentlich wird. Oberhalb der angegebenen Grenze ist der Zähigkeitseinfluß verschwindend gering, und die Versuchspunkte liegen auf der Geraden. D durch die Blasiussche Formel errechnete Kurve 1 weiel unterhalb lg $(Re \mid \lambda) = 4.0$ (was einer Reynoldsschen Za(Re) von etwa $40\cdot 10^3$ entsprient) von der Geraden 4 al oberhalb dieser angegebenen Reynoldsschen Zahl bis etw lg $(Re \mid \lambda) = 5.1$ (entsprechend einer Reynoldsschen Za(Re) etwa $100\cdot 10^3$) deckt die Kurve die (rerade 4. Im weteren Verlauf weicht die Kurve 1 erheblich von der Graden 4 nach oben ab. Außerden, zeigt die Kurve 1. Ubereinstimmung mit Früherem, daß an Blasiusse

ähnlicher Weise ungsformel für l Lermann dies auf Der Bereich der die Blasiussche iches setzen wir

nan für die Kon-

=0,237;

(65)

nen Formeln von id uns zu prüfen,



g(Re/2)] nach den

aufgetragen. Die on uns gemessenen $\bar{\lambda} = 3.7$ liegen die

n. Dies ist dadurch

ceit bei diesen Reyerhalb der angegeverschwindend geif der Geraden. Die te Kurve 1 weicht Reynoldsschen Zahl der Geraden 4 ab; chen Zahl bis etwa Reynoldsschen Zahl Gerade 4. Im weiieblich von der Geigt die Kurve 1, in iß das Blasiussche

Gesetz nur Gültigkeit bis lg $(Re^{-1/\lambda}) = 5,$] hat, was einer Reynoldsschen Zahl Re =100 · 103 entspricht. Die Kurven 2 und 3 sind nach der Leesschen und Schillerschen Formel berechnet und weichen bei lg (Re $\sqrt[4]{\lambda} = 4.7$ ($Re = \text{etwa } 4.5 \cdot 10^5$) bzw. bei in ($Re \sqrt[4]{\lambda}$) = 5.25 ($Re = \text{etwa } 1.9 \cdot 10^6$) von der Geraden ab. Wenn wir für Kurve 4 die Widerstandswerte für $Re > 1 \cdot 10^8$ eintragen, so tritt auch hier eine entsprechende Abweichung ein.

Für die folgenden Näherungsrechnungen ist noch eine zweite Gerade (2, Abb. 35) gezogen mit der Gleichung

$$\frac{1}{\sqrt{\lambda}} = -0.55 + 1.95 \lg (Re)^{-1/\lambda}$$
. (63 a)

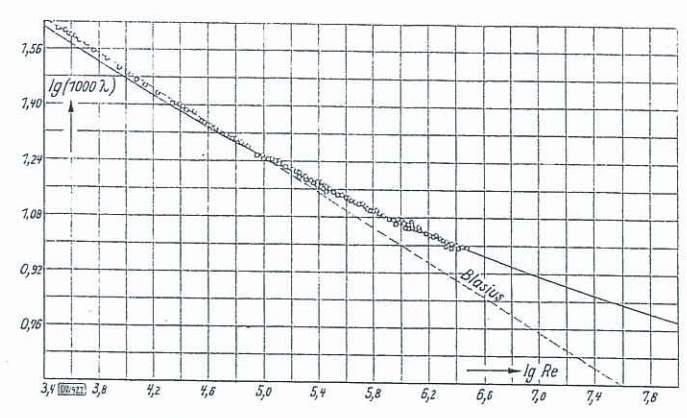


Abb. 36. lg (1000 λ) in Abhängigkeit von lg Re

7. Beziehung zwischen der mittleren und der maximalen Geschwindigkeit

a) Nach einem Vorsehlag von Prof. Pranätl läßt sich mit Hilfe von Gl. (54) das v. Kármánsche Widerstandsgesetz Gl. (56 b) mit unsrer Gl. (64 b) verknüpfen:

Nach der v. Kármánschen Darstellung Gl. (54) ist

$$\frac{U-u}{v_{\cdot t}} = f(y/r).$$

Hieraus läßt sich, indem man $\frac{U-u}{v_*}=f(y/r)$.

 $(y/r)^2$ aufträgt, durch graphische Integration die mittlere Geschwindigkeit \bar{u} ermitteln, so daß man

$$\frac{U - \bar{u}}{v_*} = \text{Zahl} = \beta \tag{66}$$

erhält. Durch Ausführen der Integration ergab sich $\beta = 4,03$. Mit Hilfe dieser Beziehung erhalten wir die

Verknüpfung zwischen dem v. Kármánschen Widerstandsgesetz und dem unsrigen folgendermaßen: Aus der v. Kármánschen Gl. (56 b) folgt, wenn man

$$Re_{\text{max}} = \frac{U \cdot r}{r}$$
 und $\sqrt{\psi} = 1{,}414 \frac{v_*}{U}$

einsetzt,

$$\frac{U}{v_{*}} = A + B \lg \left[1,414 \left(\frac{v_{*} \cdot r}{r} \right) \right]$$

oder

$$\frac{U}{v_*} = A' + B \lg \left(\frac{v_* r}{r} \right). \tag{67}$$

In analoger Weise erhalten wir aus unserem Widerstandsgesetz Gl. $(64\,\mathrm{h})$, wenn wir

$$Re = \frac{\bar{u} \cdot 2r}{r}$$
 und $\sqrt{\lambda} = 2,828 \frac{v_{\oplus}}{\bar{u}}$

einsetzen,

$$\frac{\bar{u}}{v_{*}} = a + b \lg \left[2,828 \left(\frac{v_{*} r}{r} \right) \right]$$

$$\frac{\bar{u}}{v_{*}} = a' + b \lg \left(\frac{v_{*} r}{r} \right).$$

oder
$$\frac{\bar{u}}{v_{\div}} = a' + b \lg \left(\frac{v_{\div} r}{v} \right)$$
. (68)

Die Beziehung (66) erfordert jetzt, daß in den Gl. (67) und (68) die Konstanten B und b übereinstimmen. Man kann diese Beziehung dazu benutzen, um durch Ausgleichung zwischen den verschiedenen Diagrammen den besten Wert von $B = \tilde{b}$ herauszuholen. Auf diese Ausgleichung bezieht sich die in den Figuren angegebene, früher schon erwähnte Gerade 2. Der beste Wert von B=bergab sich zu 5,52. Damit findet man nun weiter

$$A = 5,87$$
, $a = -1,555$

und daraus

$$A' = 6,68$$
, $a' = 2,63$.

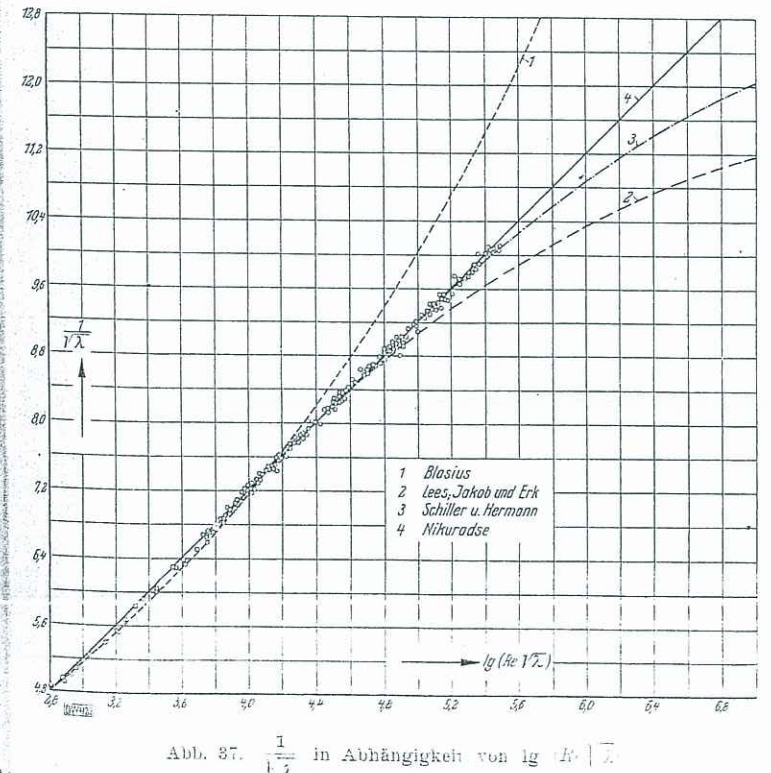
Durch Einsetzen dieser Werte und Subtraktion der Gl. (67) und (68) folgt dann:

$$\frac{U - \bar{u}}{v_{::}} = 4,08 \,, \tag{69}$$

folgt dann: $\frac{U-\bar{u}}{v_{*}}=4,08\,, \qquad (69)$ in guter Übereinstimmung mit dem früheren Resultat. In Abb 38 sind die Versuchswerte $\frac{U}{v_{*}}$ und $\frac{\bar{u}}{v_{*}}$ in Abhängigkeit von $\lg \frac{v_{*}}{r}$ aufgetragen.

. Die letzten beiden hindurchgeiegten

Geraden sind parahel, und die Diffe-rend der Funktionswerte bergägt im Mittel 4,03, wie vorstehend. Die





schen Wert mung

Rey

Ve

H.

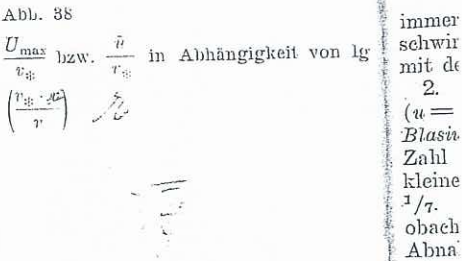
iı

F

W.

H.

R



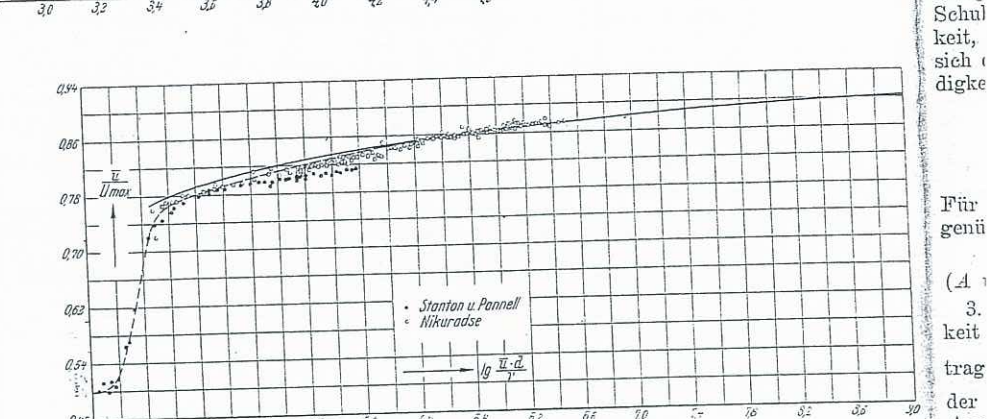


Abb. 38

Abb. 39 $rac{ar{u}}{U_{\max}}$ in Abhängigkeit von

Gleichung für die universale Geschwindigkeitsverteilung

bv/922

$$\varphi = c_1 + c_2 \lg \eta$$

sollte aus theoretischen Gründen 30) mit den Gleichungen (67) und (68), wenn man die Gerade $\varphi = \varphi (\eta)$ nur durch die wandnahen Punkte legt, insofern in Einklang stehen, als $c_2 = b$ sein soll; in der Tat ist die Gerade

$$\varphi = 5.84 + 5.52 \lg \eta$$

mit den wandnahen Versuchspunkten in guter Übereinstimmung. Dem Wert 5,52 entspricht ein Wert der v. Kármánschen universellen Konstanten

$$\varkappa = \frac{2,3025}{5,52} = 0,417.$$

b) Durch Division von Gl. (67) und (68) ergibt sich $\frac{\bar{u}}{U}$ als Funktion von $\frac{v_{i\sharp} r}{r}$, aber damit auch als Funktion der Reynoldsschen Zahl, die sich durch $\frac{v_{\#}r}{r}$ ausdrücken läßt, denn es ist

$$Re = \frac{2\bar{u}r}{r} = \frac{2\bar{u}}{v_{**}} \cdot \frac{v_{*}r}{r} = 2 \cdot 2,828 \left(\frac{v_{*}r}{r}\right) \frac{1}{\sqrt{\lambda}}$$

 $\frac{1}{\sqrt{\lambda}}$ läßt sich aber mittels Gl. (64a) ebenfalls durch $\frac{v_* r}{r}$ ausdrücken. In Abb. 39 ist das so erhaltene

Zusammenfassung

Das Ziel dieser Arbeit war, die Gesetzmäßigkeiten der turbulenten Strömungen in glatten Rohren in einem möglichst großen Bereich von Reynoldsschen Zahlen zu untersuchen. Zu diesem Zwecke wurde eine Versuchsanlage gebaut, die uns gestattete, die turbulenten Wasserströmun-

$$\frac{\bar{u}}{\mathcal{U}} = f\left(\frac{\bar{u} \cdot d}{r}\right)$$

für die Reynoldsschen Zahlen $3\cdot 10^3$ bis $1\cdot 10^8$ durch die ausgezogene Kurve dargestellt. Außerdem sind hier die Versuchswerte von Stanton und Pannell und von uns eingetragen (Zahlentafel 9). Im Gebiet der ausgebildeten laminaren Strömung ist $\frac{\vec{n}}{U} = 0,5$. Bei lg Re = 3,1, entsprechend einer Reynoldsschen Zahl $Re = 12.6 \cdot 10^3$, liegt die obere Grenze der laminaren Strömung. Man sieht, daß die gemessenen Punkte bis zur Reynoldsschen Zahl $Re = 200 \cdot 10^3$ (lg Re = 5.4) von der berechneten Kurve abweichen; sie sind durch eine gestrichelte Kurve verbunden. Diese Abweichung ist durch den Einfluß der Zähigkeit zu erklären, den die Formel nicht wiedergibt. Im weiteren Verlauf oberhalb der Reynoldsschen Zahl $Re = 200 \cdot 10^3$ ist die Übereinstimmung ziemlich gut. Die Meßergebnisse von Stanton und Pannell stimmen mit den unsrigen bis zu $\lg Re = 4.2$ gut überein. Oberhalb dieser Grenze ist eine fast konstante Abweichung vorhanden. Diese Abweichung ist sieher durch die Meßmethode bedingt. Wie auf Seite erwähnt ist, haben wir nach-Vie auf Seite erwähnt ist, haben wir nach-Messungen bei verschiedenen Reynoldsschen träglich Messungen bei verschiedenen Reynoldsschen Zahlen 20 d vor dem Autrittsquerschnitt vorgenommen, die gleiche Werte wie unsere früheren Messungen ergeben

gen in kreisförmigen Rohren bis zur Reynoldsschen Zahl $Re = 3240 \cdot 10^3$ zu ermitteln. Durch Auswertung der gemessenen Geschwindigkeitsverreilungen und der Druckgefälle wurde folgendes festgestellt:

Trie Form der Geschwindigkeitsverteilung ändert sich nut der Reynodsschet Zahl, und zwar wird mit zunehmen- Z der Reynodsscher Zahl die Geschwindigkeitsverteilung.

³⁰⁾ Vgl. Fuinote 15, S. 2

Forschungs Heft 356

35

bhängigkeit von lg

immer voller. Der Vergleich der von Bazin gemessenen Geschwindigkeitsverteilungen und derjenigen von Stanton mit den unsrigen lieferte gute Übereinstimmung.

2. Der Exponent n des Prandtlschen Potenzgesetzes $(y = ay^n)$, wenn y = Abstand von der Wand) hat im Blasius schen Widerstandsbereich bis zur Reynoldsschen Zahl $Re = 100 \cdot 10^3$ den festen Wert n = 1/7. Bei sehr kleinen Reynoldsschen Zahlen ist der Exponent größer als $^{1}/_{7}$. Oberhalb der Reynoldsschen Zahl $Re = 100 \cdot 10^{3}$ beobachtet man mit steigenden Reynoldsschen Zahlen eine Abnahme des Exponenten n. Bei der größten Reynoldsschen Zahl $Re=3240\cdot 10^3$ erreicht der Exponent n den Wert 1 /10. Indem man mit den für die turbulente Strömung in Wandnähe charakteristischen Größen: τ_{0} = Schubspannung an der Wand, v = kinematische Zähigkeit, ϱ = Dichte, geeignete Dimensionslose bildet, ergibt sich ein für alle Reynoldsschen Zahlen gültiges Geschwindigkeitsverteilungsgesetz für die wandnahen Gebiete:

$$\varphi = \varphi(\eta)$$
 wobei $\frac{u}{v_*} = \varphi$, $\frac{v_* \, y}{v} = \eta$, $v_* = \sqrt{\frac{\tau_0}{\varrho}}$. Für genügend große Werte von η (oberhalb $\eta = 10$) ist genügend genau ($\varphi = A + B \lg \eta$ (A und B universelle Konstanten).

3. Die turbulente Austauschgröße wurde in Abhängigkeit vom Wandabstand ermittelt. Die dimensionslose Auftragung $\frac{\varepsilon}{v_* \, r}$ in Abhängigkeit von y/r zeigt, daß oberhalb der Reynoldsschen Zahl $Re = 100 \cdot 10^3$ die Verteilung der Austauschgröße über den Querschnitt unabhängig von der Reynoldsschen Zahl ist. Unterhalb dieser Reynoldsschen Zahl ist diese Verteilung sehr stark von der Reynoldsschen Zahl abhängig. Für den mit dem turbulenten Impulsaustausch zusammenhängenden Prandtlschen Mischungsweg ergibt sich, daß das Verhältnis l/r für jeden Punkt des Querschnitts mit wachsenden Reynoldsschen Zahlen abnimmt. Hat Re den Wert 100 · 103 überschritten, so wird die dimensionslose Mischungswegverteilung l/r = f(y/r)unabhängig von der Reynoldsschen Zahl. Die Unabhängigkeit sagt aus, daß ein Einfluß der Zähigkeit oberhalb dieser Reynoldsschen Zahl nicht mehr vorhanden ist.

Die gemessenen Geschwindigkeitsverteilungen und das Widerstandsgesetz werden verglichen mit der von v. Kármán auf Grund seiner Ähnlichkeitsbetrachtung errechneten Verteilung und mit dieser im Bereich der großen Reynoldsschen Zahlen, wo der Einfluß der Zähigkeit nicht vorhanden ist, in guter Übereinstimmung gefunden.

Im Anschluß an die v. Kármánsche Ähnlichkeitsbetrachtung werden neuere Überlegungen von Prandtl und Betz mitgeteilt.

mitgeteilt. 5. Bedeutet $\lambda = \frac{d\,p}{d\,x}\,\frac{2\,d}{\varrho\,\,\bar{u}^2}$ die Rohrwiderstandszahl, so wird bis zur Reynoldsschen Zahl $Re = 100 \cdot 10^3$ die Blasiussche Widerstandsformel $\lambda_B = \frac{0.316}{Re^{1/4}}$ bestätigt, für größere

Kennzahlen ergibt sich die Formel

$$\lambda = 0.0032 + \frac{0.221}{Re^{0.237}}$$

Im Anschluß an die v. Kármánsche und unsere Widerstandsformel werden Beziehungen zwischen der mittleren Geschwindigkeit \bar{u} und der maximalen Geschwindigkeit Uermittelt, die neue Zusammenhänge der verschiedenen Formeln erweisen.

is 1 · 108 durch die dem sind hier die 7 und von uns einder ausgebildeten

Bei lg Re = 3,1, thl $Re = 12.6 \cdot 10^3$, 1 Strömung. Man zur Reynoldsschen on der berechneten gestrichelte Kurve ch den Einfluß der al nicht wiedergibt. Leynoldsschen Zahl ziemlich gut. Die 11 stimmen mit den n. Oberhalb dieser eichung vorhanden. ie McBmethode be-, haben wir nachien Reynoldsschen

Verzeichnis der benutzten Literatur

- H. Blasius: Das Ähnlichkeitsgesetz bei Reibungsvorgängen in Flüssigkeiten. Forsch.-Arb. Ing.-Wes., Heft 131, Berlin 1913
- V. Saph and E. H. Schoder: An experimental study of the resistance to the flow of water in pipes. Amer. Soc. civ. Engr. Bd. 51 (1903) Pap. 944
- W. Nußelt: Wärmeübergang in Rohrleitungen: Forsch.-Arb. Ing.-Wes. Heft 89, Berlin 1910
- H. Ombeck: Druckverlust strömender Luft in geraden zylindrischen Rohrleitungen. Forsch.-Arb. Ing.-Wes. Heft 158 u. 159, Berlin 1914
- T. E. Stanton und J. R. Pannell: Similarity of motion in Relation to the surface Friction of Fluids. Proc. Rov. Soc., Lond. (A) Bd. 214 (1914) S. 199
- Ch. H. Lees: On the Flow of viscous Fluids through smooth circular Pipes. Proc. Roy. Soc., Lond. (A) Bd. 91 (1915) S. 46
- nitt vorgenommen, M. Jakob und S. Erk: Der Druckabfall in glatten Rohren und die Durchflußziffer von Normaldüsen. Forsch.-Arb. Ing.-Wes. Heft 267, Berlin 1924
 - R. Hermann: Experimentelle Untersuchung zum Widerstandsgesetz des Kreisrohres bei hohen Reynoldsschen Zahlen und großen Anlauflängen. Leipziger Dissertation, Akadem Verlagsges, m. b. H. Leipzig (1930)
 - L. Schiller: Rohrwiderstand bei hohen Reynoldsschen Zahlen. Vorträge aus dem Gebiete der Aerodynamik und verwandter Gebiete, Aachen 1929, herausgegeben von A. Gilles, L. Hopf und Th. v. Kármán (Berlin: J. Springer 1930) S. 69
- wird mit zunehmen- L. Prandtl: Diskussionsbemerkung zum obigen Vortrag von L. Schiller. Vorträge aus dem Gebiete der Aerodynamik

- und verwandter Gebiete, Aachen 1929. Hrsg. von A. Gilles, L. Hopf und Th. v. Kármán (Berlin: J. Springer 1930) S. 78
- T. E. Stanton: The mechanical viscosity of fluids. Proc. Roy. Soc., Lond. (A), Bd. 85 (1911) S. 366
- J. Nikuradse: Untersuchung über die Geschwindigkeitsverteilung in turbulenten Strömungen. Forsch.-Arb. Ing.-Wes. Heft 281, Berlin 1926
- Th. v. Kármán: Mechanische Ähnlichkeit und Turbulenz. Göttinger Nachrichten Math. Phys. Klasse (1930) S. 58
- J. Nikuradse: Über turbulente Wasserströmungen in geraden Rohren bei sehr großen Reynoldsschen Zahlen. Vorträge aus dem Gebiete der Aerodynamik und verwandter Gebiete, Aachen 1929. Hrsg. von A. Gilles, L. Hopf und Th. v. Kármán (Berlin: J. Springer, 1930)
- M. Bazin: Expériences nouvelles sur la distribution des vitesses dans les tuyaux. Mémoires présentés par divers savants à l'Académie des Sciences de l'Institut de France, Bd. 32 Nr 6 (1902)
- L. Prandtl: Über den Reibungswiderstand strömender Luft. Ergebnisse der Acrodynamischen Versuchsanstalt zu Göttingen, 3. Lieferung (1927) S. 1
- Boussinesq: Essai sur la théorie des eaux courantes. Mémoires présantés par divers savants à l'Académie des Sciences de l'Institut de France (1877)
- L. Prandtl: Zur turbulenten Strömung in Rohren und längs Platten. Ergebnisse der Aerodynamischen Versuchsanstalt zu Göttingen. 4. Lieferung (1932) S. 18
- L. c. Kormán: Über iaminare und turbulente Reisung Z. angew. Math. Mech., Bd. 1 (1921) S. 233



Reynoldsschen Zahl Auswertung der geund der Druck-

Messungen ergeben

rteilung ändert sich

2

- L. Prandtl: Bericht über Untersuchungen zur ausgebildeten Turbulenz. Z. angew. Math. Mech. Bd. 5 (1925) S. 136
- L. Prandtl: Bericht über neuere Turbulenzforschungen. Hydraulische Probleme (Berlin: VD1-Verlag 1926) S. 1
- W. Tollmien: Berechnung turbulenter Ausbreitungsvorgänge, Z. angew. Math. Mech. Bd. 6 (1926) S. 468
- L. Prandtl: Über ausgebildete Turbulenz: Verh. d. 2. intern. Kongr. f. techn. Mech. Zürich (1927)
- J. Nikuradse: Untersuchungen über die Strömungen des Wassers in konvergenten und divergenten Kanälen. Forsch.-Arb. lng.-Wes. Heft 289, Berlin 1929
- W. Fritsch: Der Einfluß der Wandrauhigkeit auf die turbulente Geschwindigkeitsverteilung in Rinnen. Z. angew. Math. Mech. Bd. 8 (1928) S. 21
- L. M. Swain: On the turbulent wake behind a body of revolution. Proc. Soc. Roy., Lond., Bd. 125, (1929) S. 647
- A. Betz: Über turbulente Reibungschiehten an gekrümmten Wänden. Vorträge aus dem Gebiete der Aero-

- dynamik und verwandter Gebiete. Hrsg. von A. Gilles, L. Hopf und Th. v. Kármán, Aachen 1929 (Berlin; J. Springer, 1930) S. 10
- J. Nikuradse: Widerstandsgesetz und Geschwindigkeitsverteilung von turbulenten Wasserströmungen in glatten und rauhen Rohren. Verh. d. 3. intern. Kongr. f. techn, Mech. Stockholm (1930) S. 239
- H. Schlichting: Über das ebene Windschattenproblem, Göttinger Dissertation, Ing.-Arch. Bd 1 (1930) S. 533
- L. Prandtl: Turbulenz und ihre Entstehung. Tokio-Vortrag 1929. Journal of the Aeronautical research Institut, Tokio Imperial university Nr. 65 (1930)
- A. Betz: Die v. Kármánsche Ähnlichkeitsüberlegung für turbulente Vorgänge in physikalischer Auffassung, Z. angew. Math. Mech., Bd. 11 (1931) S. 397
- L. Schiller und R. Hermann: Widerstand von Platte und Rohr bei hohen Reynoldsschen Zahlen. Ing.-Arch. Bd. 1 (1930) S. 392